

VII. Anhang

VII.1 Materialkundliche Untersuchungen des hellenistischen Hinterfüllmörtels und des römischen Wasserleitungsmörtels

JOHANNES WEBER – KAROL BAYER

VII.1.1 EINLEITUNG

Die Verwendung von Mörteln im Bauwesen geht bis in vorgeschichtliche Zeiten zurück⁸⁷⁹. Von den drei traditionellen Bindemittelgruppen Lehm, Gips und Kalk stellen Lehmmörtel wohl den frühesten Typ dar⁸⁸⁰, aber auch Kalkmörtel scheinen schon im 6. vorchristlichen Jahrtausend in Verwendung gewesen zu sein⁸⁸¹, und der Einsatz von Gipsmörteln ist etwa für das pharaonische Ägypten bekannt⁸⁸².

Die weiteste Verbreitung in geografischer und zeitlicher Hinsicht haben jedoch Kalkmörtel in ihren verschiedenen Ausprägungen. Das Bindemittel Kalk kann für sich in Anspruch nehmen, zu den Produkten mit der längsten, ungebrochen bis in die Gegenwart reichenden Verwendungsgeschichte zu gehören. Dabei dürften die Grenzen des bautechnischen Einsatzes von Kalk jedoch schon früh erkannt worden sein: Zum Aushärten brauchen Kalkmörtel ausreichenden Luftzutritt. Das macht sie für Gussmörtel im Bauwesen nur beschränkt verwendbar und für Unterwasserbauten gänzlich ungeeignet. Den Römern ist es zu verdanken, dass die wasserhärtenden Eigenschaften puzzolanischer Zusätze aus Naturstoffen wie Puzzolane oder Trass bzw. aus künstlichen Substanzen wie Ziegel- oder Keramikmehl⁸⁸³ in großem Ausmaß Anwendung fanden, aber bereits im frühen Hellenismus dürfte man die wasser-

härtende Wirkung von keramischen Zuschlägen genutzt haben⁸⁸⁴. Wenn auch diese und andere Puzzolane in den folgenden Jahrtausenden nie gänzlich in Vergessenheit geraten zu sein scheinen, so bleibt ihr Einsatz im europäischen Bauwesen doch lange Zeit die Ausnahme, und erst das Zeitalter der Industrialisierung bringt mit der Zementtechnologie einen neuen Baustoff mit wahrhaft hydraulischen Eigenschaften hervor.

Hydraulische Kalke, also solche, die aus einem silikathaltigen Kalkgestein erbrannt werden und daher von sich aus mehr oder weniger stark ausgeprägte Wasserhärtung aufweisen, schließen die Lücke zwischen den puzzolanischen Kalken und den Zementen; sie sind für die Antike nicht belegt und finden sich später nur in einzelnen Regionen, in denen entsprechende Rohstoffe vorkommen.

Ungeachtet der grundsätzlichen chemischen Reaktionsabläufe bei der Aushärtung von Kalkmörteln sind die verwendete Kalkqualität und die Konsistenz der Mörtelmischung von großer Bedeutung für den Verlauf der Festigkeitsentwicklung und den Betrag der Endfestigkeit. Nachdem in der Restaurierung über Jahrzehnte die irri-ge Meinung vorherrschend war, reiner Sumpfkalk würde das beste Bindemittel für alle Anwendungszwecke darstellen⁸⁸⁵, wird man sich jetzt zunehmend wieder der Vorzüge unvollständig gelöschter und schlecht dispergierter, unter Umständen auch im Stadium des Löschens »heiß« verarbeiteter Kalke bewusst⁸⁸⁶. Mit den genannten »Unzulänglichkeiten« im Löschprozess sind Änderungen im Eigenschaftsprofil der betreffenden Mörtel verbunden, die sich folgendermaßen zusammenfassen lassen: verminderte Schwundneigung des Mörtels bei gleichem Verhältnis von

⁸⁷⁹ Zusätzlich zur Literatur, die im Verzeichnis angeführt ist, wurden folgende Publikationen verwendet:

H. H. G. EDWARDS, Some masonry mortar from Hellenistic and Roman period Greece, in: *Proceedings of the 98th Annual meeting of the Geological Society of America* 17 (1985), 572 f.

J. EISEN, Characterisation of binder related particles (lime lumps) in historic lime mortars, in: *Proceedings of the 8th International Congress on Applied Mineralogy (ICAM 2004)*, Sao Paulo, 19.–22. September 2004 (Sao Paulo 2004) 347–349.

J. J. HUGHES – A. LESLIE – K. CALLEBAUT, The petrography of lime inclusions in historic lime based mortars, in: *Proceedings of the 8th Euroseminar on Microscopy Applied to Building Materials (Athens 2001)* 359–364.

K. KRAUS – S. WISSER – D. KNÖFEL, Über das Löschen von Kalk vor der Mitte des 18. Jahrhunderts – Literaturauswertung und Laborversuche, *Arbeitsblätter für Restauratoren* 1 (1989) 206–221.

R. MALINOWSKI, Ancient mortars and concretes. Durability aspects, in: *Mortars, cements and grouts used in the conservation of historic buildings. Symposium Rome* 3.–6. November 1981 (Rome 1982) 341–350.

⁸⁸⁰ Etwa die Lehmmörtel von Catal Hüyük (Türkei), datiert auf 6000 v. Chr. Siehe V. FURLAN – P. BISSEGER, *Les mortiers anciens, histoire et essais d'analyse scientifique*, *Revue suisse d'Art et d'Archéologie* 32, 1975, 2–14.

⁸⁸¹ Grabungen in Livinski Vir (Serbien – Montenegro) brachten Bodenestriche aus Kalkmörtel zutage, die auf 5 600 v. Chr. datiert werden; L. G. MALLINSON – I. L. DAVIES, *A historical examination of concrete*, Final Report CD-NA-10937-EN-C, Publication by the Office for Official Publications of the European Communities (Luxembourg 1987).

⁸⁸² G. MARTINET – F. X. DELOYE – J. C. GOLVIN, Caractérisation des mortiers pharaoniques du temple d'Amon à Karnak, *Bulletin de Liaison des Laboratoires des Ponts et Chaussées* 181, 1992, 39–45.

⁸⁸³ Vitruv schreibt ausführlich über die Puzzolane (Vitr. 2, 6) und über die Zugabe gestoßener Tonscherben (Vitr. 7, 1, 4).

⁸⁸⁴ J. EISEN, *Microscopy of historic mortars – A review*, *Cement and Concrete Research* 36, 8, 2008, 1416–1424.

⁸⁸⁵ Diese Ansicht leitet sich vermutlich aus dem Qualitätsanspruch des Freskountergrunds her, wo tatsächlich dem feinteiligen, vollständig abgelöschten und rein weißen Kalk eine wichtige Rolle zukommt, wie auch Vitruv weiß (Vitr. 7, 2).

⁸⁸⁶ In der Mehrzahl historischer Mauermörtel und Außenputze finden sich im Mörtelgefüge sogenannte Kalkspatzen, das sind weiße Knollen von undispergiertem Kalk. Die Frage nach ihrer Herkunft ist nicht immer eindeutig zu beantworten, auf jeden Fall sprechen sie aber gegen eine Verwendung von Sumpfkalk.

Bindemittel zu Zuschlag, verbesserte Regulierung des Feuchte-regimes, Verlängerung des Karbonatisierungs- und Erhärtungsprozesses, höhere Endfestigkeiten.

VII.1.2 UNTERSUCHTE MÖRTELTYPEN

Die vorliegende Studie befasst sich mit zwei gänzlich unterschiedlichen Mörteltypen aus dem Grabungsbereich von Belevi, die aus verschiedenen Epochen stammen und sich auch bezüglich ihrer bautechnischen Funktion unterscheiden. Zum einen handelt es sich um Hinterfüllmörtel aus der hellenistischen Marmorverblendung um den Felskern des Untergeschosses des Mausoleums, zum anderen um Mörtel der am Monument vorbei geführten römischen Wasserleitung. Was beide Mörtelgruppen bei allen Unterschieden gemeinsam betrifft, sind die besonderen Anforderungen in Hinblick auf Aushärtungsbedingungen bzw. Wasserbeständigkeit.

Für die hellenistischen Hinterfüllmörtel lässt sich feststellen, dass sie zunächst in fließfähiger Konsistenz eingebracht worden sein mussten, um dann in zum Teil großer Schichtstärke unter ungünstigen Trocknungsverhältnissen und reduziertem Zutritt von Luft und CO₂ auszuhärten. Für eine derartige Mörtelgusstechnik waren die römischen Baumeister mit ihren puzzolanischen Kalken, die heute oft auch als »römische Zemente« bezeichnet werden, sehr wohl ausgerüstet. Für das gegenständliche Objekt war die Frage zu beantworten, inwieweit diese Baustofftechnologie auch schon dem hellenistischen Baubetrieb zur Verfügung stand und welche alternativen Mörtelmischungen zum Einsatz gekommen waren.

Für die römischen Wasserleitungsmörtel, denen eine dauerhaft abdichtende Wirkung zugemutet wurde, ist die übliche römische Technik der Zumischung von Ziegelmehl und -splitt zum Bindemittel schon mit bloßem Auge gut erkennbar. Auch hier sollten materialwissenschaftliche Untersuchungen eine vertiefte Kenntnis der Mörtelrezeptur ermöglichen.

In beiden der genannten Probengruppen war ein hoher Grad an sekundärer Veränderung der Mörtel zu verzeichnen, wie er bei archäologischem Material unvermeidlicherweise die Regel darstellt. Dies betrifft vor allem eine Gefügeverdichtung und Versinterung mit Kalk aus zirkulierenden Bodenwässern. Die Auswirkungen solcher Vorgänge, die bekanntlich Festigkeit und Lebensdauer eines Mörtels drastisch steigern können, sind am besten durch die gewählten mikroskopischen Methoden erkennbar. Sie lassen den Erfolg der meisten chemischen Analyseverfahren zur Mörtelcharakterisierung zweifelhaft erscheinen.

VII.1.3 UNTERSUCHUNGSMETHODEN

VII.1.3.1 Mikroskopische mikroanalytische Verfahren

Von einem Teil der Proben wurden petrografische Dünnschliffe hergestellt. Zu diesem Zweck wurde zunächst das Probenmaterial unter Vakuum in mit blauem Farbstoff versetztem Epoxidharz getränkt, um dann im Schliff den Porenraum besser erkennen zu können. Die Untersuchung selbst erfolgte mittels Polarisationsmikroskopie im Auf- und Durchlicht. Des Weiteren wurden von Bruchstücken aller untersuchten Proben polierte Anschliffe produziert; auch hierfür erfolgte zunächst eine Vakuumtränkung mit

Epoxidharz, das in diesem Fall jedoch farblos belassen wurde. Die Anschliffe wurden erst im Lichtmikroskop und in der Folge im Rasterelektronenmikroskop (REM) untersucht. Mit einem angeschlossenen, energiedispersiven Röntgenanalysegerät (EDX) wurden Punktanalysen durchgeführt.

VII.1.3.2 Chemische Verfahren

Eine eingeschränkte chemische Analyse des Bindemittels wurde an einer Probe des Gussmörtels vorgenommen⁸⁸⁷. Zur Verringerung des Analysefehlers wurden zwei bis sechs Parallelanalysen durchgeführt: Nach einem Aufschluss in verdünnter Salzsäure wurden die löslichen Anteile von CaO und MgO mittels Titrationsanalyse und diejenigen von SiO₂ und den Sesquioxiden (Fe₂O₃, Al₂O₃, MnO₂ und TiO₂) gravimetrisch bestimmt. Der Karbonatgehalt wurde volumetrisch nach Zersetzung durch konzentrierte Salzsäure festgestellt und daraus der Anteil an Calcium- und Magnesiumkarbonat im Verhältnis zu Calcium in hydraulischen Phasen berechnet. Für die unlöslichen Probenanteile wurde mittels eines Normsiebgesetzes die Korngrößenverteilung bestimmt. Weiters wurden die Mörtel mit mikrochemischen Nachweisverfahren auf die Anwesenheit natürlicher organischer Bindemittelbestandteile untersucht.

VII.1.3.3 ERGEBNISSE

VII.1.3.3.1 Hinterfüllmörtel

Es handelt sich um Kalkmörtel mit silikatischem Zuschlag aus kantigem Grubensand. Eine Siebkurve ist in Abb. 98 wiedergegeben. Die Inhomogenität der Mörtel, die beim Verguss Gesteinsfragmente unterschiedlichster Größe eingebunden haben, lässt jedoch eine granulometrische Kornanalyse als wenig repräsentativ erscheinen. Das Hauptaugenmerk ist deshalb dem Bindemittel zu widmen, das zudem die Schlüsselinformation zum Eigenschaftsprofil der Mörtel liefert.

Der Kalk zur Mörtelbereitung wurde aus einem vermutlich schwach dolomitischen Marmor mit silikatischen Anteilen er-

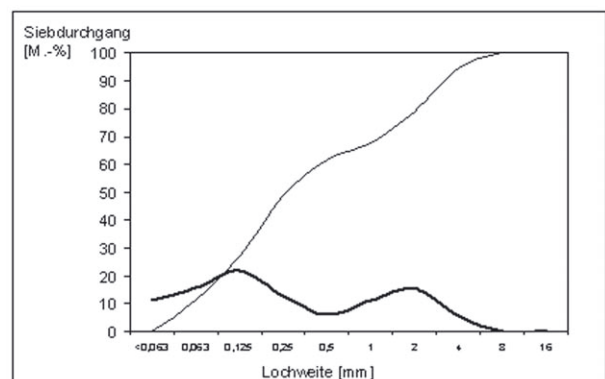


Abb. 98: Sieblinie des Zuschlags im Hinterfüllmörtel, dargestellt als Kornsummen- und Kornverteilungskurve: Mittelwerte von sechs Einzelbestimmungen

⁸⁸⁷ Alle chemischen und granulometrischen Untersuchungen erfolgten in Anlehnung an einschlägige Arbeitsvorschriften, zusammengestellt in D. KNÖFEL – P. SCHUBERT

(Hrsg.), Mörtel und Steingängungsstoffe in der Denkmalpflege, Sonderheft BMFT-Verbundforschung zur Denkmalpflege (Berlin 1993).

VII. ANHANG

brannt. Zum Löschen wurde der Kalk nicht eingesumpft, sondern vielmehr einem sogenannten trockenen Lösungsverfahren unterzogen, in dem ein restriktives Wasserangebot das vollständige Ablöschen sowie ein Dispergieren des Kalks zu einem feinen Brei verhindert. Üblicherweise wurden solche Lösbedingungen durch Mischen des Brandkalks mit Sand und nachfolgendes mehrmali-

ges Übergießen mit Wasser erzielt; man spricht hier auch von »Direktlöschen«.

Die geschilderten Befunde gehen aus einer Reihe von Beobachtungen hervor – Übersichtsbilder sind in Abb. 99 abgebildet:

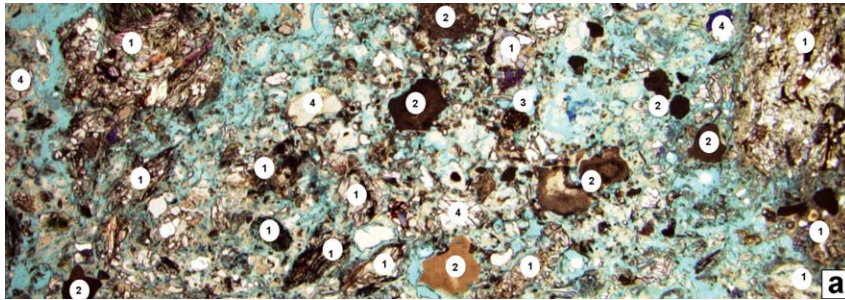


Abb. 99 a: Hinterfüllmörtel im Dünnschliff (Durchlicht-Polarisationsmikroskopie, parallele Polarisatoren)
 1: Reliktische Gesteinsfragmente (Chloritschiefer, Marmor, etc.) aus dem Kalkbrand
 2: Knollige, nachcarbonatisierte Brandrelikte und Kalkspatzen
 3: »Dolomitische« Brandrelikte (Mg-karbonat oder -hydroxid)
 4: Vermutlich nicht mitgebrannte Zuschläge (Marmor und silikatische Gesteinsfragmente)

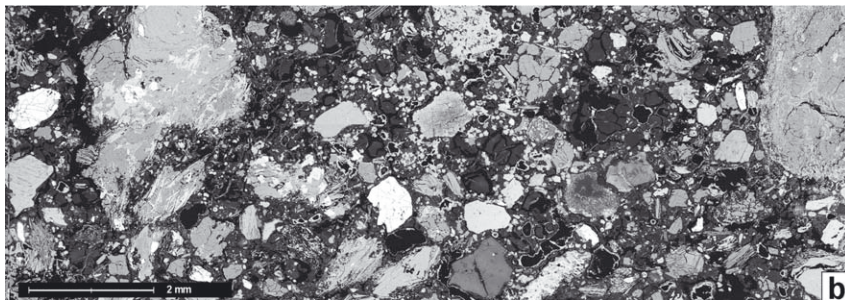


Abb. 99 b: REM-Bild des Probenausschnitts von Abb. 81 a

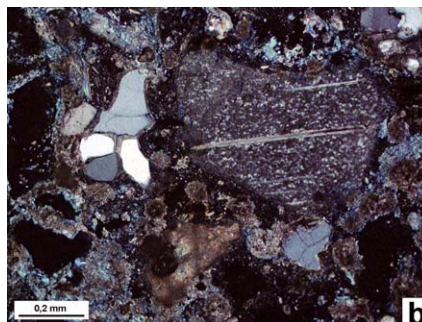
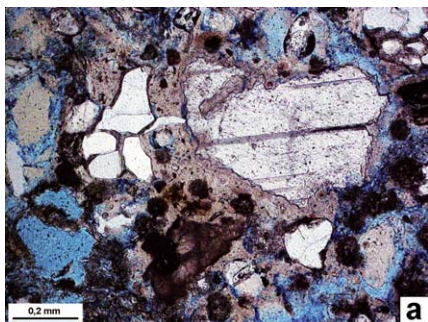


Abb. 100 a–b: Relikt eines Marmorcalcits im Dünnschliff; parallele bzw. gekreuzte Polarisatoren

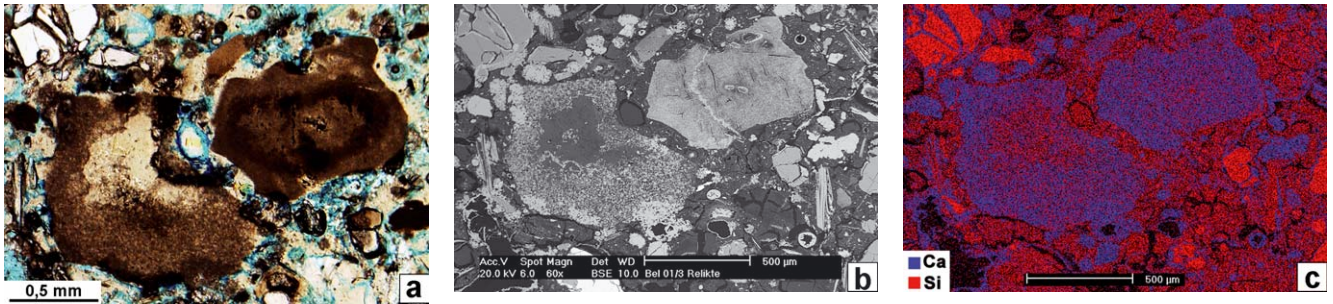


Abb. 101 a–c: Brandrelikt aus einem Quarz (links) und Calcit (rechts); die gut erkennbare Diffusion von Calcium in das Silikat Korn (83 c) kann zu potentiell hydraulischen Verbindungen führen

101 a: Dünnschliff im Polarisationsmikroskop, parallele Polarisatoren

101 b: REM-Bild desselben Ausschnitts

101 c: elementspezifisches Verteilungsbild für Ca und Si desselben Ausschnitts

Häufig finden sich unvollständig gebrannte Calcitrelikte aus dem Rohstoff. Diese liegen zu einem Teil noch als weitgehend intakte Calcitkristalle mit gebrannten Randpartien vor (Abb. 100), zum anderen Teil sind sie zwar vollständig aufgeschlossen worden, haben aber die Form des ursprünglichen Calcits beibehalten – man spricht dann von Formrelikten. Die Brandrelikte lassen eindeutig erkennen, dass der Kalkbrand mit Marmor bestückt worden ist und zum nachfolgenden Löschen nicht eingesumpft wurde. Die technischen Eigenschaften des Mörtels können durch solche Brandrelikte verbessert werden, da sie als schwundmindernde Zuschläge mit idealer Einbindung in das umgebende Bindemittel gelten können.

Andere Relikte aus dem Kalkbrand weisen einen silikatischen Kern auf und stammen somit aus Quarzen im Marmor, in die im Zuge des Brennprozesses Calciumionen diffundiert sind (Abb. 101). Solche Phasen können in Zonen geeigneter chemischer Zusammensetzung auch hydraulisch reagieren, was durch geeignete Zusatzanalysen zu beweisen war.

Undispersierte Bindemittelknollen, sogenannte Kalkspatzen, sind ebenfalls häufig. Gemeinsam mit den oben beschriebenen Brandrelikten liefern sie eindeutige Hinweise auf einen »trockenen« Löschvorgang des Kalks. Kalkspatzen stellen Komponenten dar, die zum Zeitpunkt der Verarbeitung häufig noch unvollständig abgelöscht sind und im Zuge der Härtung des Mörtels nachlöschen.

Partikel aus Magnesiumverbindungen weisen auf dolomitische Anteile im Marmor hin; eine genauere Charakterisierung der Verbindung mit EDX ist aus technischen Gründen nicht möglich, jedoch dürfte es sich um Magnesiumhydroxid oder um basische bzw. hydratwasserhaltige Magnesiumkarbonate handeln. Die Ausbildung von relativ festem und beständigem Magnesiumhydroxid, $Mg(OH)_2$, mit sehr tragem Karbonatisierungsverlauf bewirkt eine Form von hydraulischer Festigkeitsentwicklung⁸⁸⁸.

Aufgrund der reliktschen Verbindungen kann das Bindemittel der in Belevi verwendeten Hinterfüllmörtel somit als mehr oder weniger hydraulischer Kalk angesprochen werden. Diese Klassifizierung, die an sich eine gute Eignung in Hinblick auf das spezifische Eigenschaftsprofil einer Hinterfüllmasse nahelegen würde, war

jedoch auf die tatsächlich wirksame Hydraulizität zu überprüfen. Inwieweit ein silikatisches Kalkbindemittel tatsächlich wasserhärtend ist, hängt nämlich nicht nur von seiner chemisch-mineralogischen Zusammensetzung, sondern auch von der Reaktivität der Komponenten ab. Zur Klärung dieser Frage dienten die chemischen Bindemittelanalysen. Die untersuchte Mörtelprobe hat einen sehr hohen säurelöslichen Anteil von etwa 43 M.-%, der zum überwiegenden Teil aus Calcium- und etwas Magnesiumkarbonat besteht und weniger als 10 % hydraulische Anteile enthält. Nach heutiger Nomenklatur handelt es sich somit um einen Luftkalkmörtel. Wohl relativiert der hohe Grad an sekundärer Kalkversinterung, der die Analysewerte in Richtung zu höheren Kalkgehalten verschiebt diese Aussage, dennoch kann man davon ausgehen, dass allenfalls ein schwach hydraulischer Kalk vorliegt.

Die beschriebenen mikroskopischen Befunde lassen nichtsdestotrotz auf ein Mörtelbindemittel schließen, das sich im Zusammenwirken mehrerer Faktoren durch ein gutes Wasserrückhaltevermögen mit verzögerter Festigkeitsentwicklung auszeichnet und damit für das Einsatzgebiet besonders geeignet war.

Die mikrochemische Untersuchung in Hinblick auf organische Bindemittelbestandteile ergänzt diese Diagnose um einen wesentlichen Punkt: die Nachweisreaktionen auf sulfidisch gebundenen Schwefel, auf Stickstoff und auf Pyrrollderivate lieferten allesamt positive Ergebnisse, womit eindeutig die Anwesenheit von Proteinen bewiesen ist. Damit kann es als sicher gelten, dass dem Frischmörtel Milch- oder Eibestandteile zugesetzt wurden, wobei eine Kaseinzugabe am wahrscheinlichsten ist. Bekanntlich verbessert ein solcher Zusatz unter anderem die Plastizität und Fließfähigkeit und erhöht zudem das Wasserrückhaltevermögen.

Die mehrfach angesprochene sekundäre Gefügeversinterung des Mörtels durch Kalk, der sich über die Jahrhunderte im Porenraum ausgeschieden hat, bewirkte eine zusätzliche Verhärtung und Verfestigung. Inwieweit dies auf Kosten von Lösungsvorgängen in Zonen, die heute entfestigt bzw. bereits verloren sind, stattgefunden hat, kann aus dem Laborbefund nicht beurteilt werden. Abb. 102 a–b illustriert die Verkittung durch sekundären Kalk, die oft auch als Ausheilung bezeichnet wird.

⁸⁸⁸ Im Sinne des modernen Verständnisses des Begriffs »hydraulisch« ist diese Feststellung unrichtig. Dennoch ist sie zutreffend, wenn man damit die Bildung einer Komponente mit Bindekraft infolge von Wassereinwirkung anspricht.

VII. ANHANG

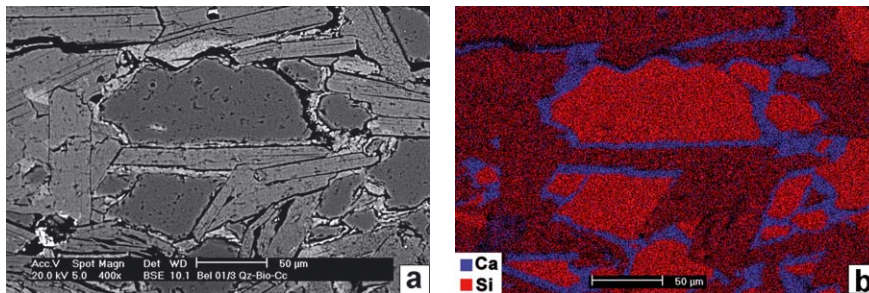


Abb. 102 a–b: Versinterung von Rissen in silikatischen Zuschlägen (Quarz und Glimmer) durch sekundäre Kalkausscheidung

102 a: REM-Bild Dünnschliff

102 b: elementspezifisches Verteilungsbild für Ca und Si desselben Ausschnitts

VII.1.3.3.2 Wasserleitungsmörtel

Bei diesem Mörteltyp handelt es sich ebenfalls um einen Kalkmörtel. Mangels signifikanter Brandrelikte kann hier allerdings keine Aussage zum verwendeten Rohstoff – Marmor oder Kalkstein – getroffen werden. In Hinblick auf den Löschvorgang weisen vereinzelte große Kalkspatzen auch hier auf einen »trockenen« Löschprozess hin.

Als Zuschlag wurden dem Mörtel Marmorsplitt und Ziegelfragmente zugemischt (Abb. 103 a–c). Der Anteil an feinem Ziegelmehl, das für die chemische Reaktivität zur Entwicklung nennenswerter hydraulischer Eigenschaften notwendig wäre, ist im Ver-

hältnis zum Großkorn relativ gering. Die nötige Dichtigkeit und Wasserbeständigkeit dürfte auf dem Zusammenwirken dieser Hydraulizität mit der Porosität des groben Ziegelanteils beruht haben; letzterer konnte im Frischmörtel als Wasserspeicher fungieren und durch Kalkausscheidungen im Stadium des Karbonatisierens eine ausgezeichnete Bindung zum umgebenden Kalk erlangen.

Die untersuchten Mörtelproben waren offensichtlich aufgrund der Bodenlagerung stark ausgelaugt und verwittert, was durch ihre erhöhte sekundäre Porosität zum Ausdruck kommt. Aus diesem Grund war eine weiterführende Mörtelanalyse nicht sinnvoll.

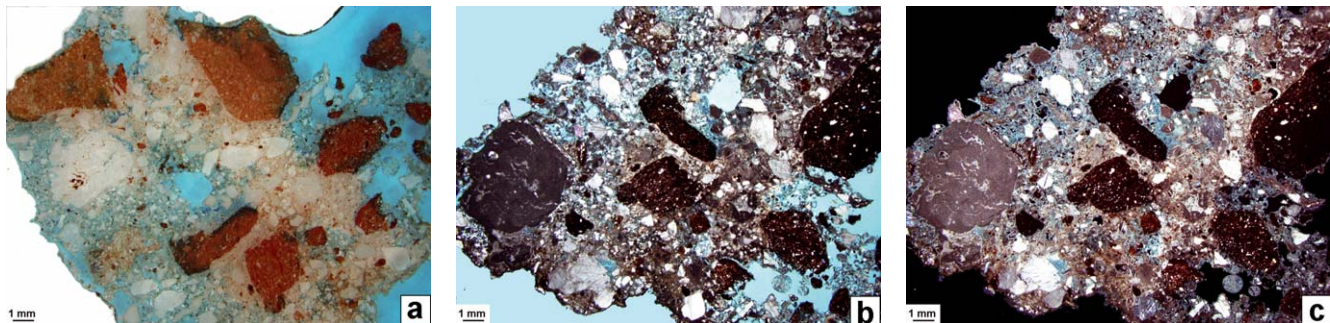


Abb. 103 a–c: Übersichtsbilder zum römischen Wasserleitungsmörtel. Zuschlag aus groben Ziegelfragmenten und Marmorsplitt; rötlicher Farbton des Bindemittels durch Ziegelmehl. In 103 b und 103 c ist ein großer Kalkspatz erkennbar (links)

103 a: Dünnschliff im Polarisationsmikroskop, Auflicht

103 b: Dünnschliff im Polarisationsmikroskop, Durchlicht, parallele Polarisatoren

103 c: Dünnschliff im Polarisationsmikroskop, Durchlicht, gekreuzte Polarisatoren

VII. ANHANG

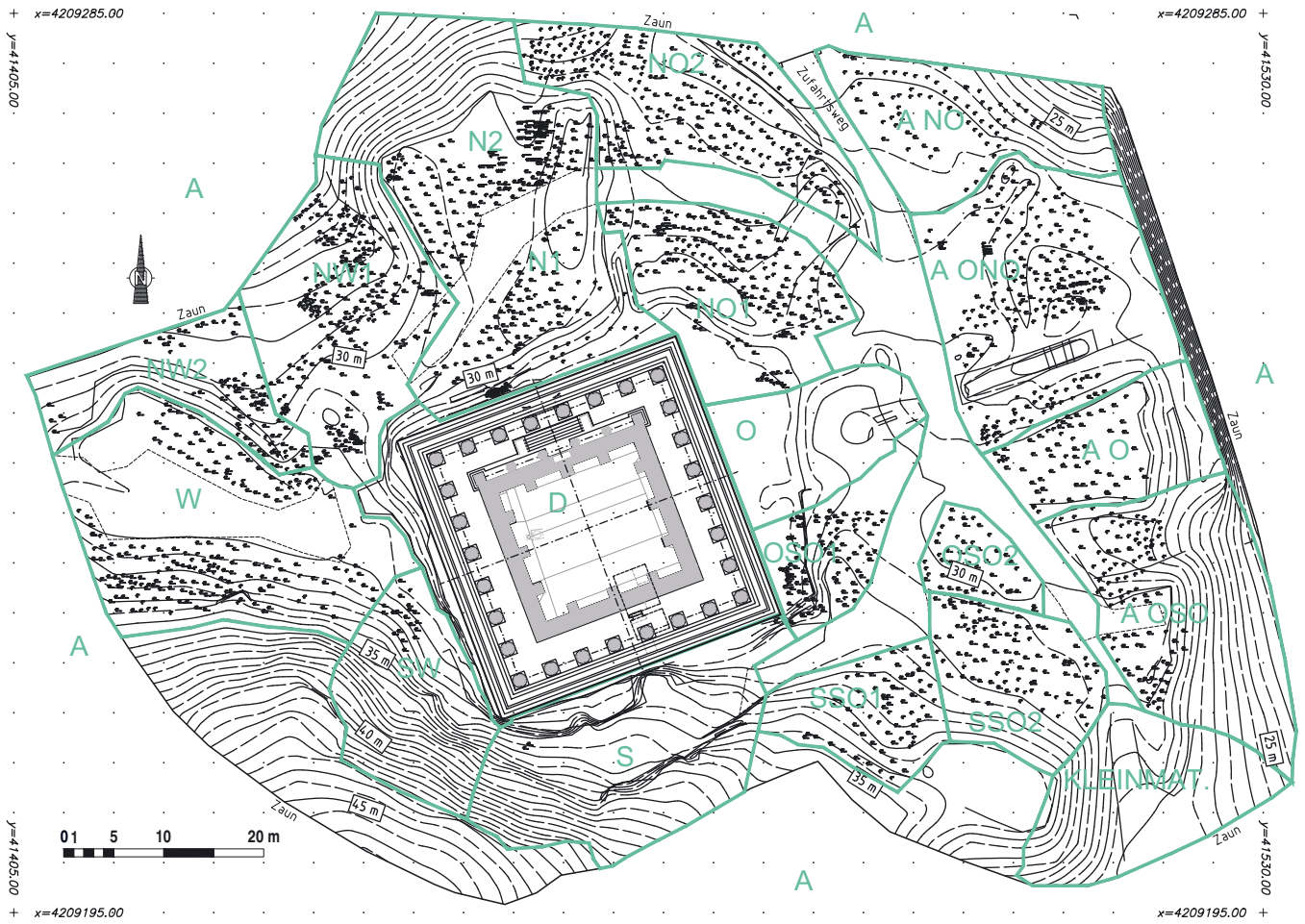


Abb. 104: Lageplan mit Steinauslegeterrassen, M = 1 : 500.

VII.2 Tabellen im Anhang

- Tab. 1: Kurvatur und Höhen der Krepis
- Tab. 2: Sockelwandblöcke
- Tab. 3: Das dorische Gebälk und die Regula-Ritzlinien auf Schicht 16
- Tab. 4: Schichthöhen
- Tab. 5: Die Keilsteine des Grabkammergewölbes
- Tab. 6: Die Stufensteine der Peristasis
- Tab. 7: Die Stylobatblöcke der Peristasis
- Tab. 8: Die Trommeln der Peristasissäulen
- Tab. 9: Die Architrave der Peristasis
- Tab. 10: Die Gesimsblöcke der Peristasis
- Tab. 11: Die obere Blockschicht der Kassettenrahmungen K3
- Tab. 12: Die Dachplatten über der Peristasis
- Tab. 13: Modulmaße
- Tab. 14: Metrologische Tabelle der Grundrisshauptmaße
- Tab. 15: Metrologische Tabelle der Bauteilmaße
- Tab. 16: Metrologische Tabelle der Grabkammermaße
- Tab. 17: Fußmaße

VII. ANHANG

Tab. 1: Krümmung und Höhen der Krepis

Schicht	Pkt.nr.	Lage	h Pkt.nr.	Diff.OK	h	Anmerkungen
0 Abgeglicherer Fels						
	6602	SO-Eck	28,275	0,000	28,275	.=Pkt.nr.129
	6603	NO-Eck	28,278	0,000	28,278	.=Pkt.nr.128
	6604	NW-Eck	28,273	0,000	28,273	.=Pkt.nr.1632
abgeglicherer Fels			Eckpunkte		28,275	
1 Euthynerie-OK						
Ostseite						
	4287	O, sl. b.SO	28,548		28,548	Stoßfugenpkt.
	4288	O, sl. b.SO	28,550		28,550	Stoßfugenpkt.
	4289	O, sl. b.SO	28,552		28,552	Stoßfugenpkt.
	4290	O, sl. b.SO	28,555		28,555	Stoßfugenpkt.
	4291	O, sl. b.SO	28,557		28,557	Stoßfugenpkt.
	3538	O, sl. b.SO	28,557		28,557	---
	4292	O, sl. b.SO	28,558		28,558	Stoßfugenpkt.
	3537	O, sl. b.SO	29,558		29,558	---
	4293	O, Mitte S	28,560		28,560	Stoßfugenpkt.
	3536	O, Mitte S	28,562		28,562	---
	3535	O, Mitte S	28,562		28,562	---
	3534	O, Mitte S	28,565		28,565	---Nähe Stoßfuge
	4294	O, Mitte N	28,563		28,563	Stoßfugenpkt.
	4295	O, Mitte N	28,560		28,560	Stoßfugenpkt.
	4296	O, Mitte N	28,558		28,558	Stoßfugenpkt.
	4297	O, Mitte N	28,558		28,558	Stoßfugenpkt.
	4298	O, Mitte N	28,558		28,558	Stoßfugenpkt.
	4299	O, Mitte N	28,554		28,554	Stoßfugenpkt.
	4300	O, Nl.b.NO	28,552		28,552	Stoßfugenpkt.
	1134	O, Nl.b.NO	28,547		28,547	Stoßfugenpkt.
Krümmung ca.			18	mm Überhöhung	28,607	Mittelwert Höhe
Nordseite						
	1087	N,ol.b.NO	28,540		28,540	Stoßfugenpkt.
	4046	N,ol.b.NO	28,543		28,543	Stoßfugenpkt.
	4047	N, Mitte O	28,548		28,548	Stoßfugenpkt.
	4048	N, Mitte O	28,551		28,551	Stoßfugenpkt.
	4049	N, Mitte O	28,553		28,553	Stoßfugenpkt.
	4050	N, Mitte O	28,552		28,552	Stoßfugenpkt.
	4051	N, Mitte W	28,555		28,555	Stoßfugenpkt.
	4053	N, Mitte W	28,550		28,550	Stoßfugenpkt.
	4054	N, Mitte W	28,547		28,547	Stoßfugenpkt.
	4055	N, Mitte W	28,545		28,545	Stoßfugenpkt.
	4056	N, Mitte W	28,544		28,544	Stoßfugenpkt.
	4057	N, wl.b.NW	28,539		28,539	Stoßfugenpkt.
Krümmung ca.			16	mm Überhöhung	28,547	Mittelwert Höhe
Westseite						
	5177	W,nl.b.NW	28,537		28,537	Stoßfugenpkt.
	5203	W, Mitte N	29,719	-1,172	28,547	--
	5286	W, Mitte S	30,276	-1,726	28,550	--
	5285	W, Mitte S	30,272	-1,720	28,552	--
	5270	W, Mitte S	29,719	-1,175	28,544	--
	3904	W, Mitte S	29,346	-0,796	28,550	Stoßfugenpkt.
	3902	W, Mitte S	29,718	-1,169	28,549	--
	3922	W,sl.b.SW	29,731	-1,186	28,545	--
	BE21	W,sl.b.SW	29,717	-1,175	28,542	--
	1633	nl.SW-Ecke	28,538		28,538	neben Eckpkt.
	1635	SW-Ecke	28,537		28,537	.=6601 Eckpkt-RL
Krümmung ca.			15	mm Überhöhung	28,545	Mittelwert Höhe

VII. ANHANG

Schicht	Pkt.nr.	Lage	h	Pkt.nr.	Diff.OK	h	Anmerkungen
Südseite							
	1635	SW-Ecke	28,537			28,537	. =6601 Eckpkt-RL
	1634	ö.l.SW-Ecke	28,541			28,541	RL neb.Eckpkt.
	BE24	ö.l.SW-Ecke	28,948		-0,405	28,543	
	3824	S, b.SW	28,962		-0,413	28,549	
	3823	S, b.SW	28,952		-0,405	28,547	
	3822	S, Mitte W	28,963		-0,415	28,548	
	3821	S, Mitte W	28,969		-0,417	28,552	
	3820	S, Mitte W	28,968		-0,417	28,551	
	3819	S, Mitte W	28,975		-0,417	28,558	
	3818	S, Mitte W	28,978		-0,417	28,561	
	3817	S, Mitte W	28,987		-0,419	28,568	
	3816	S, b.Mitte W	28,989		-0,420	28,569	
	3433	S, b.Mitte O	29,359		-0,795	28,564	
	3804	S, Mitte O	28,958		-0,388	28,570	vor Grabk.
	3802	S, Mitte O	29,345		-0,779	28,566	
	Kurvatur ca.		33		mm Überhöhung	28,555	Mittelwert Höhe
Euthynterie gesamt						28,569	Mittelwert Höhe
2 OK 1. Stufe							
Ostseite							
	109	O, sl. b.SO	28,940			28,940	Stoßfugenpkt.
	111	O, sl. b.SO	28,942			28,942	Stoßfugenpkt.
	112	O, Mitte S	28,942			28,942	Stoßfugenpkt.
	113	O, Mitte S	28,946			28,946	Stoßfugenpkt.
	114	O, Mitte S	28,946			28,946	Stoßfugenpkt.
	115	O, Mitte S	28,949			28,949	VK Stufe
	116	O, Mitte S	28,947			28,947	Stoßfugenpkt.
	117	O, Mitte S	28,949			28,949	Stoßfugenpkt.
	118	O, Mitte S	28,953			28,953	Stoßfugenpkt.
	119	O, Mitte	28,956			28,956	Stoßfugenpkt.
	120	O, Mitte N	28,955			28,955	Stoßfugenpkt.
	121	O, Mitte N	28,952			28,952	Stoßfugenpkt.
	122	O, Mitte N	28,948			28,948	Stoßfugenpkt.
	123	O, Mitte N	28,948			28,948	Stoßfugenpkt.
	124	O, Mitte N	28,946			28,946	Stoßfugenpkt.
	125	O, Mitte N	28,940			28,940	Stoßfugenpkt.
	126	O, nl.b.NO	28,937			28,937	Nähe Stoßfuge
	127	O, nl.b.NO	28,938			28,938	VK Stufe Stoßf.
	Kurvatur ca.		19		mm Überhöhung	28,946	Mittelwert Höhe
Nordseite							
	4072	N, b.NO	28,931			28,931	Stoßf. hinten
	4071	N, b.NO	28,942			28,942	Stoßfugenpkt.
	4070	N, Mitte O	28,943			28,943	Stoßfugenpkt.
	4069	N, Mitte O	28,946			28,946	Stoßfugenpkt.
	4068	N, Mitte O	28,948			28,948	Stoßfugenpkt.
	4067	N, Mitte O	28,949			28,949	Stoßfugenpkt.
	4066	N, Mitte	28,950			28,950	Stoßfugenpkt.
	4065	N, Mitte W	28,949			28,949	Stoßfugenpkt.
	4064	N, Mitte W	28,945			28,945	Stoßfugenpkt.
	4063	N, Mitte W	28,944			28,944	Stoßfugenpkt.
	4062	N, Mitte W	28,939			28,939	Stoßfugenpkt.
	4061	N, Mitte W	28,938			28,938	Stoßfugenpkt.
	4060	N, Mitte W	28,936			28,936	RLpktSteinmitte
	5174	N, b.NW			28,926		Felsstufe hinten
	Kurvatur ca.		14-19		mm Überhöhung	28,943	Mittelwert Höhe

VII. ANHANG

Schicht	Pkt.nr.	Lage	h	Pkt.nr.	Diff.OK	h	Anmerkungen
Westseite							
	32	W, b.NW	28,926		0,000	28,926	StufenVK, Stoßf.nähe
	BE20	W, b.NW	28,927			28,927	StufenVK, Stoßf.nähe
	5175	W, b.NW	28,928			28,928	Stoßfugenpkt.
	5179	W, b.NW	28,935			28,935	--
	5180	W, Mitte N	28,938			28,938	RLpktSteinmitte
	5203	W, Mitte N	29,719		-0,775	28,944	--
	5286	W, Mitte S	30,276		-1,331	28,945	--
	5285	W, Mitte S	30,272		-1,325	28,947	--
	5270	W, Mitte S	29,719		-0,773	28,946	Stoßfugenpkt.
	3904	W, Mitte S	29,346		-0,400	28,946	--
	3902	W, Mitte S	29,718		-0,772	28,946	--
	3922	W,sl.b.SW	29,731		-0,789	28,942	--
	BE21	W,sl.b.SW	29,717		-0,775	28,942	--
Kurvatur ca.			20	mm Überhöhung		28,939	Mittelwert Höhe
Südseite							
	BE24	öl.SW-Ecke	28,948				
	3824	S, b.SW	28,962		-0,020	28,942	Stoßfugenpkt.
	3823	S, b.SW	28,952		-0,003	28,949	Stoßfugenpkt.
	3822	S, Mitte W	28,963		-0,014	28,949	Stoßfugenpkt.
	3821	S, Mitte W	28,969		-0,016	28,953	Stoßfugenpkt.
	3820	S, Mitte W	28,968		-0,015	28,953	Stoßfugenpkt.
	3819	S, Mitte W	28,975		-0,018	28,957	Stoßfugenpkt.
	3818	S, Mitte W	28,978		-0,018	28,960	Stoßfugenpkt.
	3817	S, Mitte W	28,987		-0,028	28,959	Stoßfugenpkt.
	3816	S, b.Mitte W	28,989		-0,027	28,962	Stoßfugenpkt.
	3433	S, b.Mitte O	29,359		-0,402	28,957	Stoßfugenpkt.
	3804	S, Mitte O	28,958		0,004	28,962	Stoßfugenpkt.vor Grabk.
	7534	S, Mitte O	28,961			28,961	Nähe Stoßf.vor Grabk.
	3793	S, Mitte O	29,732		-0,773	28,959	Stoßfugenpkt.
	3802	S, Mitte O	29,345		-0,387	28,958	--
	3801	S, Mitte O	29,342		-0,387	28,955	--
	3800	S, Mitte O	29,341		-0,388	28,953	--
	3799	S, Mitte O	29,339		-0,387	28,952	--
	3796	S, Mitte O	29,721		-0,771	28,950	Stoßfugenpkt.
	3797	S, Mitte O	29,696		-0,749	28,947	Stoßfugenpkt.
	4603	S, b.SO	28,942			28,942	--
	130	S, b.SO	28,940			28,940	gl.Pkt.
	4275	S, b.SO	28,940				gl.Pkt.
Kurvatur ca.			22	mm Überhöhung		28,953	Mittelwert Höhe
1. Stufe gesamt						28,947	Mittelwert Höhe
3 OK 2. Stufe							
Ostseite							
	18	O, Mitte S	29,347		-0,015	29,332	Block 1,5 zu hoch
	4322	O, Mitte S	29,337			29,337	Stoßfugenpkt.
	4321	O, Mitte S	29,337			29,337	Stoßfugenpkt.
	4318	O, Mitte S	29,341			29,341	Stoßfugenpkt.
	4317	O, Mitte S	29,342			29,342	Stoßfugenpkt.
	4316	O, Mitte S	29,340			29,340	Stoßfugenpkt.neb.Mitte
	4306	O, Mitte N	29,327			29,327	Stoßfuge vorne
	4304	O, Mitte N	29,327			29,327	Stoßfuge vorne
	4305	O, Mitte N	29,329			29,329	Stoßfugenpkt.
	4303	O, b.NO	29,326			29,326	Stoßfuge hinten,direkt b.20
	20	O, b.NO	29,299		0,032	29,331	Stoßfugenpkt.
Kurvatur ca.			15	mm Überhöhung		29,334	Mittelwert Höhe

VII. ANHANG

Schicht	Pkt.nr.	Lage	h	Pkt.nr.	Diff.OK	h	Anmerkungen
Nordseite							
	4085	N, b.NO				29,326	Felsstufe hinten
	4090	N, b.NO				29,320	Felsstufe hinten
	4097	N, Mitte O				29,323	Felsstufe hinten
	4094	N, Mitte O	In situ?			29,341	Stoßfugenpkt.
	4098	N, Mitte O	29,334			29,334	Stoßfugenpkt.
	4100	N, Mitte O	29,334			29,334	Stoßfugenpkt.
	4101	N, Mitte O	29,337			29,337	Stoßfugenpkt.
	4102	N, Mitte O	29,340			29,340	Stoßfugenpkt.neb.Mitte
	7675	N, Mitte	29,344			29,344	Steinmitte
	7674	N, Mitte	29,343			29,343	Steinmitte hinten
	4103	N, Mitte W	29,339			29,339	Stoßfugenpkt.neb.Mitte
	4105	N, Mitte W	29,336			29,336	Stoßfugenpkt.
	4106	N, Mitte W	29,333			29,333	Stoßfugenpkt.
	4107	N, Mitte W	29,329			29,329	Stoßfugenpkt.
	4108	N, Mitte W	29,325			29,325	Stoßfugenpkt.
	4109	N, b.NW	29,316			29,316	Stoßfugenpkt.
	4110	N, b.NW				29,318	Felsstufe hinten
	4111	N, b.NW				29,311	Felsstufe hinten
	4113	N, b.NW				29,313	Felsstufe hinten
	Kurvatur ca.		28		mm Überhöhung	29,334	Mittelwert Höhe
Westseite							
	5187	W, b.NW	29,320			29,320	Stoßfugenpkt.
	5186	W, Mitte N				29,320	Pkt. Hinten
	5185	W, Mitte N	29,324			29,324	Stoßfugenpkt.
	5183	W, Mitte N	29,324			29,324	Stoßfugenpkt.
	5184	W, Mitte N				29,323	Pkt. Hinten
	5182	W, Mitte N	29,327			29,327	Stoßfugenpkt.
	5203	W, Mitte N	29,719	-0,391		29,328	
	5286	W, Mitte S	30,276	-0,946		29,330	Stoßfugenpkt.
	5285	W, Mitte S	30,272	-0,942		29,330	
	5270	W, Mitte S	29,719	-0,392		29,327	
	3904	W, Mitte S	29,346	-0,021		29,325	Stoßfugenpkt.
	3902	W, Mitte S	29,718	-0,394		29,324	
	3922	W,sl.b.SW	29,731	-0,405		29,326	
	BE21	W,sl.b.SW	29,717	-0,394		29,323	
	Kurvatur ca.		10		mm Überhöhung	29,326	Mittelwert Höhe
Südseite							
	3828	S,öl.b.SW	29,322	0,007		29,329	nahe Stoßfugenpkt.
	3829	S,öl.b.SW	29,333	-0,007		29,326	Stoßfugenpkt.
	3830	S, Mitte W	29,343	-0,015		29,328	Stoßfugenpkt.
	3831	S, Mitte W	29,329			29,329	Stoßfuge vorne
	3832	S, Mitte W	29,361	-0,031		29,330	Stoßfugenpkt.
	3833	S, Mitte W	29,334	-0,002		29,332	Stoßfugenpkt.
	3834	S, Mitte W	29,344	-0,009		29,335	Stoßfugenpkt.
	3835	S, Mitte W	29,339			29,339	Stoßfuge vorne
	3836	S, Mitte W	29,362	-0,018		29,344	Stoßfugenpkt.
	3433	S, Mitte	29,359	-0,018		29,341	Stoßfugenpkt.
	BE25	S, Mitte O	29,347			29,347	neb.Mitte
	3459	S, Mitte O				29,332	neb.Mitte hinten
	7532	S, Mitte O	29,343			29,343	vor Grabk.
	3803	S, Mitte O	29,347		TM=-0,005	29,347	Stoßfugenpkt.vor Grabk.
	3802	S, Mitte O	29,345			29,345	Stoßfugenpkt.
	3801	S, Mitte O	29,342			29,342	Stoßfugenpkt.
	3800	S, Mitte O	29,341			29,341	Stoßfugenpkt.
	3799	S, Mitte O	29,339			29,339	Stoßfugenpkt.
	4276	S, b.SO				29,331	hinten
	3796	S, Mitte O	29,721	-0,385		29,336	
	3797	S, Mitte O	29,696	-0,360		29,336	
	Kurvatur ca.		21		mm Überhöhung	29,337	Mittelwert Höhe
2. Stufe gesamt						29,333	Mittelwert Höhe

VII. ANHANG

Schicht	Pkt.nr.	Lage	h	Pkt.nr.	Diff.OK	h	Anmerkungen
4 OK 3. Stufe							
Ostseite							
	4357	O, Mitte S		29,727		29,727	Stoßfugenpkt.
	4358	O, Mitte S		29,728		29,728	neb.Mitte
	4359	O, Mitte S			29,729		neb.Mitte Felsstufe hinten
	4373	O, Mitte N			29,727		Felsstufe hinten
	4370	O, Mitte N			29,728		Felsstufe hinten
	4374	O, Mitte N			29,720		Felsstufe hinten
	4392	O, Mitte N		29,718		29,718	Stoßfugenpkt.
	4390	O, Mitte N		29,717		29,717	Stoßfugenpkt.
	4389	O, Mitte N			Randla- ge BR	29,722	--
	4388	O, b.NO				29,717	Felsstufe hinten
Kurvatur ca.			11	mm Überhöhung		29,723	Mittelwert Höhe
Nordseite							
	4136	N, b.NO				29,688	Felsstufe hinten
	4135	N, b.NO				29,716	Felsstufe hinten
	4134	N, b.NO				29,712	Felsstufe hinten
	4133	N, b.NO				29,716	Felsstufe hinten
	4132	N, Mitte O				29,714	Felsstufe hinten
	4131	N, Mitte O				29,724	Felsstufe hinten
	4130	N, Mitte O				29,718	Felsstufe hinten
	4129	N, Mitte O				29,716	Felsstufe hinten
	26	N, Mitte O	29,715	0,010		29,725	Stoßfugenpkt.
	27	N, Mitte O	29,721	0,000		29,721	
	4127	N, Mitte	29,728			29,728	fast Stoßfugenpkt.
	4126	N, Mitte W	29,726			29,726	fast Stoßfugenpkt.
	4123	N, Mitte W				29,717	Felsstufe hinten
	4122	N, Mitte W				29,719	Felsstufe hinten
	28	N, Mitte W	29,715	0,010		29,725	
	4121	N, Mitte W	29,718			29,718	Stoßfugenpkt.
	4120	N, Mitte W	29,715			29,715	Stoßfugenpkt.
	29	N, Mitte W	29,714	0,000		29,714	direkt neben 4120
	4119	N, Mitte W	29,712			29,712	Stoßfugenpkt.
	30	N, Mitte W	29,701	0,013		29,714	Stoßfugenpkt.
	4118	N, Mitte W				29,707	Felsstufe hinten
	4117	N, b.NW				29,703	Felsstufe hinten
Kurvatur ca.			16	mm Überhöhung		29,720	Mittelwert Höhe
Westseite							
	5195	W, b.NW				29,702	Felsstufe hinten
	5196	W, b.NW				29,702	Felsstufe hinten
	5197	W, Mitte N				29,705	Felsstufe hinten
	5198	W, Mitte N				29,709	Felsstufe hinten
	5199	W, Mitte N				29,715	Felsstufe weiter hinten
	5201	W, Mitte N		BR		29,708	Stoßfugenpkt.
	5202	W, Mitte N	29,716			29,716	--
	5203	W, Mitte N	29,719			29,719	Stoßfugenpkt.
	5286	W, Mitte S	30,276	-0,553		29,723	
	5285	W, Mitte S	30,272	-0,551		29,721	
	5270	W, Mitte S	29,719	0,001		29,720	Stoßfugenpkt.
	5271	W, Mitte S		BR	29,714		Stoßfugenpkt.
	3902	W, Mitte S	29,718			29,718	Stoßfugenpkt.
	2231	W, Mitte S	29,719			29,719	Sichtfl.hinten
Kurvatur ca.			7	mm Überhöhung		29,719	Mittelwert Höhe

VII. ANHANG

Schicht	Pkt.nr.	Lage	h	Pkt.nr.	Diff.OK	h	Anmerkungen
Südseite							
	3431	S, Mitte O	29,732			29,732	neb.Stoßfuge, neb.Mitte
	3792	S, Mitte O		BR	29,692		Stoßfugenpkt.
	7531	S, Mitte O	29,732			29,732	neb.Stoßfuge
	3793	S, Mitte O	29,732			29,732	Stoßfugenpkt.
	3794	S, Mitte O	29,729			29,729	Stoßfugenpkt.
	3795	S, Mitte O	29,726			29,726	Stoßfugenpkt.
	3796	S, Mitte O	29,721	0,003		29,724	Stoßfugenpkt.
	3797	S, Mitte O	29,696	0,027		29,723	Stoßfugenpkt.
	4279	S, b.SO			29,708		Felsstufe hinten
Kurvatur ca.			9	mm Überhöhung		29,728	Mittelwert Höhe

3. Stufe gesamt	29,722	Mittelwert Höhe
------------------------	---------------	------------------------

5 OK Sockelprofil							
Ostseite							
	4340	O, Mitte S				30,410	Felsstufe hinten
	4343	O, Mitte S				30,414	Felsstufe hinten
	4354	O, Mitte S				30,414	Felsstufe hinten
	4355	O, Mitte S				30,406	Felsstufe hinten, Nähe Mitte
	4356	O, Mitte				30,413	Felsstufe hinten
	4367	O, Mitte N				30,413	Felsstufe hinten
	4368	O, Mitte N				30,410	Felsstufe hinten
	4369	O, Mitte N				30,408	Felsstufe hinten
	4382	O, Mitte N				30,404	Felsstufe hinten
	4385	O, Mitte N				30,410	Felsstufe hinten
	4386	O, Mitte N				30,405	Felsstufe hinten
	4387	O, b.NO				30,389	Felsstufe hinten
	4140	O, b.NO				30,400	Felsstufe hinten
Nordseite							
	4139	N, b. SO				30,405	Felsstufe hinten
	4141	N, b. SO				30,405	Felsstufe hinten
	4142	N, Mitte O				30,406	Felsstufe hinten Nähe NO
	4143	N, Mitte O				30,401	Felsstufe hinten
	4144	N, Mitte O				30,405	Felsstufe hinten
	4145	N, Mitte O				30,410	Felsstufe hinten
	4146	N, Mitte O	30,416			30,416	neb.Stoßfuge
	4147	N, Mitte O				30,412	Felsstufe hinten
	4149	N, Mitte O				30,414	Felsstufe hinten
	4150	N, Mitte O		BR		30,386	Stoßfugenpkt.neb.Scheint. Scheintür
	4167	N, Mitte W				30,428	Felsstufe hinter Gewände
	4169	N, Mitte W				30,416	Felsstufe hinten
	4174	N, Mitte W				30,392	Felsstufe hinten
	4175	N, b.NW				30,400	Felsstufe hinten
	4176	N, b.NW				30,394	Felsstufe hinten
	4178	N, b.NW				30,395	Felsstufe hinten
	4177	N, b.NW				30,390	Felsstufe hinten
Einzelpunkt						30,416	(Mittelwert) Höhe

Scheintür				
	4153	Scheintürstandfläche	30,331	Block leicht disloz.
	4152	Scheintürstandfläche	30,330	Block leicht disloz.
	4160	Scheintürstandfläche	30,326	Felskante vorne
	7645	Scheintürstandfläche	30,330	Fels
	7644	Scheintürstandfläche	30,330	Fels
	4159	Scheintürstandfläche	30,326	Felskante hinten
	7643	Scheintürstandfläche	30,333	Felskante hinten
	4158	Scheintürstandfläche	30,325	Felskante vorne

VII. ANHANG

Schicht	Pkt.nr.	Lage	h	Pkt.nr.	Diff.OK	h	Anmerkungen
Westseite							
	5219	W, b.NW				30,383	Felsstufe hinten
	5218	W, b.NW				30,392	Felsstufe hinten
	5217	W, b.NW				30,393	Felsstufe hinten
	5215	W, Mitte N				30,396	Felsstufe hinten
	5212	W, Mitte N				30,402	Felsstufe hinten
	5210	W, Mitte N	30,400			30,400	Bl.in situ, Mittelber., etw.hinten
	5206	W, Mitte N	30,272	0,137		30,409	Stoßfugenpkt.
	5286	W, Mitte S	30,276	0,135		30,411	Stoßfugenpkt.
	5285	W, Mitte S	30,272	0,135		30,407	Stoßfugenpkt.
	5284	W, Mitte S	30,270	0,136		30,406	Stoßfugenpkt.
	5279	W, Mitte S				30,401	Felsstufe hinten
	2224	W, Mitte S				30,394	Felsstufe hinten
	5278	W, Mitte S				30,401	Felsstufe hinten
	Kurvatur ca.		9	mm Überhöhung		30,407	Mittelwert Höhe
Westseite Sockelprofilkante unter lesb. Kyma							
	5208	W, Mitte N	30,267			30,267	UK lesb.Kyma
	5207	W, Mitte N	30,270			30,270	UK lesb.Kyma
	5206	W, Mitte N	30,272			30,272	UK lesb.Kyma
	5287	W, Mitte N	30,276			30,276	UK lesb.Kyma, neb.Mitte
	5286	W, Mitte S	30,276			30,276	UK lesb.Kyma
	5285	W, Mitte S	30,272			30,272	UK lesb.Kyma
	5284	W, Mitte S	30,270			30,270	UK lesb.Kyma
	5283	W, Mitte S	30,268			30,268	UK lesb.Kyma
	Kurvatur ca.		9	mm Überhöhung		30,271	Mittelwert Höhe
Südseite							
	3864	S, Mitte W	30,421			30,421	Felsstufe hinten
	3868	S, Mitte W	30,413			30,413	Felsstufe hinten
	3872	S, Mitte W	30,411			30,411	Felsstufe hinten, neb.Mitte
	3432	S, Mitte O	30,419			30,419	Felsstufe hinten, neb.Mitte
	3438	S, Mitte O				30,419	disloz.Dopp.Bl. Re Teil vor Grabk.

Die Höhenmittelwerte beziehen sich nur auf die erhaltenen bzw. gemessenen Strecken. Da die Eckbereiche zerstört sind und nicht erfasst werden konnten, sie alle aber aufgrund der Kurvatur niedriger liegen, sind die Mittelwerte für die Rekonstruktion abzumindern.

VII. ANHANG

Tab. 2: Sockelwandblöcke

ID Steinnr.	l	t	h	l für Mittelwert	h für Mittelwert	Anmerkungen	Steintyp	Schicht	Zuordnung
SCHICHT 6									
B05/1693	153,5	59	88,4	153,5	88,4		Sockel Läuferblock	6	N-Seite
D1367	116,1	57	88,1	Sonderbl.	88,1		Sockel Läuferblock	6	N-Seite, Rechter Anschlussblock zum Scheintürgewände
Mittelwert				153,5	88,3		Schicht	6	N-Seite
B05/1641	88,0	63	87,9	BR	87,9		Sockel Läuferblock	6	Anlaufblock O- oder N-Seite
DO-03	136,1	65	88,4	136,1	88,4		Sockel Läuferblock	6	O-Seite
DO-04	136,1	64	88,4	136,1	88,4		Sockel Läuferblock	6	O-Seite
DO-05	136,1	59	88,4	136,1	88,4	li DO-04, re DO-05	Sockel Läuferblock	6	O-Seite
DO-06	136,1	55	88,5	136,1	88,5		Sockel Läuferblock	6	O-Seite
DO-07	136,4	58	88,5	136,4	88,5		Sockel Läuferblock	6	O-Seite
DO-10	136,1	53	88,4	135,9	88,4		Sockel Läuferblock	6	O-Seite
DO-11	134,0	56	88,4	135,7	88,4		Sockel Läuferblock	6	O-Seite
B00/0041	136,0	57	88,5	136,0	88,5		Sockel Läuferblock	6	O-Seite
B00/0042	136,5	61	89,2	136,5	89,2		Sockel Läuferblock	6	O-Seite
B00/0045	273,1	54	88,4	136,6	88,4	Doppelblock	Sockel Läuferblock	6	O-Seite
Mittelwert				136,1	88,5		Schicht	6	O-Seite
DS-01	100,0	50	87,7	BR	87,7		Sockel Läuferblock	6	S-Seite
DS-03	144,8	64	88,0	144,8	88,0		Sockel Läuferblock	6	S-Seite
DS-04	75,0	61	87,8	BR	87,8		Sockel Läuferblock	6	vermutl. S-Seite (W-Seite mögl.)
DS-05	144,4	62	87,8	144,4	87,8		Sockel Läuferblock	6	S-Seite
DS-07	115,5	65	88,1	BR	88,1		Sockel Läuferblock	6	S-Seite
DS-10	144,4	59	87,6	144,4	87,6		Sockel Läuferblock	6	S-Seite, Grabkammerabschluss
DS-11	144,0	52	88,1	144,0	88,1		Sockel Läuferblock	6	S-Seite
DS-12	144,5	65	88,5	144,5	88,5		Sockel Läuferblock	6	S-Seite
Mittelwert				144,4	88,0		Schicht	6	S-Seite
B02/1131	40,0	43	89,0	BR	89,0		Sockel Läuferblock	6	Eckanlaufblock, vermutl. SW-Ecke
DW-03	119,3	69	88,7	119,3	88,7		Sockel Läuferblock	6	W-Seite
DW-04	117,5	69	88,7	117,5	88,7		Sockel Läuferblock	6	W-Seite
DW-05	117,1	60	88,8	117,1	88,8		Sockel Läuferblock	6	W-Seite
6W-10	232,7	0	88,8	116,4	88,8		Sockel Läuferblock	6	W-Seite
6W-18	117,3	0	88,7	117,3	88,7		Sockel Läuferblock	6	W-Seite
6W-19	116,6	0	88,7	116,6	88,7		Sockel Läuferblock	6	W-Seite
6W-21	233,8	0	88,7	116,9	88,7		Sockel Läuferblock	6	W-Seite
6W-24	200,0	0	88,7	BR	88,7		Sockel Läuferblock	6	W-Seite
DW-30	117,6	63	88,6	117,6	88,6		Sockel Läuferblock	6	W-Seite
Mittelwert				117,3	88,7		Schicht	6	W-Seite
Mittelwert	Höhe				88,4		Schicht 6		gesamt

VII. ANHANG

ID Steinnr.	l	t	h	l für Mittelwert	h für Mittelwert	Anmerkungen	Steintyp	Schicht	Zuordnung
SCHICHT 8									
B03/1572	135,1	47	83,9	135,1	83,9		Sockel Läuferblock	8	O-Seite Anschlussblock zur NO-Ecke
B01/0269	136,1	56	83,2	136,1	83,2		Sockel Läuferblock	8	O-Seite
B01/0277	139,1	62	82,8	139,1	82,8		Sockel Läuferblock	8	O-Seite
DO-01	136,1	62	83,1	136,1	83,1		Sockel Läuferblock	8	O-Seite
DO-02	136,1	57	83,4	136,1	83,4		Sockel Läuferblock	8	O-Seite
DO-08	137,2	59	82,9	137,2	82,9		Sockel Läuferblock	8	O-Seite, Anschlussblock zum SO-Eckblock
Mittelwert				136,6	83,2		Schicht	8	O-Seite
B05/1676	145,1	59	82,7	145,1	82,7		Sockel Läuferblock	8	S-Seite, Anschlussblock zur SO-Ecke
DS-06	143,4	65	83,3	143,4	83,3		Sockel Läuferblock	8	S-Seite
DS-13	143,9	61	83,1	143,9	83,1		Sockel Läuferblock	8	S-Seite
DS-16	85,0	55	82,8	BR	82,8		Sockel Läuferblock	8	vermutlich S-Seite
Mittelwert				144,1	83,0		Schicht	8	S-Seite
B02/1022	101,0	66	83,8	unmessb.	83,8		Sockel Läuferblock	8	W-Seite
B02/1107	119,5	59,5	84,4	119,5	84,4		Sockel Läuferblock	8	W-Seite
B02/1259	233,1	57,5	83,9	116,6	83,9		Sockel Läuferblock	8	W-Seite
B02/1263	185,0	51	83,8	BR	83,8		Sockel Läuferblock	8	W-Seite
B02/1296	117,8	63	84,0	117,8	84,0		Sockel Läuferblock	8	W-Seite
DW-13	116,9	58	83,6	116,9	83,6		Sockel Läuferblock	8	W-Seite
DW-17	117,8	56	83,9	117,8	83,9		Sockel Läuferblock	8	W-Seite
DW-28	117,2	60	84,0	117,2	84,0		Sockel Läuferblock	8	W-Seite
DW-29	91,0	53	83,8	BR	83,8		Sockel Läuferblock	8	W-Seite
Mittelwert				117,6	83,9		Schicht	8	W-Seite
Mittelwert	Höhe				83,5		Schicht 8		gesamt

VII. ANHANG

ID Steinnr	l	t	h	l für Mittelwert	h für Mittelwert	Anmerkungen	Steintyp	Schicht	Zuordnung
SCHICHT 10									
B05/1673	150,9	52,5	77,9	150,9	77,9		Sockel Läuferblock	10	N-Seite, Anschlussblock zur NO-Ecke
Mittelwert				150,9	77,9		Schicht	10	N-Seite
B05/1638	118,0	58	77,9	BR	77,9		Sockel Läuferblock	10	O-Seite
B05/1678	139,0	74,5	77,6	139,0	77,6		Sockel Läuferblock	10	O-Seite
B01/0248	134,5	61	77,8	134,9	78,0	L+ 2ANA, H+1ANA, je 2mm, ca.l+h	Sockel Läuferblock	10	O-Seite
B01/0291	59,0	57	77,6	BR	77,6		Sockel Läuferblock	10	O- oder S-Seite
Mittelwert				137,0	77,8		Schicht	10	O-Seite
DW-31	142,5	63	76,8	142,5	76,8		Sockel Läuferblock	10	S-Seite
DS-19	143,9	59	77,5	143,9	77,5		Sockel Läuferblock	10	S-Seite
B02/1285	144,5	74	77,4	144,5	77,4		Sockel Läuferblock	10	S-Seite
B05/1688	143,7	59,5	77,5	143,7	77,5		Sockel Läuferblock	10	S-Seite
B05/1690	143,7	0	77,5	143,7	77,5		Sockel Läuferblock	10	S-Seite
Mittelwert				143,7	77,3		Schicht	10	S-Seite
B02/1071	117,5	55,5	76,9	117,5	76,9		Sockel Läuferblock	10	W-Seite, Anschlussblock zu Eckblock der SW-Ecke
B02/1159	116,9	67	76,9	116,9	76,9		Sockel Läuferblock	10	W-seite
B02/1258	117,3	61	77,1	117,3	77,1		Sockel Läuferblock	10	W-Seite
B02/1295	117,3	60	77,3	117,3	77,3		Sockel Läuferblock	10	W-Seite
DW-15	117,6	60	77,1	117,6	77,1		Sockel Läuferblock	10	W-Seite
DW-16	117,7	57	77,2	117,7	77,2		Sockel Läuferblock	10	W-Seite
DW-25	117,5	59	77,2	117,5	77,2		Sockel Läuferblock	10	W-Seite
B02/1095	84,0	54	76,3	BR	76,3		Sockel Läuferblock	10	W-Seite
Mittelwert				117,4	77,0		Schicht	10	W-Seite
Mittelwert	Höhe				77,3		Schicht 10		gesamt

VII. ANHANG

ID Steinnr.	l	t	h	l für Mittelwert	h für Mittelwert	Anmerkungen	Steintyp	Schicht	Zuordnung
SCHICHT 12									
B05/1685	151,2	71	73,5	151,2	73,5		Sockel Läuferblock	12	N-Seite, Anschlussblock zur NO-Ecke
Mittelwert				151,2	73,5	---	Schicht	12	N-Seite
B03/1444	0,0	0	73,9	BR	73,9		Sockel Läuferblock	12	O- oder N-Seite
B05/1689	130,0	59	73,5	BR	73,5		Sockel Läuferblock	12	O-Seite
B00/0014	133,5	57	73,3	BR	73,5	2mm ANA erh.	Sockel Läuferblock	12	? Vermutl. O-Seite,
B00/0015	136,4	57	73,9	136,4	73,9		Sockel Läuferblock	12	O-Seite
Mittelwert				136,4	73,7	73,7	Schicht	12	O-Seite
DW-26	235,5	56	74,3	117,8	74,3		Sockel Läuferblock	12	W-Seite
DW-02	94,0	58	74,7	BR	74,7		Sockel Läuferblock	12	W-Seite
Mittelwert				117,8	74,5	74,5	Schicht	12	W-Seite
Mittelwert	Höhe				73,9	74,1	Schicht 12		gesamt
SCHICHT 14									
B05/1684	132,0	58	69,3	BR	69,3		Sockel Läuferblock	14	N-Seite, Anschlussblock zur NO-Ecke
Mittelwert					69,3		Schicht	14	N-Seite
B03/1448	136,3	63	68,9	136,3	68,9	Querbruch, daher ca. 1	Sockel Läuferblock	14	O-Seite
B00/0027	181,5	56	69,1	BR	69,1		Sockel Läuferblock	14	O-Seite
B00/0043	136,3	60,5	69,6	136,3	69,6		Sockel Läuferblock	14	O-Seite
Mittelwert				136,3	69,2		Schicht	14	O-Seite
B05/1677	144,7	64	69,4	144,7	69,4		Sockel Läuferblock	14	S-Seite
DS-20	143,9	58	68,9	143,9	68,9		Sockel Läuferblock	14	S-Seite
B02/1281	143,5	55	68,8	143,7	69,0	je 2mm ANA erh.	Sockel Läuferblock	14	S-Seite, vermutl. SW-Ecknähe
Mittelwert				144,1	69,1		Schicht	14	S-Seite
DW-01	115,2	59	68,9	115,2	68,9		Sockel Läuferblock	14	W-Seite
B02/0974	117,6	?	68,0	117,6	f. Mittelwert aus- scheiden		Sockel Läuferblock	14	W-Seite
Mittelwert				116,4	68,9		Schicht	14	W-Seite
Mittelwert	Höhe				69,1		Schicht 14		gesamt

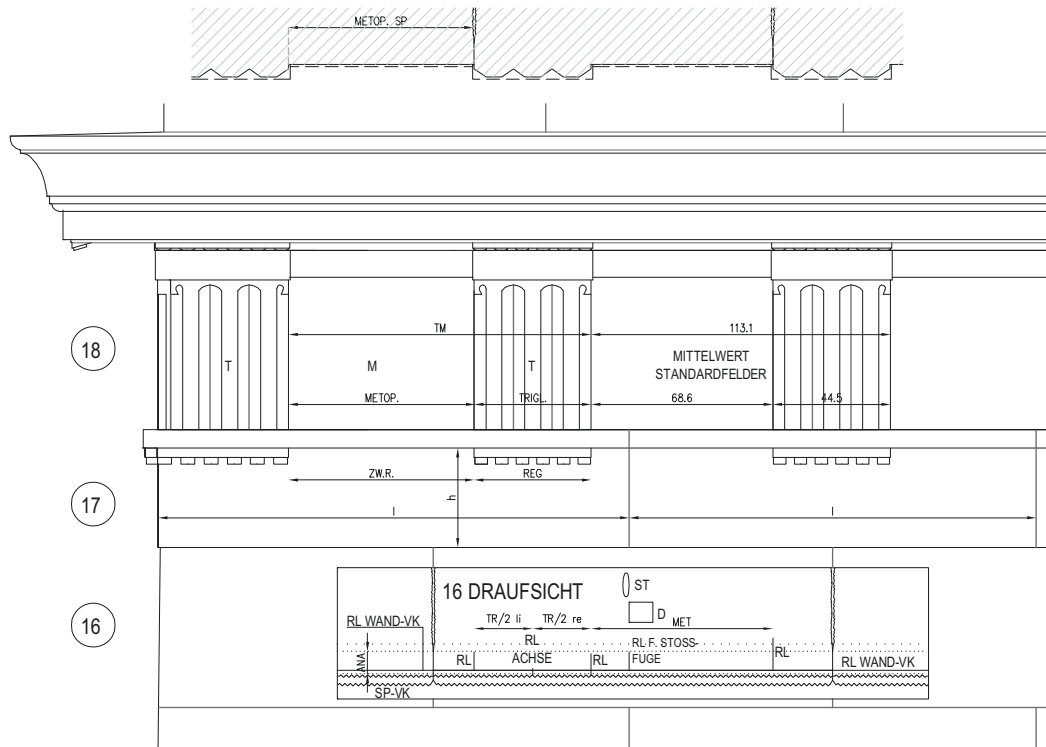
VII. ANHANG

ID Steinnr.	l	t	h	l für Mittelwert	h für Mittelwert	Anmerkungen	Steintyp	Schicht	Zuordnung
SCHICHT 16									
B02/1389	153,2	52	59,8	153,2	59,8		Sockel Läuferblock	16	N-Seite
B02/0932	154,4	56	60,5	154,4	60,5		Sockel Läuferblock	16	N-Seite
Mittelwert				153,8	60,2		Schicht	16	N-Seite
B05/1682	95,0	53	60,4	BR	60,6	2 mm ANA erh.	Sockel Läuferblock	16	O-Seite ?
B05/1683	137,8	60	59,9	137,8	59,9		Sockel Läuferblock	16	O-Seite
DO-09	135,0	65	59,6	135,0	59,6		Sockel Läuferblock	16	O-Seite
Mittelwert				136,4	60,0		Schicht	16	O-Seite
B03/1461	143,8	69	60,8	143,8	60,8		Sockel Läuferblock	16	S-Seite
B03/1462	144,8	71	60,5	144,8	60,5		Sockel Läuferblock	16	S-Seite
B05/1675	144,1	58	60,7	144,1	60,7		Sockel Läuferblock	16	S-Seite
Mittelwert				144,2	60,7		Schicht	16	S-Seite
B02/0659	117,0	66	60,7	117,0	60,7		Sockel Läuferblock	16	W-Seite
B05/1686	117,5	63	60,6	117,5	60,6		Sockel Läuferblock	16	W-seite
Mittelwert				117,3	60,7		Schicht	16	W-Seite
Mittelwert	Höhe				60,4		Schicht 16		gesamt
UNKLARE SCHICHTZUORDNUNG									
B01/0257	75,0	38	72,0	BR	BR		Sockel Läuferblock	? 8, 10 oder 12	? Vermutlich O- oder N-Seite
B02/1027	127,0	43	40,0	BR	BR		Sockel Läuferblock	?	?
B03/1456	BR	BR	BR	BR	BR		Sockel Mauereckblock	--	--

VII. ANHANG

ID Steinnr.	l	t	h	l f Mittelwert	h f Mittelwert	Anmerkungen	Steintyp	Schicht	Zuordnung	
BINDERBLÖCKE										
DS-08	143,0	81	36,1	143,4	36,1	l ca., SP hinten +2 Ana à 2mm	Sockel Binderblock	7	S-Seite	
DS-09	62,0	70	35,9	BR	35,9		Sockel Binderblock	7	S-Seite	
Mittelwert				143,4	36,0			Schicht	7	S-Seite
DW-09	62,0	72	35,6	BR	35,6		Sockel Binderblock	7	W-Seite	
DW-11	121,0	--	35,6	BR	35,6		Sockel Binderblock	7	W-Seite	
DW-12	116,7	--	35,7	116,7	35,7		Sockel Binderblock	7	W-Seite	
DW-20	150,0	--	35,9	BR	35,9		Sockel Binderblock	7	W-Seite	
DW-22	116,7	--	35,6	116,7	35,6	Querbruch, daher ca. l	Sockel Binderblock	7	W-Seite	
DW-23	117,3	122	35,6	117,3	35,6		Sockel Binderblock	7	W-Seite	
DW-32	116,0	--	35,7	BR?	35,7		Sockel Binderblock	7	W-Seite	
Mittelwert				116,9	35,7			Schicht	7	W-Seite
Mittelwert	Höhe				35,7		Schicht 7		gesamt	
B02/1427	69,0	60	33,0	BR	33,0		Sockel Binderblock	9	Seitenzuordnung nicht möglich – Fragment	
B02/1318	138,0	90	32,8	BR	32,8		Sockel Binderblock	9	(vermutl.) N-Seite	
Mittelwert	Höhe				32,9		Schicht 9		gesamt	
B04/1619	42,0	15	31,7	BR	31,7		Sockel Binderblock	11 ?	NW-Ecke ?	
Mittelwert	Höhe				31,7		Schicht 11		gesamt	
B02/0904	168,0	56	30,0	BR	30,0		Sockel Binderblock	13 ?	Vermutl. Eckblock der SW-Ecke	
B02/0651	143,2	119	29,7	143,4	29,7	l+2mm ANA erh. Re	Sockel Binderblock	13 ?	S-Seite	
B02/0680	156,0	121,8	29,9	BR	29,9		Sockel Binderblock	13 ?	W-Seite	
B05/1687	99,0	108	29,7	BR	29,7		Sockel Binderblock	13 ?	(vermutl.) W-Seite	
B02/0962	178,0	77	29,8	BR	29,8		Sockel Binderblock	13 ?	W-Seite	
Mittelwert	Höhe				29,8		Schicht 13		gesamt	
B02/1311	119,0	112	29,3	BR	29,3		Sockel Binderblock	15 ?	N-Seite	
Mittelwert	Höhe				29,3		Schicht 15		gesamt	
Sockelwandblocklängen										
Mittelwert Länge Nord				152,4	153,7	ohne Eckanschlußbl. Sch.10+12 mit Unterlänge				
Mittelwert Länge Ost				136,5	136,1	ohne 2 Überlängen mit 139 cm				
Mittelwert Länge Süd				143,9	144,0	ohne Schicht 13 Binderbl. Mit ANA im BR				
Mittelwert Länge West				117,2	117,2	ohne 2 Über- u.1 Unterlänge mit 119 bzw. 115cm				

VII. ANHANG



Legende:

- T Triglyphe
- M Metope
- BR Bruch, Breite nicht vollständig erhalten
- xx,x SP Breite bis zur Spitzeisenoberfläche, Anathyrosissaum weggebrochen

Abb. 105: Skizze zu Tabelle 3: Triglyphen - Metopen - Regula - Ritzlinien Schicht 16

VII. ANHANG

Tab. 3: Das dorische Gebälk und die Regula-Ritzlinien auf Schicht 16

Triglyphen / Metopenbreiten										
Steinr.	Lagerung	Typ	TRIGL.	METOP.	TRIGL.	METOP.	Gesamt- länge	TM 1	TM 2	Mittelwert TM
B00/53	W	TM	44,4	68,3			112,7			112,7
B02/686	W	TM	43,8	68,7			112,5			112,5
B02/678	W	TMbr	44,2 SP	BR						
B02/993	W	TM	43,8	69,1			112,9			112,9
B02/1022	W	TMT	44,3	68,7	44,3		157,3	113,0		113,0
									113,0	113,0
B02/1054	W	TM	44,3	69,0			113,3			113,3
B02/868	W	TMT	44,2	67,8	47,2		159,2	112,0		112,0
									115,0	115,0
B02/779	NW1	MTM		69,8 SP	44,4	69,0	183,2			113,4
B02/778	NO2	TM	44,2	68,3			112,5			112,5
B06/1698	NO2	TM	44,6	69,0 SP			113,6			
B06/1700	NO2	MT		69,4	44,2		113,6			113,6
B06/1701	NO2	MT		69,0	44,4		113,4			113,4
B06/1702	NO2	brMTMbr		BR	44,3	BR				
B02/788	NO2	TMT	44,9	68,2	44,5		157,6	113,1		113,1
									112,7	112,7
B02/784	NO2	brTM	BR	68,5?BR						
B06/1705	NO2	TMT	46,5 SP	68,4	45,8		114,2			114,2
B01/377	SSO1	MT		69,7	44,0		113,7			113,7
B01/374	SSO1	TMTM	44,4	69,3	44,0	69,0	226,7	113,7		113,7
									113,0	113,0
B01/378	SSO1	MT		69,1	44,3		113,4			113,4
B01/381A	SSO1	MT		66,7	46,7		113,4			113,4
B01/397	SSO1	MT		56br	43,9					
B06/1703	SSO1	MTbr		68,6	BR					
B06/1704	SSO1	MT		69,0 SP	44,4					
B01/384	SSO1	MT		68,7	44,5 SP					
B01/391A	SSO1	TMTbr	44,5	68,1	BR		112,6			112,6
B01/391B	SSO1	brMTM		BR	43,8	68,2 SP				
B01/381B	SSO1	TM	44,0	68,5			112,5			112,5
B01/380	SSO1	MT		69,6	44,4		114,0			114,0
B01/382	SSO1	TMbr	44,3	BR						
DS-22	S, Felssockel	TMT	44,0	68,3	44,9		157,2	112,3		112,3
									113,2	113,2
DS-23	S, Felssockel	TM	44,3	68,3			112,6			112,6
			T	M	T	M				
										113,14
Mittelwert	Triglyphen		44,48	39,32%						
Mittelwert	Metopen		68,66	60,68%						
Mittelwert	Triglyphenachsaß		113,14	Summe						

VII. ANHANG

Triglyphen / Metopen - Eckzonen										
vermutl. Eckanschlussblock			METOP.	TRIGL.			Gesamt-länge	TM 1	TM 2	Mittelwert TM
B06/1699	NO2	TM	69,2	47,0			116,2			116,2

Ecktriglyphenblöcke:										
B02/929+ B04/1625	NW1	MTMT / TM	METOP.	TRIGL.	MT / Ecke					
NW-Ecke		linke Seite	67	47,1	116,300			114,1	116,3	230,4
		rechte Seite			112,700					112,7
B06/1707	AO	MT / TM								
SO-Ecke		linke Seite			125,5 SP weit hinten					
		rechte Seite	69,5 SP	BR						
B00/68	NO1	MT / TM								
NO-Ecke		linke Seite			114,6					114,6
		rechte Seite			115,0					115,0
Mittelwert										
Ecktriglyphe mit Eckmetope					114,7					
vorletzte TR mit vorletzter MET			68,1	47,1	115,2					

Dorische Architrave Regulabreiten									
Steinnr.	Lagerung	Zuordnung	l	h	Regula	Zw.raum			Mittelwert Reg-Zw.r.
B01/375	SSO1	O	127 BR	44,5	halb22,2	67,8 BR			
B01/376	SSO1	O	136,3	44,5	44,4				
B01/376 + B01/375 als Nachbarblöcke ergeben							54,0	59,1	113,1
B06/1696	OSO2	O	134,2	44,3	44,2 rek	68,1 rek			112,3 rek
B06/1697	OSO2	O	136,7	44,4	halb22,5BR				
B06/1695	NO1	?	149,5 BR	44,4	44,5 rek				
B06/1694	NO2	O	138,3	44,5	durchschnitten				
B02/891	NO1	W?	114,4 SP	44,2	44,7				
B02/818	N1	W?	116,8 SP	44,2	44,7		Regula 2		
B02/1041	W	W	233,7	44,1	44,1	68,4	44,7		112,5
sind Nachbarblöcke			Zw.r. Restmaße		18,2	50,0	44,7		112,9
B02/958+1040		W	234,6 gebrochen	44,2	44,8		R2+Zw.r. 112,7		112,7
B02/1019	W	W	BR	44,1					
Mittelwerte					44,5	68,3			112,8

Eckarchitrav									
B06/1706	AO	SO					Eckregula		
		linke Seite	169,5	44,8	48,0	71,0	46,8 rek.		119,0
		rechte Seite	166,8 SP		48,3	68 D / 75,5 ST			116,3- 123,8

Mittelwert Höhe	44,4
------------------------	-------------

Ritzlinien auf Blockoberseiten der Schicht 16							
		MET	TR/2 li	TR/2 re	TR	GES.	
B02/932	N	---	22,1	22,3	44,4		
B05/1683	O	---	22,0 o.22,2	---			
B03/1462	S	68,6	22,2	22,2	44,4	113,0	
B03/1461	S	68,6	22,1	22,4	44,5	113,1	
B05/1675	S	68,6	22,1	22,4	44,5	113,1	
B05/1686	W	---	---	---	44,0		
B02/659	W	68,7	---	---			
Mittelwerte		68,6	22,1	22,3	44,4	113,07	

Mittelwert	Triglyphenachmaß	113,1	MET	68,6	TR	44,5
-------------------	-------------------------	--------------	-----	-------------	----	-------------

VII. ANHANG

Tab.4: Schichthöhen

Schicht	Steintyp	h Mittelwert	N- Seite	O- Seite	S- Seite	W- Seite		Höhenfestlegung	absolute Höhe der Oberkante	
1	Euthynterie	div.	26,6 Eckber.				Auch 35,2 u.40,2 h WO-Schnitt	28,549	Korr.faktor 0,2	28,551
2	1. Stufe	39,3							39,3	28,944
3	2. Stufe	38,7							38,8	29,332
4	3. Stufe	38,8							38,8	29,720
5	Sockelprofil	69,0							69,1	30,411
6			88,3	88,5	88,0	88,7				
6	Sockel Läuferblock	88,4					gesamt		88,4	31,295
7					36,0	35,7				
7	Sockel Binderblock	35,7					gesamt		35,9	31,654
8				83,2	83,0	83,9				
8	Sockel Läuferblock	83,5					gesamt		83,5	32,489
9	Sockel Binderblock	32,9							33,0	32,819
10			77,9	77,8	77,3	77,0				
10	Sockel Läuferblock	77,3					gesamt		77,3	33,592
11	Sockel Binderblock	31,7							31,8	33,910
12			73,5	73,7		74,5				
12	Sockel Läuferblock	73,9					gesamt		74,0	34,650
13	Sockel Binderblock	29,8							29,9	34,949
14			69,3	69,2	69,1	68,9				
14	Sockel Läuferblock	69,1					gesamt		69,1	35,640
15	Sockel Binderblock	29,3							29,4	35,934
16			60,2	60,0	60,7	60,7				
16	Sockel Läuferblock	60,4					gesamt		60,4	36,538
17	Dorischer Architrav	44,5							44,6	36,984
18	Triglyphen- Metopen-Fries	67,7							67,7	37,661
19	Dorisches Gesims	44,7							44,8	38,109

VII. ANHANG

Schicht	Steintyp	h Mittelwert	Höhenfestlegung	absolute Höhe der Oberkante
20	untere Stufe OG	42,5	42,7	38,536
21	mittlere Stufe OG	36,8	37,0	38,906
22	Stylobat OG	33,2	33,3	Maß am Felssockel 39,239
Summe der Schichthöhen der Einzelblöcke		1.067,4	Schichthöhenanpassung an Höhenmaß des Felskerns	1069,0 cm
Höhenmaße am Felskern				
Höhe Felsbank W-Seite, 2.Säule nördl.der SW-Ecke = Stylobat-OK (WO-Schnitt)			39,239	
Höhe Euthynterie-OK WO-Schnittbereich (Pkt.nr.3902-116,9)			28,549	
Höhe Euthynterie-OK der SW-Ecke			28,537	
Höhendifferenz Euthynterie-OK - Stylobat-OK Peristasis			10,690 m	
Schichthöhen der Peristasis				
P23	Säulenplinthe		27,0	39,509
P24	Säulenbasis		35,3	39,862
P25-29	Säulenschaft (rekonstr.)		751,6	47,378
P30	Peristasis-Kapitell		111,7	48,495
P31	Architrav		63,2	49,127
P32	Fries		41,5	49,542
P33	Gesims		64,6	50,188
P34	Dachskulptursockel		35,5	50,543
P35-36	Dachskulpturen		div.	
Gesamthöhe OG ohne Stufenunterbau und Dachskulpturen			1130,4 cm	
Gesamthöhe Gebäude ohne Euthynterie und Dachskulpturen			2199,4 cm	

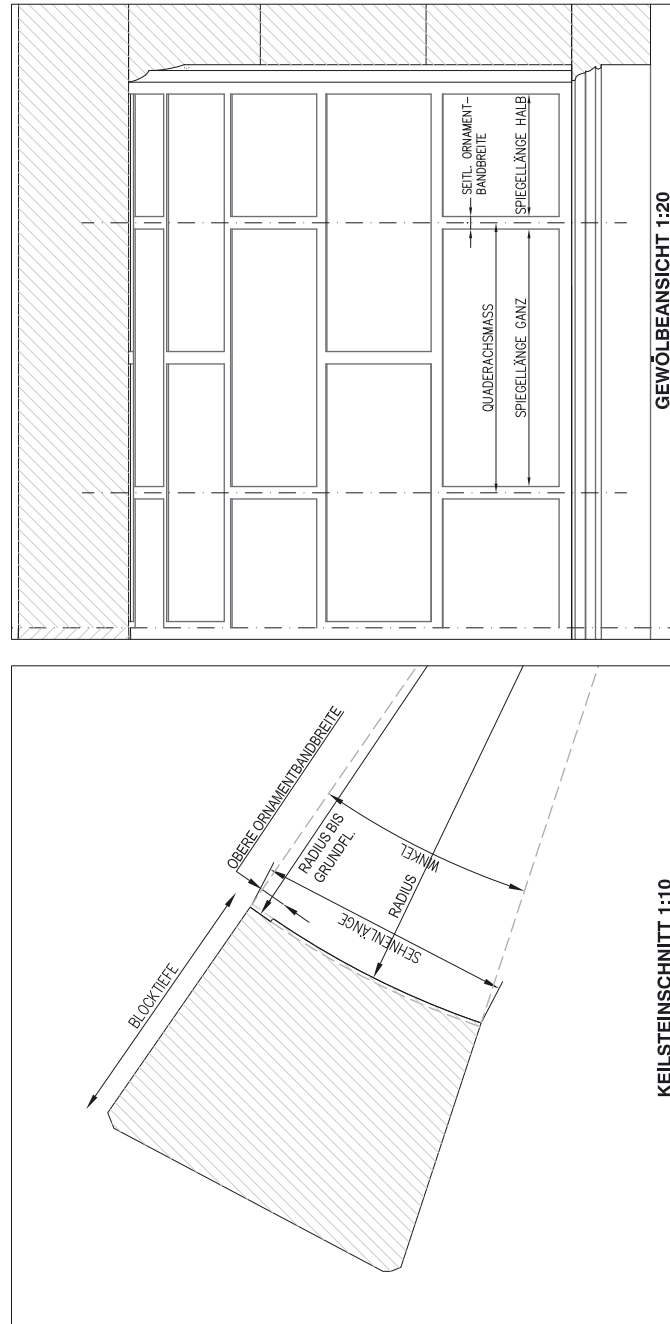


Abb. 106: Skizze zu Tabelle 5: Keilsteine des Grabkammergewölbes

Tab. 5: Die Keilsteine des Grabkammengewölbes

Steinnr.	Blocktyp	Zuordnung	Sehnenlänge Gesamtbreite bei Radius Spiegelfl.	Radius gefluchtete Seiten	Ornamentbandtiefe	Radius bis Grundfl.	ob. Ornamentbandbreite	Blocktiefe	Winkel mit Wasserwaage	Winkel mit Fluchtschnüren	seitl. Ornamentbandbreite	Spiegel-länge halb	Spiegel-länge ganz Grabk.	Spiegel-länge ganz Vork.	Quaderachsmaß Grabk.	Quaderachsmaß Vork.	Mittelw.
B01/358	5.Reihe?	Vork.?	46,00	170,25	0,50	170,75	4,80	52,00	15,75	-	4,75 4,80	47,1	98,5	?	?	103,25 103,80	Mittelw. 103,53
B01/359	2./4.R.?	Vork.	48,60	167,30	0,70	168,00	4,70	58,00	17,50	17,50	4,65	---	99,3			103,90	
B01/360	2.Reihe?	Vork.?	48,50	168,10	0,55	168,65	4,85	48,00	16,00	17,50	4,50	---	BR			BR	
B01/361	1.Reihe	Grabk.		168,85	0,90	169,75	4,70	42,50	17,00	18,00	4,85	46,9	---	---	103,5		
B01/362	4.Reihe	Grabk.	46,50	167,75	0,90	168,65	4,60	54,00	17,50	16,00	4,50	---	BR			BR	
B01/363	4.Reihe?	Grabk.?	46,60	172,20	0,75	172,95	4,70	49,00				---	BR		BR		
B01/448	2.Reihe	Grabk.	49,00	164,70	0,6-0,85	165,40	4,90	43,00	17,00	17,00	4,90		97,3	102,2			
B01/449	2.Reihe	Grabk.	48,90	171,10	0,8/0,7HRL	171,85	4,70	47,00	16,50		4,70	51,7 inkl. Band	BR, aber RL mittig		103,4		
B01/450	2.Reihe	Grabk.	48,90	164,00	0,8/0,7HRL	164,75	BR	46,00	17,00	17,50	4,70		97,2		101,9		
B01/451	1.Reihe	Grabk.	ca.	167,10	0,90	168,00	4,85	56,50	18,50	18,50	---	---	BR		---		
B01/468	1.Reihe	Vork.	BR	BR	0,80	---	4,90	46,00	BR	BR	BR		BR		BR		
B03/1612	3.Reihe	Grabk.	48,70	---	0,70		4,80	47,00	---	---	4,60	---	98,3		101,95		
D1337+	2./4.R.?	Grabk.?	48,50	165,00	0,75	165,75	BR	48,00	17,00	---	4,70	---	98,5		101,95		
D1338+				165,00	0,50	165,50					4,50						
B03/1585																	
Mittelwerte			48,73	53,85	0,73	168,33	4,78				4,68		97,33	98,77	102,59	103,65	
max. Differenz				8,20		8,20											

Blockanzahl	4	4	2
Bogenlänge ohne Schlußst.	194,91	185,47	107,70
	488,08		

Mittelw. 1.Reihe	17,75	18,25
gesamt	18,00	
Mittelw. 2.-5. R.	16,78	17,10
gesamt	16,94	

Mittelw. Vor- u. Grabkammer	103,12
-----------------------------	--------

Spannweite bez. auf Spiegel	durch Ausfluchten	2	167,61	335,23	daher Bogenlänge Tonne	526,57
Spannweite (342,4) 341 bis Spiegel und Stichhöhe (167,4) 166,7 bis Spiegel	durch Grundrisßmaß	342,40	-1,4	341,00	daher Bogenlänge Tonne	535,642
					daher Bogenlänge Tonne	529,6
						abzögl. 488,08
						abzögl. 488,08
						abzögl. 488,08
						Übereinst. mit Spiegelbr. 4.,5. Reihe
						41,52
						41,59

Winkel	b. Spannww.		b. Spannww.		b. Spannww.	
	alpha		alpha		alpha	
	Gewölbeansatzbl.		Gewölbeansatzbl.		Gewölbeansatzbl.	
	Standardblock 2,3		Standardblock 2,3		Standardblock 2,3	
	Standardblock 4,5		Standardblock 4,5		Standardblock 4,5	
Schlußstein		Schlußstein		Schlußstein		
	342,4	53,85	18,02	335,23	53,85	18,41
	342,4	48,73	16,31	335,23	48,73	16,66
	342,4	46,37	15,52	335,23	46,37	15,85
	342,4	49,7597	16,65	335,23	38,49	13,16

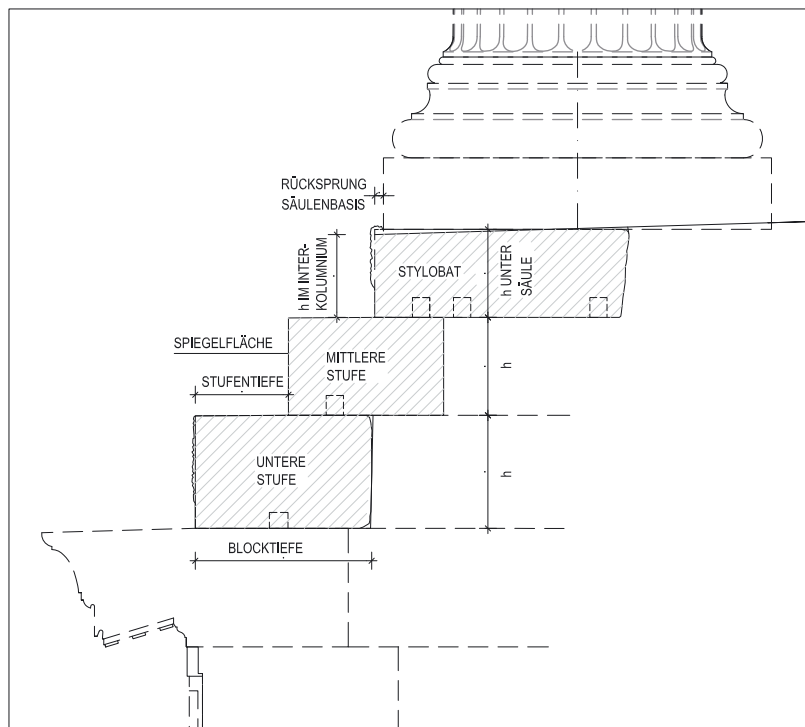


Abb. 107: Skizze zu Tabelle 6: Stufensteine der Peristasis

Tab. 6: Stufensteine der Peristasis

Steinr.		Lage	h	Blocklänge	Stufentiefe	Blocktiefe	Spiegelfläche	Anmerkungen
MITTLERE STUFENSTEINE								
B01/ 442	NO1		37,5	78 BR	34,8	131BR	N glatt	NO-Eckblock, h=36,4 an VK
			37,5	131BR	33,8	78BR	O glatt	D inn, GK f. Du
B01/ 552	NW/N		36,6	142,5BR	33,1	62,0	Bosse	.+Bosse oben mit glatten Querschl., Doppelbl.
B01/ 553	NW/N		36,9	111,9	31,1	69,0	Bosse	.+Bosse und mittl.Steint.oben
B01/ 558	NW/N		36,3	112,9	31,3	63,0	Bosse	
B01/ 559	NW/N		36,5	112,7	31,7	67,0	Bosse	.+Bosse oben
B03/ 1445	ACONO		36,6	110,0	32,2	63,0	glatt	l=109,8+Ana
D 1371	S-Wand		37,4	112,5	32,4	58,0	Bosse	.=DS24, Stufentiefe=33,4/32/31 schief,
Mittelwert			36,8	112,0	32,6			
Blockanzahl gesamt			84	erhalten	7	Prozentsatz	8,3%	
UNTERE STUFENSTEINE								
B01/ 152	O 2.J.v.N		42,8	115,0ausg.	35,0	70,5	glatt	Mitteljoch?, l=115 f.Mittelw.ausgesch.
B01/ 324+ 590	S v.Grabk.		43,3	ca.230	34,4	.61/72	glatt	hinten schief, m.RL, 2 mitt. Do re
B01/ 351	O 2.J.v.S		43,6	111,1	35,7	75,0	Bosse	
B01/ 444	NO1		41,9	112,3	34,5	84,7	glatt	
B01/ 492	N		44,0	103BR	34,7	85,0	glatt	
B01/ 518	ACONO		42,5	128BR	38,3	60,0	Bosse 3cm	Doppelblock, Lager auf O erhöht
B01/ 526	N		43,5	113,0	35,0	68,0	Bosse 2cm	
B01/ 527	N		44,0	113,7	34,5	67,0	glatt,Bo	Mittl.Steint., Lager auf O erhöht, Versatzm. „A“ auf U
B01/ 528	N		44,4	112,3	36,3	79,3	glatt+ Bosse 7mm	nach Abwitterung mittl.Steint. auf O, Lager erhöht, Ana auch re hinten, Versatzm. „A“ auf U
B01/ 530	N		42,0	101BR	34,7	80,0	glatt	
B01/ 531	N		42,0	112,4		61,0		l=ca.112, aber 2x ohne Ana
B01/ 533	NW		44,3	82+xx	36,2	69,0	glatt	44 h an VK
B01/ 535	NW		42,3	95BR	36,0	80,0	Bosse 1,5cm	Einlassung: Vierung o.Plinthe
B01/ 536	N/NW		41,8	113,3	35,0	89,0	Bosse 6cm	2seitl.Kantensch.stege
B01/ 538	W		41,5	112,4		68,0	Bosse 7cm	
B01/ 541	W		41,5	113,4		63,0	Bosse	
B01/ 544	W		41,5	112,7	35,2	73,0	Bosse	
B01/ 555	N/NW		41,2	111,4		74,0	Bosse	
B01/ 562	N-Wand		42,8	113,0		78,0	glatt	Versatzm. „A“ auf U
D 1333	N-Wand		42,1	113,0	34,3	57,0	glatt	h an VK 41,8cm, Lager auf O erhöht, ST mittig
D 1369	N-Wand		42,4	112,9	ca. 37	69,0	glatt	
Mittelwert			42,5	112,8	35,2			
max. Differenz			3,2	2,6	4,0			
Blockanzahl gesamt			88	erhalten	25	Prozentsatz	28,4%	

Tab. 7: Stylobat der Peristasis

Steinr.	Lage	Typ Lage zur Säulenachse	h unter Säule	h im Interkolumnium	Blocklänge	Rück-sprung Säulenbasis	Block-tiefe	Spiegel-fläche	Oberseite Plinthen-abdruck	Oberseite Restmaß zur Stoffl.	Kanten- Du	Anmerkungen
STYLOBATBLÖCKE												
B01/ 208	O-Wand	Mittelzone?	---	33,7	68BR	---	68BR	BR	---	---		
B01/ 218	AONO	Fragn.	32,2									
B01/ 522	AONO	re	33,5	33,9	112,7	5,0	58,0	glatt	75,0	37,7	1 li und 1 re	Ana nach hinten, Anschlussplattenhöhe ca.22cm darunter SP-vorstehend, 3K+1Do
B01/ 524	N	li	32,5	30,6	112,0	3,0	79,3	Bosse 3cm	72,5	39,5	nur 1 li, kein re	
B01/ 525	N	li	33,0	31,5	111,7		76,5	Bosse	75,0	36,7	1 li hinten sonst BR,	l=111,5+1xAAna, Do, =B02/820
B01/ 537	W	re	33,7	32,1	112,8	1,7	79,0	Bosse 5cm	72,0	40,8		l=113,3 an VK, 110,8 an HK, Mittelw.v. vord.Bereich
B01/ 550	W	re	33,1	32,0	112 BR	2,2	80,4	Bosse	75,6BR	35,7	li	l mind. 0,5 mehr +1xAAna
B01/ 556	SSO2	li	33,8	32,0	BR	3,8	81,9	glatt	BR	37,9	re BR, li ohne	Restmaß 37,7+Ana, Scam. vorne 2,3 (+31,5h), settl. 1,8, Do
B01/ 557	O-Wand	li	33,8	31,6	61 BR	2,0	67,5	glatt	BR	37,1	3 li, re BR	W-2.Säule v.S
B01/ 573	SW	re	33,5	34,2	86 BR		97,0	Bosse	71,0	BR		l=112+2xAAna, 73+Ana, nach re, wenn hinteres Stieck, Scam.rückspr. 3,5 v. hinten
B01/ 596	SO	re?	33,1	30,5	112,4	---	81,5	Ana	73,2	38,7		aus Mitteljoch?, 115 f. Mittelw. ausgesch., Do
B01/ 598	AOSO	li	33,0	31,0	115,0 ausg.	4,6	68,0	glatt	74,7	40,3	nur 1 re	hinteres Ende, Vierungs- oder Plintheneinarb. t=11, Du li, 32,3+4,5 bis Stoßk.
B02/ 973	W	li	33,6	32,3	54 BR	BR	60BR	BR	BR	36,8	li	Ana hinten, O gespitzt u. ausgew., re Kante mit Du
B02/ 1223	AO/AONO	Mittelzone?	---	34,0	60,5 BR	---	67,2	glatt	---	---	re	Ana hinten, Plintheneinarb. oder Entwässerung hinten
B02/ 1333	N	li	33,0	33,0	82 BR	5,7	71,7	glatt	BR	38,0	2 li sonst BR, re BR	-1,7 bis -4,0 tief, 10,3 x 31,9 cm
B02/ 1431	W	li	33,5	32,5	98,5 BR	1,8	99,0	Bosse	BR	35,7		W-2.Säule v.S
Mittelwert			33,2	32,3	112,3	3,3	halbe Plinthe		73,3	37,9		
							ganze Plinthe		146,6			
Mittelwert Blocklänge												
Stylobat, mittlere und untere Stufensteine												
					112,4		42,5		36,8	33,2		112,6
Gesamthöhe Stufenunterbau												
Stylobatblöcke gesamt												
	80	erhalten	16	Prozentsatz	20,0%							

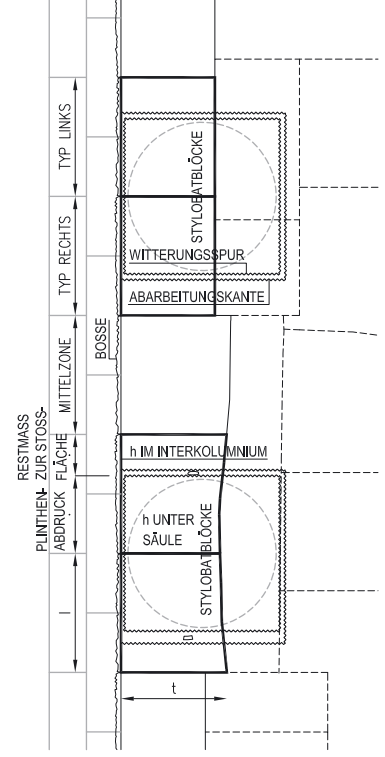


Abb. 108: Skizze zu Tabelle 7: Stylobat der Peristasis

Tab. 8: Die Trommeln der Peristasssäulen

Steinrnr.	Lage	Kann.-Anz.	o unten	o oben	Länge	Kann.-Tiefe	Kann.-Stegbr.	Kann.-breite o.	Kann.-breite u.	Neigungsgrad	Dübel Oben Mitte	Dübel Oben Seite	Dübel Unten Mitte	Dübel Unten Seite	Bemerkungen / Abschlußprofilart
OBERE SÄULENTROMMELN															
B00/118	AO	24	85,5	81,6	162,1	3,6	1,2 -1,4	9,5		2,95%	O ø7/8,5t	ohne	M 14x16/7,5t	O ø6/6,5t	Abschlußprofil-ø=90
B00/125	AO	24	86	80,5	154,1	3,6	1,6 -1,8	9,25	9,5	4,43%	M 11,5x13/7t	ohne	M 18x18/8,5t	O ø6(?)/6,5t	Abschlußprofil-ø=87,5 O: Vierung b=31,5 t=7
B01/216	AO	24	85,4	82,2	141	3,6	1,6 -1,7	9,3	9,5		O ø6,6/6,7t	O ø6/6,9t	M 16x16/17,2t	keine	Abschlußprofil-ø=90,2
B01/347	S	24	81,9	78,4	142,6	3,5	1,4 -1,6	9,1	9,2	3,11%	O ø6,7/6,7t	ohne	M 14x14/8,3t	O ø6/7,6t	Abschlußprofil-ø=88,2/ RL an Kanneluren, S-Mitte
B01/422	W	24	82,4	79,4	125,9	3,6	1,6 -1,8	8,7	9,3	3,13%	O ø6/7,8t	ohne	M 13x13/7,8t	O ø5,5/6,4t	Abschlußprofil-ø=88
B01/429	W	24	80,5	78,4	66,6	3,5	1,7 -1,8	8,5	8,8	5,74%	O ø6,2/7,6t	verdeckt	O ø6,5/7t	O ø5,8/7t	Abschlußprofil-ø=87
B01/438	M.Selcuk	24	85,75		186,9	3,6	1,3 -1,5	9,1	9,4		verdeckt	verdeckt	verdeckt	verdeckt	bei 16-18 cm von oben Kanneluren angerissen
B01/461	SW	24	81	78,5	154,25	3,5	1,3 -1,5	9	9,4	1,62%	O ø6,8/7t	ohne	M 12,5x14/7,4t	?	Abschlußprofil-ø=87
B01/504	N	24	83	79,3	145,3	3,5	1,4 -1,9	9	9,2	3,21%	O ø7/8,8t	ohne	M 13x14/8,3t	O ø-5,2/7,6t	Abschlußprofil-ø=86,6, Gerader Bruch?
B01/506	N	24	86,1	80,9	192,2 BR	3,3	1,5 -1,9	8,8	9,1	2,71%	O ø6,9/6,8t	ohne	Bruch	Bruch	Abschlußprofil BR
B01/508	N	24	79,8	74,8	164,7	3,1	1,5 -1,6	8,8	8,6	3,71%	O ø6,3/7,4t	ohne	M 13x13,5/6,6t	O ø6/7,1t	Abschlußprofil-ø=83 / Ritzlinie unten
Mittelwert	aller vorh. Trommeln			79,4		3,5		9,0	9,2	3,40%					
max.Differenz				7,4											
max.Abweichung vom Mittelwert				4,6											

Mittelwert	ohne die kleinste	79,9								3,36%					
max.Differenz		3,7													
max.Abweichung vom Mittelwert		-2,3													

Steinrnr.	Lage	Kann.-Anz.	o unten	o oben	Länge	Kann.-Tiefe	Kann.-Stegbr.	Kann.-breite o.	Kann.-breite u.	Neigungsgrad	Dübel Oben Mitte	Dübel Oben Seite	Dübel Unten Mitte	Dübel Unten Seite	Bemerkungen / Abschlußprofilart
UNTERE SÄULENTROMMELN															
B00/133	AO	20	95,7	94,7	113,0	4,4	1,4 -1,8	13,1	13,3	1,20%	M 14x14/8,5t	O ø6/7,5t	M 12x14/7,5t	O ø6/7t	ohne Basistorus, bei M Auswölbung Stich=1,8
B00/119+120	AO	20	92,6	91,9	111,2	4,4	1,8 -1,9	12,6	12,6	0,86%	M 16x17,5/9,6t	O ø5-5,5/7,5t	M 15,5x15,5/9,6t	O ø6,5/6,5t	ohne Basistorus, Abschlußprofil-ø=104,5
B00/128	AO	24	95,0	93,6	138,8	4,0	1,8	10,3	10,8	1,29%	O ø7,4/7,4t	O ø6,5/7,5t	O ø6,5/6,7t	ohne	mit Basistorus, Abschlußprofil-ø=115,6
B00/129+135	AO	24	95,4	92,9	169,3	4,2	1,6 -1,7	10,6	10,7	1,79%	O ø6/6t	O ø6/6,2t	M 12,5x12,5/7,4t	O ø5,5/5,6t	ohne Basistorus
B01/193	AO	24	94,2	92,3	188,6	3,9	1,7 -1,9	10,5	10,7	1,20%	M 22x22/8,6t	O ø6,5/7t	M 19x18,5/7,5t	O ø6/7t	mit Basistorus, Abschlußprofil-ø=115
B01/222	AO	24	95,7	93,6	105,8	3,9	1,8 -1,9	10,4	10,6		M 12x13/9t	O ø6,7/7,5t	M 14x14/6,7t	O ø5,7/6,6t	ohne Basistorus,
B01/309	S	24	94,7	93,6	122,7	4,1	1,5	10,7	10,9	1,23%	M 14x16/7,2t	O ø6,8/7,2t	M 20,5x7/9,3t	O ø7/7,2t	ohne Basistorus, Abschlußprofil zerstört
B01/428	W	24	94,9	94,3	111,2	3,6	1,6 -1,7	10,7	11,0	0,54%	M 18x?/?t	?	M 14x15/7,3t	O ø6,8/7,5t	ohne Basistorus, Abschlußprofil zerstört
B01/462	SW	24	95,0	93,5	118,6	4,1	1,8 -1,9	10,4	10,6	1,69%	M 13x13/8,4t	O ø6,4/7,2t	M 13x12,5/7,7t	Bruch	mit Basistorus, Abschlußprofil-ø=113,8
B01/505	N	24	92,7	91,8	144,3	3,8	1,6 -2,0	10,4	10,5	0,79%	M 12x13/8,9t	O ø6/7,4t	M 12x13/7,3t	O ø6/6,8t	ohne Basistorus, Abschlußprofil zerstört
B01/509	N	24	91,6	90,8	147,4	4,0	1,5 -1,7	10,3	10,3	0,54%	M 12,5x13/8,5t	O ø6,6/7,7t	M 12x13/9,1t	O ø6,5/7,6t	ohne Basistorus
B01/511	N	24	93,5	92,0	168,6	3,6	1,6 -1,9	10,2	10,3	1,08%	M 13x13,5/9t	O ø5,6/7,6t	M 13x13/9,6t	O ø5,9/7,4t	ohne Basistorus, Abschlußprofil-ø=103,8 / U RL
B01/519	AO	24	94,1	?	40 BR	3,7	1,9	~10,4	~10,4		?	?	?	?	mit Basistorus, Bruchstück
B01/520	NW	24	projiz95,8	min93,5	185,2 BR	3,7	1,9	?	10,3		?	?	O ø6,3/6,2t	ohne	ohne Basistorus, Abschlußprofil-ø=106,8 - O BR
Mittelwert			94,1			4,0		10,9	11,0	1,11%					
aller erh.Trommeln ohne B01/222 u. B01/520															
max.Differenz			4,1												
max.Abweichung v.Mittelw.			2,5	-1,6											

15	erhaltene Stückanz.
28	Säulenzahl
53,57%	erhaltener %-Anteil

Mittelwert	ohne B01/222 und ohne 20 Kann.Trommeln	94,1								1,13%					
max.Differenz		3,8													
max.Abweichung v.Mittelw.		2,5													

Verjüngung 94,1 cm - 79,9 cm = 14,2 cm = ca.3/20 oder 1/7
 15,09% 0,8491
 bei Säulenhöhe ca. 32 Fuß

Steinnr.	Lage	Kann. Anz.	ø unten	ø oben	Länge	Kann-Tiefe	Kann-Stegbr.	Kann-breite o.	Kann-breite u.	Neigungsgrad	Dübel Oben Mitte	Dübel Oben Seite	Dübel Unten Mitte	Dübel Unten Seite	Bemerkungen / Abschlussprofilart
----------	------	------------	---------	--------	-------	------------	--------------	----------------	----------------	--------------	------------------	------------------	-------------------	-------------------	----------------------------------

MITTLERE SÄULENTROMMELN

B00/117	AO	24	93,9	92,2	149,7	4,1	1,4-1,6	10,6	10,6	1,14%	M 18,5x18,5/10,5t	?? Bruch	M 16x18,5/10,5t	O ø6,5/7t	
B00/121+122	AO	24	91,4	87,0	203,3	3,9	1,6-1,7	10,0	10,5	2,16%	M 12,5x12,5/7t	O ø6/7t	M 14x14/7,8t	O ø5,5/7,5t	
B00/127	AO	24	93,0	89,0	158,0	3,8	1,6-1,7	10,0	10,2	2,53%	M 20,5x20,5/8t	O ø6/7,5t	M 14,5x17,5/10t	O ø6/7,3t	
B00/131	AO	24	88,4	85,7	100,1	3,6	1,5-1,7	9,5	10,0	2,70%	O ø6,5/6,7t	O ø6/7,3t	M 16x16/7,8t	O ø5,7/6t	zusätzl. O ø5,5/6t im rechten Winkel
B00/132	AO	24	90,4	88,4	108,0	3,8	1,6-1,8	9,5	10,0	1,85%	M 15x15/10,3t	O ø7/7t	M 16x16/9t	O ø6,5/6,8t	zusätzl. O ø6/3t in Achse gegenüber
B00/134	AO	24	88,2	85,9 BR	89,6 BR	3,6	1,6-1,7	~9,8	~9,8		Bruch	Bruch	M 13x13/8,5t	O ø6/6,5t	
B01/194	AO	24	94,0	92,2	152,7	3,8	1,7-1,8	10,3	10,4	1,21%	M 13x13,5/7,5t	O ø6,3/6,8t	M 14x14/8t	O ø6/6,8t	
B01/200	AO	24	92,4	90,4	159,0	3,8	1,6-1,8	10,1	10,3	1,26%	M 16,5x16/7,4t	O ø6,5/7,2t	M 16,5x16/7,8t	O ø6,5/7,5t	
B01/217	AO	24	92,2	90,3	120,3	4,1	1,7-1,9	10,2	10,3	1,54%	M 13x13/8,7t	O ø6,5/7,4t	M 13x15/10,4t	O ø6/7,2t	
B01/300	SO	24	93,8	91,4	137,4	4,1	1,5-1,7	10,5	10,6	1,73%	?	?	M 13x13/6,4t	O ø6,5/7,6t	
B01/327	S / SO	24	86,8	81,7	175,6	3,6	1,2-1,6	9,3	9,8	2,91%	M 14x14/7,5t	O ø6,4/7t	M 13,5x13,5/8t	O ø6,3/7,3t	
B01/328	S / SO	24	89,7	86,3	150,1	4,0	1,4-1,6	10,0	10,1	2,27%	M 17,5x17,5/10,5t	?	M 18,5x18,5/11t	O ø6,2/7,3t	
B01/345	S	24	90,8	87,9	211,9	3,7	1,3-1,6	10,2	10,4	1,37%	O ø6,5/8,2t	x	M 12,5x13,5/6,7t	?	antike Steinreparatur mit K 22 cm lang, vor S-Mitte
B01/421	W	24	88,3	86,4	120,6	3,8	1,7-1,8	9,6	9,7	1,58%	M 13x14/8t	O ø6/7,7t	M 14x14/9,8t	O ø5,5/6,8t	
B01/423	W	24	91,4	88,2	128,9	3,8	1,6-1,7	10,0	10,1	2,48%	M 17x17/10t	O ø6,5/7,6t	M 14x14/8,2t	O ø6,5/7t	M erweitert rechtw. auf 22x17/3,5t
B01/424	W	24	86,4	82,4	166,5	3,5	1,6-1,8	8,9	9,2	2,40%	M 13,5x13,5/7,6t	O ø5,8/7,3t	M 13,5x13,5/6,2t	O ø6,5/8,8t	
B01/425	W	24	91,4BR	90,7	114,4BR	3,8	1,6-1,7	10,2	10,3	Bruch	M 13,5x13,5/8,5t	O ø5,8/7,9t	Bruch	Bruch	Bruch unten / 5 Kanneluren abgerieben
B01/426	W	24	88,4	86,0	93,4	3,4	1,6-1,8	9,5	9,8	2,57%	M 13,5x13,5/6,4t	O ø5,8/6,8t	M 15x15/7t	O ø6,5/7,5t	
B01/427	W	24	91,5	90,0	99,2	3,6	1,9-2,0	9,8	9,9	1,51%	M 12x14/8,7t	O ø5,8/7,5t	M 13x14/8,3t	Bruch?	
B01/430	W	24	90,9	88,4	191,2	3,8	1,6-1,7	9,9	10,0	1,28%	M 13,5x13,5/9,5t	O ø5,5/xt	M 13,5x13,5/9,7t	O ø5,7/7,2t	
B01/431	W	24	95,3	89,5	141,1	4,1	1,6-1,8	10,3	10,4		?	?	M 15x15,5/7,9t	O ø6,5/7,2t	
B01/432	W	24	93,7	91,6	146,3	3,7	1,9-2,0	10,1	10,2	1,44%	M 15x?/10,1t	?	M 15x15/10,8	O ø5,8/7,2t	
B01/433	W	24	85,8	81,6 bei	168(0 gr.)	3,5	1,7	9,4	9,6	?	?	M 13,5x13,5/8,1t	O ø6,2/7,9t	nach 168cm Länge verdeckt	
B01/439	M.Selcuk	24	91,4	89,7	139,0	4,0	1,5-1,6	10,0	10,3	1,19%	verdeckt	verdeckt	verdeckt	verdeckt	
B01/454	S	24	88,0	85,5	113,2	3,6	1,3-1,5	9,8	10,1	2,21%	M 11x13/8,4t	O ø6/7,8t	?	?	Entasis ~1,5mm
B01/455	S	24	89,8	?	171,0	3,6	1,3-1,6	~9,9	~9,9		?	?	M 13x13/7,8t	verdeckt	Steinrauspuren
B01/456	SW/S	24	84,6	81,7	---	3,8	1,7-1,8	8,9	9,1		Oz ø5,5/7t	keines	Oz ø6,4/7t	O ø5,3/7t	kein quadr. Do, U: RL, Zirkelschl. 33,85
B01/458	SW	24	91,9	?	188,9	3,9	1,6-1,9	~10,3	~10,3				M 13x13/8,7t	O ø6/7,9t	Ende verdeckt
B01/459	SW	24	88,5 Am.	86,9	?	4,0	1,6-1,8	9,2	9,6	1,65%	Bruch	Bruch	M 12,5x13,5/6,8t	O ø6/6,2t	volle Länge verdeckt
B01/463	SW	24	85,0	82,3	105,6	3,5	1,6-1,7	9,3	9,5	2,56%	Bruch	Bruch	M 12,5x13,5/6,8t	O ø6/6,2t	Entasis ~0,15mm
B01/486	N	24	88,8	86,6	auf104,8	3,7	1,6-1,7	~9,6	~9,6	2,13%	x	x	x	x	sekundär abgearbeitete Kanneluren
B01/507	N	24	85,3	82,4	132,4	3,6	1,4-1,6	9,3	9,5	2,19%	M 12x14/10t	O ø6,2/7,6t	M 13x13/7,5t	O ø5,8/7,4t	Steinrauspuren
B01/510	N	24	93,2	89,6	121,4	3,1	1,5-1,6	10,2	10,4	2,97%	M 12x13/8,3t	O ø5,7/8t	M 12x12,5/7,5t	O ø5,8/8,4t	
B01/512	N	24	93,4	92,1	89,6	3,9	1,8-2,0	10,0	10,2	1,45%	M 14x16/8,3t	O ø6,4/8,7t	M 14x15/8t	O ø5,6/7,8t	
B01/521	NW	24	sichtbar	verdeckt	?	3,4	1,9	?	9,9	?	?	?	M ?x?/7,5t	O ø5,7/7,2t	
B02/829	N	24	90,5	85,7	165,3					2,90%					
Mittelwert						3,7		9,8	10,0						

Trommeln mit 20 Kanneluren

B00/126	AO	20	94,4	91,5	195,7	4,8	1,6-1,75	12,75	12,8	1,48%	O ø6,5/6,5t	O ø6/7t	M 12x14,5/5,5t	O ø6,5/7,5t	unter B00/130
B00/130	AO	20	91,4	88,8	127,1	4,6	1,5-1,8	12,6	12,7	2,05%	M 12,5x12,5/6,5t	O ø6,6/6,5t	M 13x13/7,3t	O ø6,5/6,5t	über B00/126

TROMMELTYP UNKLAR

B03/1470	NW-Sond	24	ø2(O o.U)	ø2(O o.U)	mind.126						M 45° verdr., o auf Kelle				RL, KreisRL, steckt in der Erde, nur 1 Lager sichtbar.
----------	---------	----	-----------	-----------	----------	--	--	--	--	--	---------------------------	--	--	--	--

VII. ANHANG

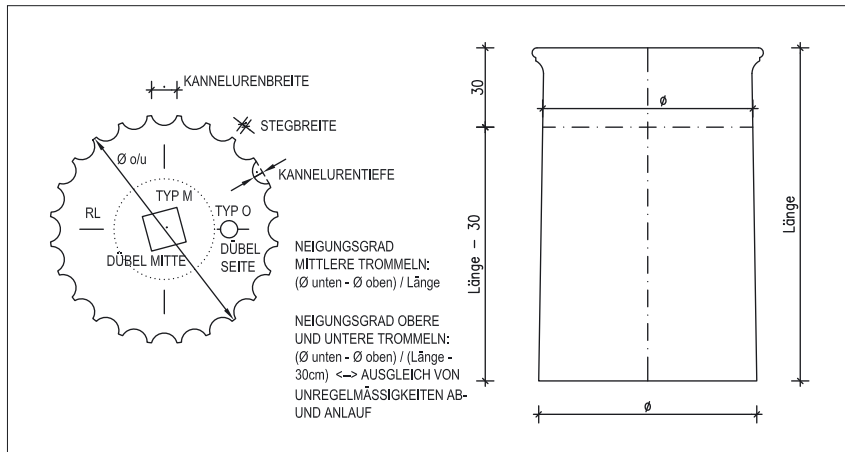


Abb. 109: Skizze zu Tabelle 8: Trommeln der Peristasssäulen

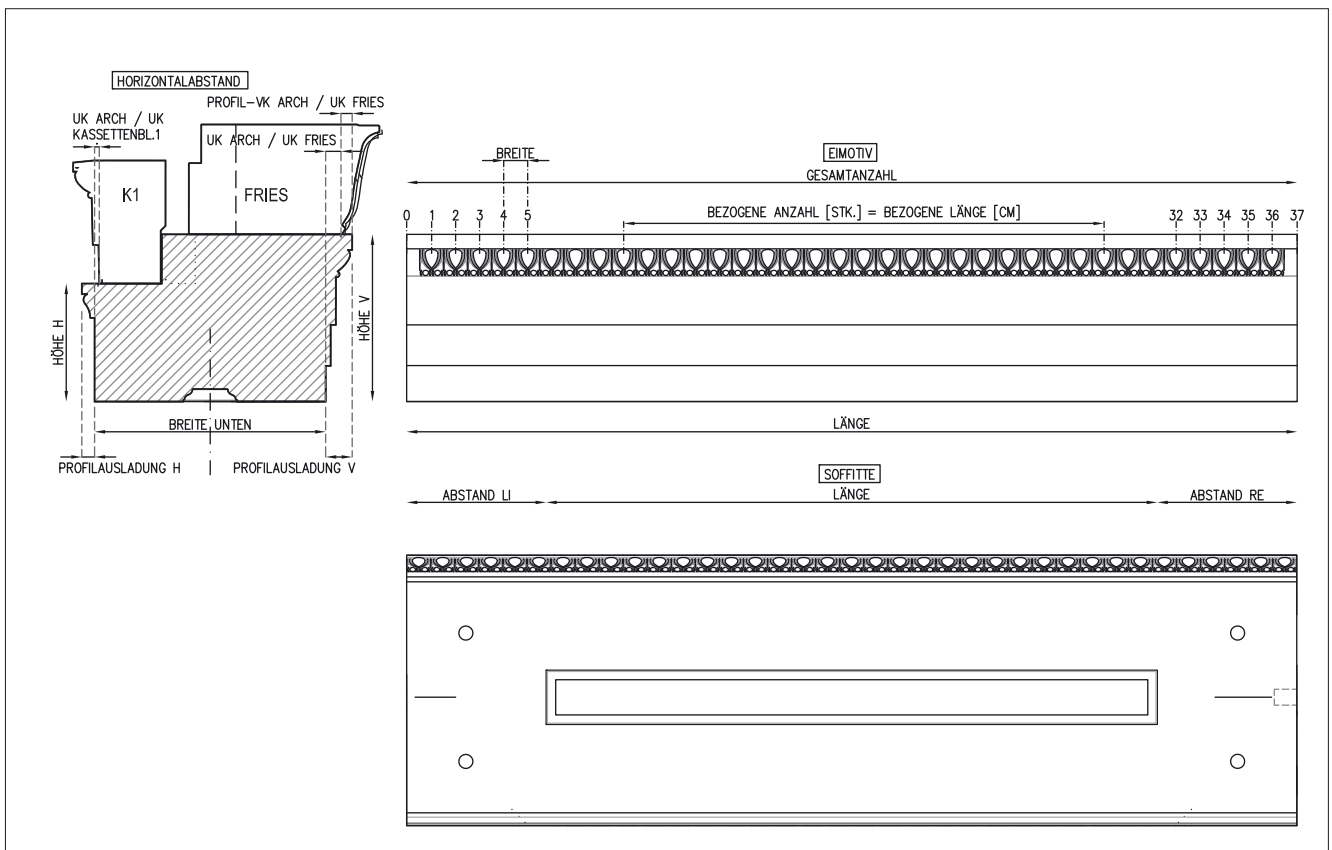


Abb. 110: Skizze zu Tabelle 9: Architrave der Peristasis

Tab. 9: Die Architrave der Peristasis

Steinr:	Lage	Länge	Soffitte		Eimotivberechnung		Anmerkungen	Höhe		Breite		Profilausladung		Horizontaltabstand		
			Abstand li	Abstand re	Abstand	Länge		Breite	Gesamtanz.	bezogene Anzahl	bezogene Länge	V	H	V	H	UK Arch/UK Fries
MITTELJOCHARCHITRAVE																
B01/337	S	348,0	53,5	49,0	245,5	9,10	38	36	327,6	63,2	43,6	87,3	10,2	4,6	-	-0,9
B01/566	W	(347,4) (343,4)	53,0	(53) (49)	241,4		38			62,7	44,3	87,3	10	4,6	4,1	5,9 -1,65
Mittelwert		344,9			243,5		9,07									
	Drittelmaß	346,5														
		115,5														

STANDARDARCHITRAVE																
B01/543	W	333,3	52,2	49,5	231,6	9,19	36,5	31,5	289,6	63,2	45,6	87,5	10,0	-	6,6	3,45
B02/804+859	W	337,9				9,13	37			63,2	44,6	87,9	10,4	4,7	7,2	-3,1
B01/326	S	336,7	50,4	51,3	235,0	9,10				-	44,2	87,7	-	4,4	-	4,4
TH 20+27	O	(ca.339,2) (ca.338,6)	53,6	53,0	232,0	9,15	37	37	338,6							-1,6

ECKARCHITRAVE																
B01/539+540	SW (W)	336,3	53,0	53,6	229,5	9,17	36,5	23	211,00	63,3	44,2	87,6	9,9	3,5	-	-2,8
TH 214	SO (O)	337,8	--	--	--	9,12	37+5	42	383,20							
Mittelwert		336,4					5									
	Drittelmaß	112,1														

BRUCHSTÜCKE																
B00/109	OSO2	BR	53,0	BR	BR	BR	9,13		8	73,00	62,7	-	87,1	10,0	6,4	3,4
B00/111+112	OSO2	BR	--	--	BR	BR				63,3	44,2	87,3	10,2	4,5	-	-1,8
B01/341	S	237BR	--	--	BR	BR	9,15	13	118,90	63,2	44,6	85,6	9,2	-	4,9	4,3
B02/800+1185	NO-Ecke	BR	BR	BR	BR	BR	9,16	7	64,10	62,7	-	43,6	Halbmaß	-	-	-
B02/802	NI	BR	50,5	BR	BR	BR				-	44,8	87,3	-	4,8	-	-1,1
B02/897	NI	BR	BR	BR	BR	BR				63,7	45,6	86,7	-	5,1	-	-1,4
Mittelwert			52,4	51,5	232,0	9,13				63,1	44,6	87,2	10,0	4,5	5,8	-1,8
	Mittelw. li u.re	Soffittenabstand		51,9												

Standardarchitravlänge															
nach ganzen Stücken															
nach Soffitten- und Randabstandslängen															
nach 37 Eiphasen															
nach 38 Eiphasen															
nach 39 Eiphasen															
nach 40 Eiphasen															
nach 41 Eiphasen															
nach 42 Eiphasen															
nach 43 Eiphasen															
nach 44 Eiphasen															
nach 45 Eiphasen															
nach 46 Eiphasen															
nach 47 Eiphasen															
nach 48 Eiphasen															
nach 49 Eiphasen															
nach 50 Eiphasen															
nach 51 Eiphasen															
nach 52 Eiphasen															
nach 53 Eiphasen															
nach 54 Eiphasen															
nach 55 Eiphasen															
nach 56 Eiphasen															
nach 57 Eiphasen															
nach 58 Eiphasen															
nach 59 Eiphasen															
nach 60 Eiphasen															
nach 61 Eiphasen															
nach 62 Eiphasen															
nach 63 Eiphasen															
nach 64 Eiphasen															
nach 65 Eiphasen															
nach 66 Eiphasen															
nach 67 Eiphasen															
nach 68 Eiphasen															
nach 69 Eiphasen															
nach 70 Eiphasen															
nach 71 Eiphasen															
nach 72 Eiphasen															
nach 73 Eiphasen															
nach 74 Eiphasen															
nach 75 Eiphasen															
nach 76 Eiphasen															
nach 77 Eiphasen															
nach 78 Eiphasen															
nach 79 Eiphasen															
nach 80 Eiphasen															
nach 81 Eiphasen															
nach 82 Eiphasen															
nach 83 Eiphasen															
nach 84 Eiphasen															
nach 85 Eiphasen															
nach 86 Eiphasen															
nach 87 Eiphasen															
nach 88 Eiphasen															
nach 89 Eiphasen															
nach 90 Eiphasen															
nach 91 Eiphasen															
nach 92 Eiphasen															
nach 93 Eiphasen															
nach 94 Eiphasen															
nach 95 Eiphasen															
nach 96 Eiphasen															
nach 97 Eiphasen															
nach 98 Eiphasen															
nach 99 Eiphasen															
nach 100 Eiphasen															
nach 101 Eiphasen															
nach 102 Eiphasen															
nach 103 Eiphasen															
nach 104 Eiphasen															
nach 105 Eiphasen															
nach 106 Eiphasen															
nach 107 Eiphasen															
nach 108 Eiphasen															
nach 109 Eiphasen															
nach 110 Eiphasen															
nach 111 Eiphasen															
nach 112 Eiphasen															
nach 113 Eiphasen															
nach 114 Eiphasen															
nach 115 Eiphasen															
nach 116 Eiphasen															
nach 117 Eiphasen															
nach 118 Eiphasen															
nach 119 Eiphasen															
nach 120 Eiphasen															
nach 121 Eiphasen															
nach 122 Eiphasen															
nach 123 Eiphasen															
nach 124 Eiphasen															
nach 125 Eiphasen															
nach 126 Eiphasen															
nach 127 Eiphasen															
nach 128 Eiphasen															
nach 129 Eiphasen															
nach 130 Eiphasen															
nach 131 Eiphasen															
nach 132 Eiphasen															
nach 133 Eiphasen															
nach 134 Eiphasen															
nach 135 Eiphasen															
nach 136 Eiphasen															
nach 137 Eiphasen															
nach 138 Eiphasen															
nach 139 Eiphasen															
nach 140 Eiphasen															
nach 141 Eiphasen															
nach 142 Eiphasen															
nach 143 Eiphasen															
nach 144 Eiphasen															
nach 145 Eiphasen															
nach 146 Eiphasen															
nach 147 Eiphasen															
nach 148 Eiphasen															
nach 149 Eiphasen															
nach 150 Eiphasen															
nach 151 Eiphasen															
nach 152 Eiphasen															
nach 153 Eiphasen															
nach 154 Eiphasen															
nach 155 Eiphasen															
nach 156 Eiphasen															
nach 157 Eiphasen															
nach 158 Eiphasen															
nach 159 Eiphasen															
nach 160 Eiphasen															
nach 161 Eiphasen															
nach 162 Eiphasen															
nach 163 Eiphasen															
nach 164 Eiphasen															
nach 165 Eiphasen															
nach 166 Eiphasen															
nach 167 Eiphasen															
nach 168 Eiphasen															
nach 169 Eiphasen															
nach 170 Eiphasen															
nach 171 Eiphasen															
nach 172 Eiphasen															
nach 173 Eiphasen															
nach 174 Eiphasen															
nach 175 Eiphasen															
nach 176 Eiphasen															
nach 177 Eiphasen															
nach 178 Eiphasen															
nach 179 Eiphasen															
nach 180 Eiphasen															
nach 181 Eiphasen															
nach 182 Eiphasen															
nach 183 Eiphasen															
nach 184 Eiphasen															
nach 185 Eiphasen															
nach 186 Eiphasen															
nach 187 Eiphasen															
nach 188 Eiphasen															
nach 189 Eiphasen															
nach 190 Eiphasen															
nach 191 Eiphasen															
nach 192 Eiphasen															
nach 193 Eiphasen															
nach 194 Eiphasen															
nach 195 Eiphasen															
nach 196 Eiphasen															
nach 197 Eiphasen															
nach 198 Eiphasen															
nach 199 Eiphasen															
nach 200 Eiphasen															

SÜDLICHE WESTSEITE																
B01/566	344,93	172,5	Mittelarchitrav	halbe Länge						344,9	Mittelarchitrav					
B01/543		333,3								333,3						
B02/804+859		337,9								337,9						
B01/539+540		336,3	Eckarchitrav							336,3						
		1.180,0	halbe Seitenlänge auf Architravhöhe							335,8	Mittelwert Standardarchitrav süd. W-Seite					
		2.359,9	ganze rek. W-Seitenlänge auf Architravhöhe							9,1	Differenz zu Mittelarchitrav = 1 Eimotiv					

Rekonstr. Seitenlänge auf Stylobatniveau			
6	337,2	2.023,2	Mitteljoch Standardjoch
rek. Seite auf Arch.niveau	2364,9		4,8 Differenz
rek. W-Seite auf Arch.-niveau	2359,9		2,4 Neigung nach innen/Seite
			9,7 Differenz
			4,9 Neigung nach innen/Seite

Säulenachsmaß von Seite zu gegenüberl. Seite:

Berechnung über Mittelwerte auf Architravniveau	
346,5	
347,3	
347,1	
6	336,4
346,5	2364,9

Tab. 10: Die Gesimsblöcke der Peristasis

Steinr.		Lage 00	Zahnschnitt	Höhe	Länge	Kassettenblockauflager				Löwenkopf		Lagerfl.	lesb. Kyma			
aktuell	TH	bzw.FO	Aufteilung			Typ	h	b	l	Abst.re	Abst.li	Tiefe	Anz.	bez.Br.	Motivbr.	
B00/	104		SO2	L / 6 /	65,5	108,0	VOLL			50,0	58,0	85,5				
B02/	599	204	ANO	/ 7 /	64,0	112,0	VOLL			61,0	51,0	89,0				
B02/	624		S/SW	L / 6 /	64,5	110,5	VOLL			57,0	53,5					
B02/	623		S/SW	L / 6 /	64,5	110,5	VOLL			55,0	55,5	82,0				
B02/	607		N	L / 6 /	64,2	109,1	VOLL	9,0	47,0	unmessb.		81,0	9,0	99,1	11,0	
B03/	1467		NW	L / 6 / L		119,6	VOLL					94,5				
B03/	1594		NW	6	64,0	108,5	VOLL									
B04/	1621		NW	L / 6 /	64,0	112,0	VOLL					98,5				
B02/	603		nl.NWeck	/ 6 / L	64,0	111,4	DL/Stuf.	-22,5		55,5	55,9	83	10,0	111,4	11,1	
B02/	601		NO1	L / 6 /	65,0	111,0	DL/Stuf.	-25,5	26,0	58,0	BR	89,0				
B02/	594		W/SW	6	65,0	104,3	DL/Schr.	-28,5	29-37	104,3	53,5	50,8	85,0			
B01/	369	67	ANO	/ 6 / L	63,5	112,5	DL		112,5	56,0	56,5	BR				
B01/	370		ANO	L / 6 /	65,0	111,5	DL		111,5	BR	BR					
B02/	602		N	L / 6 /	65,5	110,5	DL	-26,0	30,0	110,5	55,0	55,5				
B01/	268		südl. O	L / 6 /	65,0	112,0	DL	-29,0	28,0	112,0	54,5	57,5	88,0			
B01/	349		S Mitte	L / 6 / L	65,2	119,0	DL	-25,5	17-22	119,0	58,5	60,5				
B02/	612		N	/ 6 / L	64,6	112,0	DL	-27,5	25,0	112,0	55,5	56,5	82,0			
B02/	611		N	/ 6 / L	63,5	113,1	DL	-24,0	26,0	113,1	54,5	54,0	unmessb.	9,0	101,9	11,3
B02/	620		W	L / 6 /	64,2	112,7	DL	-27,0	29,0	112,7	52,5	57,7				
B02/	625		S wl.Mitte	L / 6 /	65,0	111,0	DL	-25,0	32,0	111,0	55,0	56,0	84,5			
B02/	980		W	L / 5 / L	63,3	100,0	DL	BR		100,0	BR	BR				
B02/	621+1570		W/SW	L / 6 / L	-	119,3	DL	-28,0	-	63,5BR	59,0	60,3	84,0			
B01/	338		S Mitte	/ 6 /	(61,8)	106,0	DL	-24,0	27,0	106,0	53,0	53,0				
B02/	961		W	/ 6 /	64,7	99,0	DL	-27,0	BR	BR	BR	BR				
B02/	963		W	L / 6 / L	64,6	120,6	DL			120,6	60,6	60,0	11,0	120,6	11,0	
B07/	AG02		Dep	L / 6 / L	64,6	121,0	DL	-26,0	25,5	121,0	59,1	62,0	89,0			
B00/	100		SO2	L / 6 / L	65,5	119,0	L	-26,5	-	59,5	65,5	53,5	85,5			
B00/	103		SO2	/ 6 /	64,5	110,5	L	-23,5	13,5	48,0	55,0	55,5	78,5	10,0	110,5	11,1
B00/	105		SO2	/ 6 / L	64,5	110,5	L	-25,0		55,5	60,0	50,5	87	10,5	110,5	10,5
B02/	596		SO2	L / 6 /	64,5	114,0	L	-30,0	20,0	56,0	55,0	54,0	88,0			
B01/	365	10	O/NO	/ 6 /	63,2	107,7	L	-24,5	28,5	34,5	50,0	57,7	93,0	9,0	107,7	12,0
B02/	604		W	/ 7 /	64,0	121,5	L	-22,0	28,0	63,0	59,0	54,0	80,5	9,0	98,6	11,0
B02/	613		N	/ 6 / L	64,3	112,6	L	-27,5	24,0	57,0	53,5	59,1	84,5			
B02/	629	276	W	L / 6 / L	64,8	121,0	L	-27,5	32,0	63,0	59,0	62,0	84,0			
B02/	610		N	/ 6 / L	64,0	112,4	L	-23,0	20,0	55,0	57,0	54,0	75,0			
B02/	608		N	L / 6 /	64,5	112,5	L	-22,0	33,0	61,0	56,0	54,0	79,0	10,0	112,5	11,3
B02/	609		N	/ 6 / L	65,0	116,0	L	-27,0	28,0	56,0	58,5	54,0	77,0	7,0	80,5	11,5
B02/	626+687		S wl.Mitte	L / 6 /	65,0	112,0	L	-24,0	24,0	55,0	56,0	56,0				
B02/	1219		O nl.Mitte	/ 6 / L	63,0	110,4	L	-27,0	6,5	41,5	55,4	55	85,0			
B02/	600		NO1	L / 6 /	64,5	108,5	L	-24,0	24,0	unmessb.	54,5	54,0	82,0			
B02/	1246		W	/ 6 / L	verd.	115,3	L									
B07/	AG01	6	nördl. O	/ 6 / L	63,7	113,5	L	-24,4	25,0	33,2(40,8)	57,3	55,7	90,5(93)			
B07/	AG03		Dep	L / 6 /	64,5	112,1	L	-26,2	35,0	59,8	56,0	56,1	94,5			
B00/	101		SO2	/ 6 / L	65,5	111,0	R	-27,0	15,0	73,0	55,5	55,5	85			
B00/	102		SO2	L / 6 /	65,0	108,0	R	-26,0	20,0	53,0	54,5	53,5	80	9,0	108,0	12,0
B00/	106		SO2	/ 6 /	65,0	105,0	R	-26,0	13,0	55,6	53,0	52,0	76	8,75	105,0	
B01/	366	203	O	/ 6 / L	64,5	113,0	R	-24,0	17,0	64,5	57,0	56,0	88	10,0	113,0	11,3
B01/	367		ANO	L / 6 /	64,5	111,5	R	-24,5	25,0	44,0	56,5	55,0	88			
B01/	368	12	nördl. O	/ 6 / L	64,0	114,5	R	-26,5	24,0	65,0	59,0	55,5	92,5			
B01/	371	36	O Mitte	L / 6 /	65,0	111,0	R	-26,0	BR	49,0	55,0	56,0	BR			
B02/	597		SO2	L / 6 /	65,5	111,0	R	-26,0	32,0	55,5	BR		91,0			
B02/	598=364	202	O	L / 6 /	64,5	115,0	R	-27,0	17,0	58,5	58,5	56,5	85,0			
B02/	605		N	L / 6 /	64,5	112,5	R	-21,5	30,0	50,0	56,0	56,5	82,0			
B02/	615		N	/ 6 / L	64,8	111,0	R	-26,5	30,0	53,0	56,5	54,5	75,0			
B02/	614		N	/ 6 / L	65,4	112,3	R	-27,5	26,5	46,8	56,0	56,3	82,0			
B02/	628		W	/ 6 / L	65,3	111,6	R	-27,5	27,5	60,5	54,5	57,1	88,0			
B02/	627		W	/ 6 /	65,1	100,3	R	-28,0	21-24,5	40,0	50,5	49,8	78,5			
B02/	616		NW	/ 6 / L	63,6	106,0	R	-22,0	30,5	54,0	50,5	55,5	85,5			
B02/	618		W	/ 6 / L	64,7	117,0	R	-27,0	23,0	76,0	55,0	62,0	85,5			
B02/	617		W	7	64,0	119,6	R	-26,5	24,0	56,0	unmessb.		81,0			
B02/	606		N	L / 6 /	64,7	110,5	R	-27,0	26,0	44,0	55,0	54,0	78,0			
B00/	107+1380		SO2/OSO	L / 6 / L	65,6	120,5	R	-27,5	20,0	48,5	64,0	56,5	vollst.Br.			
B02/	619		W	L / 6 /	-	112,0	R	-26,5	27,0	48,0	54,5	57,7				
B02/	622	288	SW	L / 10 / GL	64,5	W181,2	ECKE	-26,5	18,0	60,0	61,5-110		66,0			
B00/	108	206	SO	10 / GL	64,5	S173,0	ECKE	-30,0	19,0	55,0	41,5	60,0	56,0			
Mittelwert					64,6	112,1		25,9			55,8	55,8	83,4			11,2

VII. ANHANG

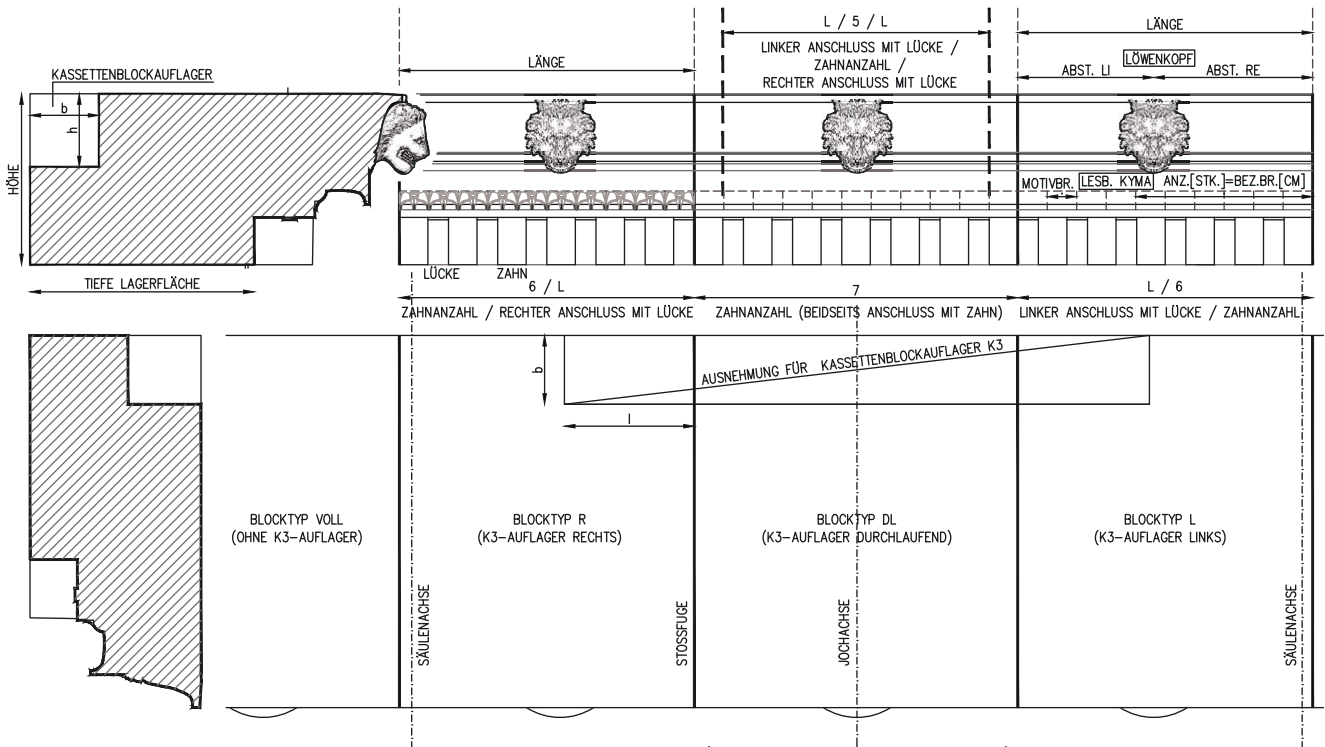


Abb. 111: Skizze zu Tabelle 10: Gesimsblöcke der Peristasis

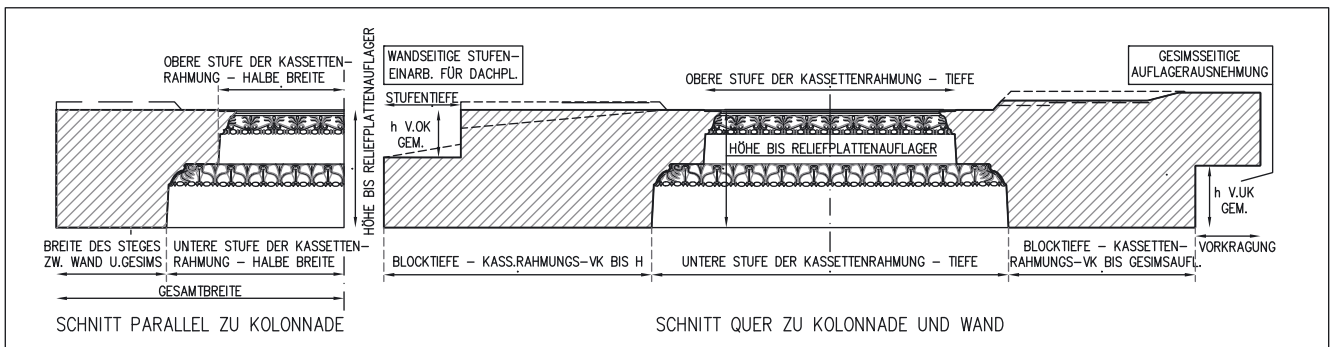


Abb. 112: Skizze zu Tabelle 11: Die obere Blockschicht der Kassettenrahmungen K3

Tab. 11: Die obere Blockschicht der Kassettenrahmenungen K3

Blocktyp / Steinnummer	Lage FO, Zu- ordnung Relief- platten- aufkl. (Lagerung)	Höhe bis Relief- platten- aufkl.		Breite gesamt Steg zw. Wand u. Gesims	Stufe der Kassettenrahmung ganze Tiefe		Blocktiefe von Kass- rahmungs-VK		wandseitige Stufenanarb.f. Dachpl. h v.OK gem.	Stufen- tiefe gem.	Stufen- tiefe gem.	h v.OK gem.	Stufen- tiefe gem.	h v.UK gem.	Vor- kragung
		untere	obere		untere	obere	bis H	bis Ge- simsaufkl.							
Ganze Blöcke															
B02/ 720+724	(N)	44,9	116,0	47,0	69,0	48,9	137,1	97,2	99,0	63,0	12 u.17	28,0	27,4	23,7	23,7
B02/ 719+725	(NO/N)	45,3	116,2	49,5	66,7	47,3	135,0	94,0	99,0	68,0	11,0	22,0	23,8	30,0	30,0
B02/ 712+817	(N)	43,0	107,0	41,0	66,8	BR	132,5	92,5	99,0	BR	15,0	33,0	BR	BR	BR
B02/ 711+715+718	(NO)	44,5	107,0	41,0	66,5	46,7	134,5	94,0	71 BR	66,0	BR	BR	24,0	34,0	BR
B02/ 592+593	S Mitte(SO2)	44,4	124,1	57,1	67,0	47,0	134,0	91,7	95,9	63,9	15,0	18,8	27,6	32,0	BR
B00/ 95+ B01/348+ B02/1233	S Mitte (SO2)	44,8	90,5	32,0	k.M.w. 57,7	k.M.w. 37,7	134,2	94,5	113,5	79,0	--	35,0	27,0	21,0	BR
Mauerseitige Bruchstücke															
B00/ 3	O/SO (SO2)	45,5	115,0	49,5	65,5	46,0	BR	BR	99,5	BR	14,0	30,0	BR	BR	BR
B00/ 94	(SO2)	45,0	123,0	48,5	k.M.w. 74,5	54,5	BR	BR	96,0	BR	13,0	29,0	BR	BR	BR
B00/ 93	(SO2)	42,5	110,0	43,5	66,5	46,4	BR	BR	97,0	BR	13,0	26,5	BR	BR	BR
B02/ 726	(N)	45,0	105,7	38,0	67,7	47,3	BR	BR	98,5	BR	12,0	28,5	BR	BR	BR
B02/ 727	(N)	44,3	107,5	38,0	69,5	49,2	BR	BR	110,0	BR	10,0	31,5	BR	BR	BR
B02/ 714	(NO)	44,7	101,5	38,0	67,0	46,6	BR	BR	BR	BR	--	BR	BR	BR	BR
B02/ 1314	N ol(NO)	43,8	106,0	39,3	66,7	46,7	BR	BR	109,0	BR	13,0	39,0	BR	BR	BR
B02/ 729	(NO)	44,0	107,5	40,8	66,7	47,2	BR	BR	BR	BR	12,0	BR	BR	BR	BR
B01/ 179	nl.O Mit(SO2)	43,8	106,0	38,3	67,7	47,7	BR	BR	97,0	BR	10,5	18,0	BR	BR	BR
B02/ 1015	(W)	42,7	99,0	32,7	66,3	47,0	BR	BR	100,7	BR	6-9,	30,5	BR	BR	BR
B02/ 994	(W)	44,0	107,0	40,3	66,7	47,0	BR	BR	107,0	BR	9,5 u.11,5	27,5	BR	BR	BR
B02/ 965	(W)	44,7	109,0	40,3	68,7	48,7	BR	BR	97,0	BR	5-9,	30,0	BR	BR	BR
Gesimsseitige Bruchstücke															
B00/ 24	O (SO2)	106,0	39,0	67,0	44,0	BR	BR	BR	BR	77,0	BR	BR	24,5	25,0	BR
B00/ 97	(SO2)	46,8	106,0	39,7	66,3	47,0	BR	BR	BR	74,0	BR	BR	25,5	25,5	BR
B00/ 98	(SO2)	45,0	122,5	50,0	k.M.w. 73,8	54,5	BR	BR	BR	60,8	BR	BR	26,5	34,0	BR
B00/ 96	(SO2)	44,3	105,0	38,2	66,8	59,4	BR	BR	BR	83,0	BR	BR	24,5	15,5	BR
B02/ 723	(NO)	44,3	102,8	36,5	66,3	46,3	BR	BR	BR	73,0	BR	BR	24,5	24,5	BR
B02/ 716	(NO)	44,7	107,0	39,3	67,7	47,6	BR	BR	BR	62,0	BR	BR	26,0	16,0	BR
B02/ 1038	(W)	44,3	103,0	36,5	66,5	46,4	BR	BR	BR	68,5	BR	BR	23,5	16,0	BR
B02/ 679	(W)	44,6	102,5	35,3	67,2	47,8	BR	BR	BR	71,0	BR	BR	22,5	30,0	BR
B02/ 999	(W)	44,7	116,0	50,0	66,0	-	BR	BR	BR	74,0	BR	BR	22,0	23,0	BR
B02/ 664	(W)	45,4	107,5	38,1	69,4	49,1	BR	BR	BR	62,0	BR	BR	13,5	-	BR
B02/ 930	(NW)	44,5	117,0	51,5	65,5	46,4	BR	BR	BR	69,5	BR	BR	23,0	-	BR
B02/ 722	N	--	108,0	42,3	65,7	46,6	BR	BR	BR	63,0	BR	BR	23,5	31,2	BR
B02/ 256	(NO2)	--	103,0	35,0	68,0	-	BR	BR	BR	BR	BR	BR	20,0	-	BR
Bruchstücke der Eckjochs															
B02/ 717	N	44,0	105,0	39,0	68,0	48,2	BR	BR	k.Mw.76,4	BR	voll	voll	BR	BR	BR
B01/ 211	nl.O Mit(NO2)	45,1	108,5	41,0	67,5	48,0	BR	BR	k.Mw.90,0	BR	voll	voll	BR	BR	BR
B02/ 1306	NO(ANO)	--	115,5	50,0	65,5	45,7	BR	BR	k.Mw.94,0	BR	voll	voll	BR	BR	BR
B02/ 987	(NW)	--	107	39	68,0	48,5	BR	BR	k.Mw.71,1	BR	voll	voll	BR	BR	BR
Mittelwerte		44,5	108,6	41,6	67,1	47,6	134,6	94,0	101,2	69,3	12,6	28,5	23,9	26,1	
Kassettenrahmenungen		Verdoppelte halbe Breiten		134,2		95,2		134,4		94,6					
														k.M.w.= keine Berücksichtigung bei Mittelwertber.	

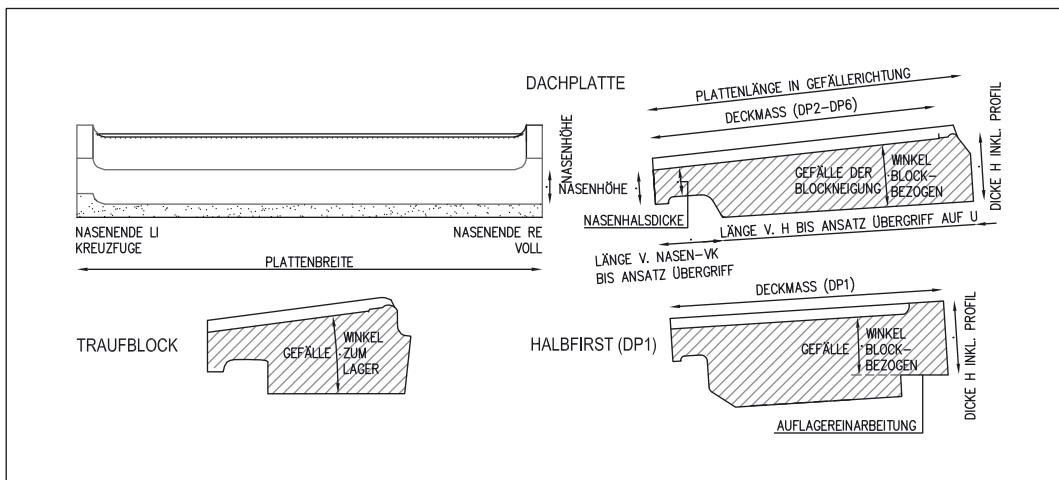


Abb. 113: Skizze zu Tabelle 12: Dachplatten über der Peristasis

Tab. 12: Die Dachplatten über der Peristasis

Blocktyp / Steinnummer	Lage FO, Zuordn. (Lagerung)	Plattenbreiten		Längen		Deckmaß	Nasenhöhe		Nasenhalsdicke	Dicke H inkl. Profil	Gefälle		Anmerkungen	
		Typ 180	Typ 160	Typ 100	Platten in v.H bis Ansatz Gefällr. Übergriff auf U		Nasen VK-Ans. Übergriff	Typ 12			Typ 9	Typ 15		Winkel zum Lager
DP1 Ichenplatten														
B02/ 910 W-Seite	SW (N)	BR	BR	BR	BR	BR	BR	BR	BR	BR	BR	BR	BR	W-Seite
B02/ 910 S-Seite		BR	BR	BR	BR	BR	BR	BR	BR	BR	BR	BR	BR	S-Seite
B02/ 818+986+1267+ B03/1584+TH416	NW (N)	--	--	120 lch.	123,0	86,0	37,0	BR	BR	BR	BR	BR	BR	N-Seite
		--	--	123 lch.	120,0	84,0	36,0	BR	BR	BR	BR	BR	BR	W-Seite
DP1 - Oberste Platten														
B01/ 169+ B02/630	nI.O (AONO)	--	162,7	--	96 BR	82,0	BR	BR	BR	BR	BR	BR	BR	Auflagerstreifen
B01/ 195+ B02/1364	O nI.Mi (NO2)	176,9	--	--	101,9	83,0	19,0	101,9	12,2	10,3	BR	BR	BR	Auflagerstreifen, beidseitig Du
B02/ 595	sl W (W)	--	161,0	--	ca. 87 BR	82,5	BR	BR	BR	BR	BR	BR	BR	3,47
B02/ 816+834+835	(N)	--	167,5	--	88,5 BR	80,0	BR	BR	BR	BR	BR	BR	BR	3,19
B02/ 829+823	(N)	181,0	--	--	83,5 BR	89,5	BR	BR	BR	BR	BR	BR	BR	Blockneigung
B02/ 830+831+848	(N)	180,0	--	--	91 BR	79,0	BR	BR	BR	BR	BR	BR	BR	Blockneigung
B02/ 836 A+B+ B03/1463	(N/NW)	BR	--	--	103,9	83,7	20,2	103,9	12,3	--	BR	BR	BR	--
B02/ 845	(N)	181,0	--	--	96 BR	79,0	BR	BR	BR	BR	BR	BR	BR	5,91
B02/ 905+927	(NW1)	--	162,3	--	92 BR	77,0	BR	BR	BR	BR	BR	BR	BR	Neigung Auflagereinarb.
B02/ 913	(N)	--	103,0	103,0	93,5 BR	84,0	BR	BR	BR	BR	BR	BR	BR	Auflagerstreifen U, re unter Nase u. vor Randprofil 24cm Einarb, f.ca. 9cm Höhenversatz
B02/ 917	(NW)	BR	--	--	93,5 BR	--	BR	BR	BR	BR	BR	BR	BR	1,71
B02/ 921 A+B	(NW)	--	165,7	--	95,5 BR	77,5	BR	79 BR	BR	BR	BR	BR	BR	0,68
B02/ 925 A+B	W (NW)	182,5	--	--	98 BR	84,0	BR	98 BR	BR	BR	BR	BR	BR	3,32
B02/ 925 A+B					93,5 o, 96,5 u	ca. 80	16,5	ca.96,5	12,3	--	BR	BR	BR	7,50
B02/ 1007	(W)	--	108,3	108,3	ca. 80	ca. 80	16,5	ca.96,5	12,3	--	BR	BR	BR	2,56
B02/ 1007 Nasenneigung											re voll, li	BR	BR	Neigung Auflagereinarb.
B02/ 1360+1361	(NO2)	--	152,8	--	91 BR	85,0	BR	BR	BR	BR	BR	BR	BR	Neigung Auflagereinarb, Geringere Blocktiefe
B02/ 1423	(AONO)	--	--	108,0	104,0	88,0	16,0	104,0	12,0	9,5	BR	BR	BR	Neigung Nase
B02/ 632+847	O/OSO	176,0	--	--	ca. 90 BR	86,0	BR	BR	BR	BR	BR	BR	BR	Buckel auf Mitte U, daher keine Lagerfl. In der Mitte noch vollst. erhalten lt. Sk. Präschnicker 25.10.33
B02/ 1435	(NO2)	BR	--	--	104,0	78,0	25,2	104,0	11,2 BR	10,2	BR	BR	BR	Neigung Auflagereinarb., Vierung
B02/ 1435											li Kreuzf., re BR	BR	BR	Neigung Auflagereinarb.
B03/ 1554	Sond.08 (NW1)	--	--	107,0	91 BR	77,0	BR	BR	BR	BR	BR	BR	BR	Blockneigung, Auflagerstreifen Nasenneigung
B03/ 1607	S Mi Sond. (SSO1)	--	160,2	--	103,0	78,0	25,0	103,0	12,0	31,1	Kreuzf.			1,47
B03/ 1608 A+B	S(SSO1)	177,1	--	--	99,5 BR	84,0	BR	BR	BR	BR	BR	BR	BR	Blockneigung
TH 113		108 BR	--	--	102,5	85,0	--	102,5	12,0	10,0	BR	BR	BR	Nasenneigung
Mittelwerte DP1					103,1	82,2	20,6	103,1	12,1	10,2				Längen exkl. B02/1007

Tab. 12B Blocktyp / Steinnummer	Lage FO ₃ Zuordn. (Lage- rung)	Plattenbreiten		Platten in Gefällen	Längen v/H bis Ansatz Übergreif auf U	Nasen VK-Ans. Übergreif	Deck- maß	Nasenhöhe			Nasen- ende re/li	Nasen- hals- dicke	Dicke H inkl. Profil	Gefälle		Anmerkungen
		Typ 180	Typ 160					Typ 100	Typ 12	Typ 9				Typ 15	Winkel zum Lager	
DP2 - oder 3																
B02/ 922	(NW)	BR	---	---	122,0	95,0	108,0	9,8br	---	---	verm. Kreuzf.	8,2	25,6	2,64		
B02/ 923	(NW)	BR	---	---	97 BR	91,0	BR	BR	---	---	BR	16 BR	32,5	3,49		
B02/ 967	(W)	---	158,0	---	90 ver- deckt	90,0	verdeckt	verdeckt	---	---	verdeckt	verdeckt	26,0	---		
B02/ 1420	(AONO)	BR	---	---	105 BR	98,0	BR	BR	---	---	BR	9 BR	27,9	5,27		
B02/ 1379		---	---	---	113 BR	98,0	BR	BR	---	---	BR	7,0	30,0	0,00		
B03/ 1543+1545	Sond.08	---	158,1	---												
DP3 - hinter Reliefplatte																
B02/ 824	(N)	119 BR	---	---	108 BR	90,3	BR	BR	BR	---	BR	BR	24,0	1,57		Reliefpl.-Abschrägung mit 12-13cm vollem Rand
B02/ 844+982	(N)	---	167,3	---	111 BR	96,0	BR	98,5 BR	BR	---	BR	7,0	27,0	4,55		Reliefpl.-Abschrägung mit Randbuckel
B02/ 1421	(AONO)	BR	---	---	BR	BR	BR	BR	BR	---	BR	BR	27,5	5,00		Reliefpl.-Abschrägung mit 18cm vollem Rand
TH 121		46 BR	---	---	93 BR	BR	BR	BR	BR	---	BR	BR	28,0	4,02		Reliefpl.-Abschrägung mit 20cm vollem Rand
TH 121a		54 BR	---	---	58 BR	BR	BR	BR	BR	---	BR	BR	---	---		Reliefpl.-Abschrägung mit 19cm vollem Rand
DP3 - Ichsenanschlußblock																
B02/ 1273	(NW)	---	---	77,580	75 BR	75 BR	BR	BR	BR	---	BR	BR	29,5	---		Ichsenanschlußblock
Mittelwerte DP2 u.3					122,0	94,0	25,0	108,0				7,4	27,8			
DP4																
D 1213+1215	(Hof)	122,5 BR	---	---	80 BR	69,5	BR	BR	BR	---	BR	9 BR	23,5	1,61		2 Du über Eck, Lagerfl.
TH 186		---	---	13480	89 BR	70,0	BR	BR	BR	---	BR	BR	25,5	4,03		
TH 187		120 BR	---	---	89,0	68,0	21,0	76,0	BR	---	BR	BR	25,5	---		
Mittelwerte DP4					89,0	69,2	21,0	76,0					24,8			
DP5 - W-, S-, O-Seite																
D 1263	(Hof)	126 BR	---	---	75,0	50,2	24,3	59,5	---	---	li voll reBR	11,2	32,5	6,04		
D 1304	(Hof)	51,5 BR	---	---	76,6	53,5	23,0	59,6	---	---	BR	11,3	33,0	5,60		li Du, H Auflagerhöhe ca. 23,5
D 1237A+B+C	NW(Hof)	---	---	104,7	77,0	53,3	23,0	59,2	---	---	li voll, re Anschnitt	10,7	34,4	5,45		li Du, NasenUK schräg angeschn.
TH 112		105 BR	---	---	78,0	55,0	23,0	61,5	---	---	li ure BR	11,0	32,0	4,61		Neigung Nasenanschnitt
TH 116		153 BR	---	---	81,5	---	---	61,5	---	---	li ure BR	11,7	32,0	7,21		H Auflagerhöhe 27
TH 181		45 BR	---	---	79,0	56,0	23,0	60,0	---	---	li ure BR	---	---	---		H Auflagerhöhe ca.23
Mittelwerte DP5 W-, S-, O-Seite					77,9	53,6	23,3	60,2			li ure BR	11,2	32,8			H Auflagerhöhe 27
DP5 - Nordseite																
B02/ 926	(NW)	---	---	---	100,5	73,5	27,0	BR	---	---	---	8,5	BR	5,49		Nasenneigung, starke BR - DPI o,5 (Nasenhöhe)
DP6 - Nordseite																
D 1207 .= TH193	(Hof)	75 BR	---	---	71 BR	63,0	BR	62 BR	---	---	BR	li ure BR	10,5	26,0	6,16	noch vollst. erhalten li. Sk. Praschniker 25.10.33
D 1214 .= TH153	(Hof)	89,4 BR	---	---	90 BR	67,0	BR	BR	---	---	BR	li ure BR	10,2	25,5	4,71	li Du, Lagerfl. noch vollst. erhalten li. Sk. Praschniker 25.10.33
TH 305	W Mi	103 BR	---	---	74 BR	66,0	BR	BR	---	---	BR	BR	BR	---		li. Skizze Praschniker 17.9.35
TH 183		116 BR	---	---	56 BR	BR	BR	BR	---	---	re voll liBR	7,5	BR	---		li. Skizze Praschniker
Mittelwerte DP6					92,0	65,3	27,7	77,5				9,4	25,8			

Tab. 12C Blocktyp / Steinnummer	Lage FO, Zuordn. (Lage- rung)	Plattenbreiten			Deck- maß	Nasenhöhe			Nasen- ende re/li	Nasen- hals- dicke	Dicke H inkl. Profil	Gefälle		Anmerkungen		
		Typ 180	Typ 160	Typ 100		Platten in Gefällern	Längen v.H bis Ansatz Übergriff auf U	Nasen VK-Ans. Übergriff				Typ 12	Typ 9		Typ 15	Winkel zum Lager
Nasenfragmente DP 2-4																
B01/ 465								12,0	---	re Kreuzf., li BR	9,1			Fragment Nasenecke		
B02/ 909								12,0	---		---			Fragment Nasenecke		
B02/ 1390	(N)							12,5	---	li Kreuzf., re BR	9,6		5,00	Fragment Nasenecke		
B02/ 1394	N Mi(N)							11,8	---		10,4		3,50	Fragment Nasenecke		
B02/ 1401								11,2	---		10,3		4,00	Fragment Nasenecke		
B02/ 1403								12,2	---		9,2			Fragment Nasenecke		
B03/ 1577	W Mi							12,6	---		---			Fragment Nase		
B03/ 1602	Sond.07							12,2	---		10,2			Fragment Nase		
B03/ 1603	Sond.07							12,2	---		9,4			Fragment Nase		
TH 105								12,5	---	li Kreuzf., re BR	8,3			Fragment Nasenecke lt. Sk. Prasniker 26.9.33		
											Mittelwert					
											9,6					

Nasenfragmente DP 5-6																
B02/ 1353	N Mi(N)							---	---	15,3	10,3		2,00	Fragment Nasenecke, Oberlager im Überlapp.		
B02/ 1354	(N Mi)							---	---	14,2	9,9		6,00	Fragment Nasenecke		
B02/ 1391	N Mi(N)							---	---	14,8	9,8		5,5 ?	Fragment Nasenecke		
B02/ 1393	N Mi(N)							---	---	14,7 BR	9,8		6,00	Fragment Nasenecke		
B02/ 1404								---	---	15,0	9,9			Fragment Nase		
B02/ 1405								---	---	14,7	10,1		6,00	Fragment Nasenecke		
B03/ 1576	W Mi							---	---	15,7	---			Fragment Nase		
B03/ 1600	Sond.07							---	---	14,0	11,0			Nase		
B03/ 1605								---	---	14,3	10,3			Nase		
											Mittelwert					
											10,1					

Nasenfragmente DP 5-Nord																
B02/ 1356	(N Mi)							---	---	8,3	6,0		6,00	Fragment Nasenecke		
B02/ 1392	N Mi(N)							---	---	9,1	7,2		6,50	Fragment Nasenecke		
B03/ 1578	W Mi							ca.	8,5	---	---			Fragment Nase, 7 BR, parallel Hochzug li 8,5		
B03/ 1591	Sond.07							---	8,8	---	6,0			Fragment Nase		
D 1245	(Hof)							---	8,9	---	7,0			Fragment Nase		
B03/ 1604	Sond.07							---	8,8	---	7,0			Fragment Nase		
TH 119								---	8,0	---	---			Fragment Nasenecke lt. Sk. Prasniker 1.10.33		
											Mittelwert					
											6,6					

Mittelwerte	Plattenbreiten			Nasenhöhen			Gefälle
	179,2	161,6	106,2	12,1	8,9	14,7	
Jochbreite	340,8						5,3

VII. ANHANG

Tab. 13: Modulmaße

Bauteil	Maße		Embater zu 5,656 cm			Grundrissmodul zu 74,235 cm, 2 1/2 Fuß à 29,694 cm			
	Naturm. gemittelt	rekonstruiert	Idealmaß	Modulm. genau	Modulm. Ideal	Idealmaß	Modulm. genau	Modulm. Ideal	
zugeordneter Wert				5,656	5,656		74,235	74,235	
Sockelgeschoß									
Seitenlänge Euthynterie VK	2983,8		2986,37	527,546	528	2984,247	40,19398	40 1/5	40,200
Seitenlänge 1.Krepisstufe VK	2969,4		2969,40	525	525	2969,4	40	40	40,000
Seitenlänge 1.Krepisstufe Unterscheidung	2964,2		2963,74	524,0806	524	2961,977	39,92995	39 9/10	39,900
Sockelwand an VK Anlaufprofil		2685,8	2686,60	474,8586	475	2687,307	36,1797	36 1/5	36,200
Sockelwand über dem Anlaufprofil		2674,4	2675,29	472,843	473	2672,46	36,02613	36	36,000
„Sockelteilmodul“	16,968		16,97	3	3	18,55875	0,228571	1/4	0,250
Achsmaß Triglyphen	113,1		113,12	19,99646	20	111,3525	1,52354	1 1/2	1,500
Triglyphenbreite	44,5		45,25	7,867751	8	44,541	0,599448	3/5	0,600
Metopenbreite	68,65		67,87	12,13755	12	66,8115	0,924766	9/10	0,900
Obergeschoß									
Abstand Säulenachse VK 1.Krepisstufe		297,5	299,77	52,59901	53	296,94	4,007544	4	4,000
Abstand Säulenachse Wand (UK Kassettend.)		297,6	299,77	52,61669	53	296,94	4,008891	4	4,000
Hofwandseitenlänge außen über Anlaufprofil		1763,8	1764,67	311,8458	312	1763,081	23,75968	23 3/4	23,750
Hofwandseitenlänge außen VK Anlaufprofil		1772,8	1770,33	313,4371	313	1772,361	23,88092	23 7/8	23,875
Hofwandseitenlänge außen VK verlorener Wandssockel		1781,6	1781,64	314,9929	315	1781,64	23,99946	24	24,000
Hoflänge W-O		1463,4	1464,90	258,7341	259	1462,43	19,71307	19 7/10	19,700
Hoflänge N-S		1380,4	1380,06	244,0594	244	1380,771	18,595	18 3/5	18,600
Seitenlänge zu Stylobat-VK		2522,9	2522,58	446,0573	446	2523,99	33,98532	34	34,000
Seitenlänge zu Säulenplinthen-VK		2516,3	2516,92	444,8904	445	2516,567	33,89641	33 9/10	33,900
Kolonnadenachsabstand (Stylobath.)		2369,75	2369,86	418,9798	419	2368,097	31,92227	31 9/10	31,900
Kolonnadenachsabstand (Gebälkh.)		2364,1	2364,21	417,9809	418	2366,241	31,84616	31 7/8	31,875
Kolonnadenachsabstand (ideal 21x Trigl.achsmaß)		2375,1	2375,52	419,9257	420	2375,52	31,99434	32	32,000
Standardjoch (Stylobath.)		337,2	339,36	59,6181	60	334,0575	4,542332	4 5/9	4,500
Mitteljoch (Stylobath.+Gebälkh.)		346,5	345,02	61,26238	61	346,43	4,66761	4 2/3	4,667
Standardjoch (Gebälkh.)		336,4	333,70	59,47666	59	334,0575	4,531555	4 5/9	4,500
Ideales Joch d. Seite (3x Triglyphenachsmaß)		339,30	339,36	59,98939	60	341,481	4,57062	4 3/5	4,600
Unterer Säulendurchmesser	94,1		96,15	16,6372	17	92,79375	1,267596	1 1/4	1,250
Unterer Säulendurchmesser am Anlauf	101,5		101,81	17,94554	18	102,0731	1,36728	1 3/8	1,375
Interkolumnium Standardjoch		243,1	243,21	42,98091	43	241,2638	3,274736	3 1/4	3,250
Interkolumnium Mitteljoch		252,4	254,52	44,62518	45	252,399	3,400013	3 2/5	3,400
Interkolumnium Idealjoch		245,26	243,21	43,3628	43	244,9755	3,303832	3 3/10	3,300
Interkolumnium Standardjoch am Anlauf gem.		235,7	237,55	41,67256	42	237,552	3,175052	3 1/5	3,200
Interkolumnium Mitteljoch am Anlauf gem.		245	243,21	43,31683	43	244,9755	3,30033	3 3/10	3,300
Interkolumnium Idealjoch am Anlauf gem.		237,86	237,55	42,05446	42	237,552	3,204149	3 1/5	3,200
Säulenplinthenbreite		146,6	147,06	25,91938	26	148,47	1,97481	2	2,000
Abstand der Säulenplinthen (Standardj.)		190,6	192,30	33,69873	34	193,011	2,567522	2 3/5	2,600
Abstand der Säulenplinthen (Mittelj.)		199,9	197,96	35,343	35	200,4345	2,6928	2 7/10	2,700
Abstand der Säulenplinthen (Idealj.)		192,70	192,30	34,07001	34	193,011	2,595811	2 3/5	2,600
Achsmaß Anthemienfries	56,6		56,56	10,00707	10	55,67625	0,762444	3/4	0,750
Hofwandstärke	150,2		152,71	26,55587	27	148,47	2,023304	2	2,000

VII. ANHANG

Bauteil	Maße		Embater zu 5,656 cm			Grundrissmodul zu 74,235 cm, 2 1/2 Fuß à 29,694 cm			
	Naturm. gemittelt	rekonstruiert	Idealmaß	Modulm. genau	Modulm. Ideal	Idealmaß	Modulm. genau	Modulm. Ideal	
zugeordneter Wert				5,656	5,656		74,235	74,235	
Höhenmaße									
Krepis Sockelgeschoß	116,7		118,78	20,63296	21	118,776	1,572035	1 3/5	1,600
Wandflächen	681,1		678,72	120,4208	120	682,962	9,174917	9 1/5	9,200
dorisches Gebälk	156,9		158,37	27,74045	28	157,7494	2,113558	2 1/8	2,125
Sockelgeschoßhöhe (Einzelmaßsumme)	954,7		955,86	168,7942	169	955,7756	12,86051	12 7/8	12,875
Sockelgeschoßhöhe (über <i>in situ</i> -Bestand)	956,0		955,86	169,024	169	955,7756	12,87802	12 7/8	12,875
Sockelgeschoßhöhe (über <i>in situ</i> -Bestand) inkl. Euthynt.	983,0		984,14	173,7977	174	983,6138	13,24173	13 1/4	13,250
Stufenunterbau Obergeschoß	112,6		113,12	19,90806	20	111,3525	1,516805	1 1/2	1,500
Säulenbasis	62,3		62,22	11,01485	11	64,95563	0,839227	7/8	0,875
Säulenschaft		751,6	752,25	132,8854	133	751,6294	10,1246	10 1/8	10,125
Säulenkapitell	111,7		113,12	19,74894	20	111,3525	1,504681	1 1/2	1,500
Säulenhöhe		925,6	927,58	163,6492	164	927,9375	12,46851	12 4/9	12,500
Korinthisches Gebälk	169,3		169,68	29,93281	30	170,7405	2,280595	2 3/10	2,300
Dachskulptursockel	35,5		33,94	6,276521	6	37,1175	0,478211	1/2	0,500
Gesamthöhe OG (bis OK Gesims)		1207,4	1204,73	213,4724	213	1206,319	16,26457	16 1/4	16,250
Gesamthöhe OG (bis OK Dachsk. sockel)		1242,9	1244,32	219,7489	220	1243,436	16,74278	16 3/4	16,750
Gesamthöhe Gebäude bis OK Dachsk. sockel		2199,4	2200,18	388,8614	389	2199,212	29,62753	29 5/8	29,625
Gesamthöhe Gebäude bis OK Gesims		2163,9	2166,25	382,5849	383	2162,094	29,14932	29 1/8	29,125
Gesamth. Geb. bis OK Dachsk. sockel inkl. Euthyn.		2226,4	2228,46	393,6351	394	2227,05	29,99124	30	30,000
Grabkammer									
Breite der Grabkammer	342,4		345,02	60,53748	61	341,481	4,61238	4 3/5	4,600
Länge der Grabkammer		425,4	424,20	75,21216	75	426,8513	5,730451	5 5/7	5,750
Länge des Grabkammengewölbes		414,8	412,89	73,33805	73	415,716	5,587661	5 3/5	5,600
Quaderachsmaß der Gewölbefelder gemittelt	102,6		101,81	18,14003	18	103,929	1,382097	1 2/5	1,400
Quaderachsmaß der Gewölbefelder (Mittelfelder)	102,0		101,81	18,03395	18	102,0731	1,374015	1 3/8	1,375
Höhe der Grabkammer bis zum Gewölbeansatz	204,4		203,62	36,13861	36	204,1463	2,753418	2 3/4	2,750
Stichhöhe Gewölbe inkl. Bandtiefe		167,4	169,68	29,59689	30	167,0288	2,255001	2 1/4	2,250
Gesamthöhe der Grabk. inkl. Bandtiefe		371,8	373,30	65,7355	66	371,175	5,008419	5	5,000
Gesamtlänge Vor- und Grabk. inkl. Trennwand	684,1		684,38	120,9512	121	682,962	9,21533	9 1/5	9,200
Vorkammerbreite auf Sockelniveau	204,6		203,62	36,17397	36	204,1463	2,756112	2 3/4	2,750
Vorkammerlänge auf Sockelniveau	339,7		339,36	60,06011	60	341,481	4,576009	4 3/5	4,600
Vorkammerbreite über Sockelniveau		207,8	209,27	36,73975	37	207,858	2,799219	2 4/5	2,800
Vorkammerlänge über Sockelniveau		343,3	345,02	60,69661	61	343,3369	4,624503	4 5/8	4,625
Vorkammerhöhe bis zum Gewölbeansatz		248,5	248,86	43,93564	44	250,5431	3,347478	3 3/8	3,375
Gesamthöhe der Vork. inkl. Bandtiefe		415,9	418,54	73,53253	74	415,716	5,602479	5 3/5	5,600
„Grabkammermodul A“		17,06	16,968	3,016266	3	18,55875	0,229811	1/4	0,250
„Grabkammermodul B“		17,12	16,968	3,026874	3	18,55875	0,230619	1/4	0,250
				Ganzzahlige Teilung		Teilung in 1/10 und 1/8			

Tab. 14: Metrologische Tabelle der Grundrisshauptmaße

Fußwert	Euthynerie VK			Krepis VK 1.Stufe			Sockelwand über dem Anlaufprofil			Stylobat OG			Kolonnadenachsabstand (ideal 21x Trigl.achsmaß)			Kolonnadenachsabstand (auf Stylobath.)			Hofwandseitenlänge außen über Anlaufprofil			Fußwert	
	Dakt.	Fuß	2983,8	Dakt.	Fuß	2969,4	Dakt.	Fuß	2674,4	Dakt.	Fuß	2523,7	Dakt.	Fuß	2375,1	Dakt.	Fuß	2369,75	Dakt.	Fuß	1763,8		
28,0	1704	106,5	28,017	1696	106,0	28,013	1528	95,5	28,004	1440	90,0	28,041				1352	84,5	28,044				28,0	
28,1	1696	106,0	28,149	1688	105,5	28,146	1520	95,0	28,152	1432	89,5	28,198	1352	84,5	28,108								28,1
28,2	1688	105,5	28,282	1680	105,0	28,280							1344	84,0	28,275	1344	84,0	28,211	1000	62,5	28,221	28,2	
28,3							1512	94,5	28,301	1424	89,0	28,356				1336	83,5	28,380				28,3	
28,4	1680	105,0	28,417	1672	104,5	28,415	1504	94,0	28,451				1336	83,5	28,444				992	62,0	28,448	28,4	
28,5	1672	104,5	28,553	1664	104,0	28,552				1416	88,5	28,516				1328	83,0	28,551				28,5	
28,6	1664	104,0	28,690	1656	103,5	28,690	1496	93,5	28,603	1408	88,0	28,678	1328	83,0	28,616				984	61,5	28,680	28,6	
28,7							1488	93,0	28,757				1320	82,5	28,789	1320	82,5	28,724				28,7	
28,8	1656	103,5	28,829	1648	103,0	28,829				1400	87,5	28,842				1312	82,0	28,899				28,8	
28,9	1648	103,0	28,969	1640	102,5	28,970	1480	92,5	28,912				1312	82,0	28,965				976	61,0	28,915	28,9	
29,0							1472	92,0	29,070	1392	87,0	29,008				1304	81,5	29,077				29,0	
29,1	1640	102,5	29,110	1632	102,0	29,112				1384	86,5	29,176	1304	81,5	29,142				968	60,5	29,154	29,1	
29,2	1632	102,0	29,253	1624	101,5	29,255	1464	91,5	29,228							1296	81,0	29,256				29,2	
29,3	1624	101,5	29,397				1456	91,0	29,389	1376	86,0	29,345	1296	81,0	29,322				960	60,0	29,397	29,3	
29,4				1616	101,0	29,400										1288	80,5	29,438				29,4	
29,5	1616	101,0	29,543	1608	100,5	29,546	1448	90,5	29,551	1368	85,5	29,517	1288	80,5	29,504							29,5	
29,6	1608	100,5	29,690	1600	100,0	29,694				1360	85,0	29,691	1280	80,0	29,689	1280	80,0	29,622	952	59,5	29,644	29,6	
29,7							1440	90,0	29,716										950	59 3/8	29,706	29,7	
29,8	1600	100,0	29,838	1592	99,5	29,843	1432	89,5	29,882	1352	84,5	29,866	1272	79,5	29,875	1272	79,5	29,808	944	59,0	29,895	29,8	
29,9	1592	99,5	29,988	1584	99,0	29,994										1264	79,0	29,997				29,9	
30,0							1424	89,0	30,049	1344	84,0	30,044	1264	79,0	30,065							30,0	
30,1	1584	99,0	30,139	1576	98,5	30,146										1256	78,5	30,188	936	58,5	30,150	30,1	
30,2	1576	98,5	30,292				1416	88,5	30,219	1336	83,5	30,224	1256	78,5	30,256							30,2	
30,3				1568	98,0	30,300	1408	88,0	30,391							1248	78,0	30,381				30,3	
30,4	1568	98,0	30,447	1560	97,5	30,455				1328	83,0	30,406	1248	78,0	30,450				928	58,0	30,410	30,4	
30,5							1400	87,5	30,565	1320	82,5	30,590				1240	77,5	30,577				30,5	
30,6	1560	97,5	30,603	1552	97,0	30,612							1240	77,5	30,646				920	57,5	30,675	30,6	
30,7	1552	97,0	30,761	1544	96,5	30,771	1392	87,0	30,740	1312	82,0	30,777				1232	77,0	30,776				30,7	
30,8													1232	77,0	30,845							30,8	
30,9	1544	96,5	30,920	1536	96,0	30,931	1384	86,5	30,918	1304	81,5	30,966				1224	76,5	30,977	912	57,0	30,944	30,9	
31,0	1536	96,0	31,081	1528	95,5	31,093	1376	86,0	31,098				1224	76,5	31,047							31,0	
31,1										1296	81,0	31,157				1216	76,0	31,181				31,1	
31,2	1528	95,5	31,244	1520	95,0	31,257	1368	85,5	31,280				1216	76,0	31,251				904	56,5	31,218	31,2	
31,3										1288	80,5	31,350				1208	75,5	31,387				31,3	
31,4	1520	95,0	31,408	1512	94,5	31,422	1360	85,0	31,464				1208	75,5	31,458				896	56,0	31,496	31,4	
31,5	1512	94,5	31,575	1504	94,0	31,589				1280	80,0	31,546				1200	75,0	31,597				31,5	
31,6							1352	84,5	31,650				1200	75,0	31,668							31,6	
31,7	1504	94,0	31,743	1496	93,5	31,758				1272	79,5	31,745							888	55,5	31,780	31,7	
31,8							1344	84,0	31,838				1192	74,5	31,881	1192	74,5	31,809				31,8	
31,9	1496	93,5	31,912	1488	93,0	31,929				1264	79,0	31,946										31,9	
32,0	1488	93,0	32,084				1336	83,5	32,029				1184	74,0	32,096	1184	74,0	32,024	880	55,0	32,069	32,0	
32,1				1480	92,5	32,102				1256	78,5	32,149										32,1	
32,2	1480	92,5	32,257	1472	92,0	32,276	1328	83,0	32,222							1176	73,5	32,241				32,2	
32,3										1248	78,0	32,355	1176	73,5	32,314				872	54,5	32,363	32,3	
32,4	1472	92,0	32,433	1464	91,5	32,452	1320	82,5	32,417							1168	73,0	32,462				32,4	
32,5										1240	77,5	32,564	1168	73,0	32,536							32,5	
32,6	1464	91,5	32,610	1456	91,0	32,631	1312	82,0	32,615							1160	72,5	32,686	864	54,0	32,663	32,6	
32,7	1456	91,0	32,789							1232	77,0	32,775	1160	72,5	32,760							32,7	
32,8				1448	90,5	32,811	1304	81,5	32,815													32,8	
32,9	1448	90,5	32,970	1440	90,0	32,993				1224	76,5	32,990	1152	72,0	32,988	1152	72,0	32,913	856	53,5	32,968	32,9	
33,0							1296	81,0	33,017													33,0	
33,1	1440	90,0	33,153	1432	89,5	33,178										1144	71,5	33,143				33,1	
33,2							1288	80,5	33,222	1216	76,0	33,207	1144	71,5	33,218				848	53,0	33,279	33,2	
33,3	1432	89,5	33,339	1424	89,0	33,364										1136	71,0	33,377				33,3	
33,4							1280	80,0	33,430	1208	75,5	33,426	1136	71,0	33,452							33,4	
33,5	1424	89,0	33,526	1416	88,5	33,553													840	52,5	33,596	33,5	
33,6							1272	79,5	33,640	1200	75,0	33,649	1128	70,5	33,689	1128	70,5	33,613				33,6	
33,7	1416	88,5	33,715	1408	88,0	33,743																33,7	
33,8							1264	79,0	33,853	1192	74,5	33,875				1120	70,0	33,854				33,8	
33,9	1408	88,0	33,907	1400	87,5	33,936							1120	70,0	33,930				832	52,0	33,919	33,9	
34,0							1256	78,5	34,069							1112	69,5	34,097				34,0	
34,1	1400	87,5	34,101	1392	87,0	34,131				1184	74,0	34,104	1112	69,5	34,174							34,1	
34,2	1392	87,0	34,297				1248	78,0	34,287										824	51,5	34,249	34,2	
34,3				1384	86,5	34,328				1176	73,5	34,336				1104	69,0	34,344				34,3	
34,4	1384	86,5	34,495										1104	69,0	34,422							34,4	
34,5				1376	86,0	34,528	1240	77,5	34,508	1168	73,0	34,571				1096	68,5	34,595	816	51,0	34,584	34,5	
34,6	1376	86,0	34,695										1096	68,5	34,673							34,6	
34,7				1368	85,5	34,730	1232	77,0	34,732													34,7	
34,8	1368	85,5	34,898							1160	72,5	34,810				1088	68,0	34,849				34,8	
34,9				1360	85,0	34,934	1224	76,5	34,959				1088	68,0	34,928				808	50,5	34,927	34,9	
35,0				1352	84,5	35,141				1152	72,0	35,051											

Tab. 15: Metrologische Tabelle der Bauteilmaße

Fußwert	Krepishöhe Sockelgeschoß		Höhe dorisches Gebälk		Triglyphoneinheit		Stufenunterbauhöhe OG		unterer Durchmesser		Achismaß Anthemienfries		korinth. Gebälkhöhe		Dorisches Joch		Korinth. Normaljoch (auf Stylobathöhe)		Mitteljoch OG		Fußwert	
	Dak	116,7	Dak	156,9	Dak	113,1	Dak	112,6	Dak	94,1	Dak	56,6	Dak	169,3	Dak	339,3	Dak	337,2	Dak	346,5		
	1	2	3	4	5	6	7	8	9	10	11	12	13	14	15	16	17	18	19	20		
28,0															194	27,98			198	28,00	28,0	
28,1	66	28,291					64	28,15							193	28,13	192	28,1	197	28,14	28,1	
28,2			89	28,21	64	28,275							96	28,217	192	28,28	191	28,247	196	28,29	28,2	
28,3											32	28,3					190	28,396			28,3	
28,4									53	28,41						191	28,42			195	28,43	28,4
28,5			88	28,53			63	28,597					95	28,514	190	28,57	189	28,546	194	28,58	28,5	
28,6																	188	28,698			28,6	
28,7	65	28,726			63	28,724									189	28,72			193	28,73	28,7	
28,8			87	28,86									94	28,817	188	28,88	187	28,851	192	28,88	28,8	
28,9									52	28,95											28,9	
29,0							62	29,058							187	29,03	186	29,006	191	29,03	29,0	
29,1	64	29,175	86	29,19	62	29,187							93	29,127	186	29,19	185	29,163	190	29,18	29,1	
29,2											31	29,21									29,2	
29,3															185	29,34	184	29,322	189	29,33	29,3	
29,4													92	29,443			183	29,482	188	29,49	29,4	
29,5			85	29,53			61	29,534	51	29,52					184	29,50					29,5	
29,6	63	29,638			61	29,666									183	29,67	182	29,644	187	29,65	29,6	
29,7													91	29,767							29,7	
29,8			84	29,89											182	29,83	181	29,808	186	29,81	29,8	
29,9															181	29,99	180	29,973	185	29,97	29,9	
30,0							60	30,027							90	30,098					30,0	
30,1	62	30,116			60	30,16			50	30,11	30	30,19			180	30,16	179	30,141	184	30,13	30,1	
30,2			83	30,25																	30,2	
30,3															179	30,33	178	30,31	183	30,30	30,3	
30,4													89	30,436			177	30,481	182	30,46	30,4	
30,5							59	30,536							178	30,50					30,5	
30,6	61	30,610	82	30,61	59	30,671									177	30,67	176	30,655	181	30,63	30,6	
30,7									49	30,73					88	30,782					30,7	
30,8															176	30,85	175	30,83	180	30,80	30,8	
30,9			81	30,99															179	30,97	30,9	
31,0							58	31,062							175	31,02	174	31,007			31,0	
31,1	60	31,120											87	31,136			173	31,186	178	31,15	31,1	
31,2					58	31,2					29	31,23			174	31,20					31,2	
31,3			80	31,38					48	31,37					173	31,38	172	31,367	177	31,32	31,3	
31,4													86	31,498							31,4	
31,5															172	31,56	171	31,551	176	31,50	31,5	
31,6	59	31,647					57	31,607											175	31,68	31,6	
31,7			79	31,78	57	31,747									171	31,75	170	31,736			31,7	
31,8													85	31,868					174	31,86	31,8	
31,9															170	31,93	169	31,924			31,9	
32,0									47	32,03									173	32,05	32,0	
32,1	58	32,193	78	32,18			56	32,171							169	32,12	168	32,114			32,1	
32,2													84	32,248					172	32,23	32,2	
32,3					56	32,314					28	32,34			168	32,31	167	32,307			32,3	
32,4																			171	32,42	32,4	
32,5															167	32,51	166	32,501			32,5	
32,6			77	32,6									83	32,636			165	32,698	170	32,61	32,6	
32,7	57	32,758					55	32,756	46	32,73					166	32,70					32,7	
32,8																	164	32,898	169	32,80	32,8	
32,9					55	32,902									165	32,90					32,9	
33,0			76	33,03									82	33,034			163	33,099	168	33,00	33,0	
33,1															164	33,10					33,1	
33,2																			167	33,20	33,2	
33,3	56	33,343					54	33,363							163	33,31	162	33,304			33,3	
33,4			75	33,47					45	33,46			81	33,442					166	33,40	33,4	
33,5					54	33,511					27	33,54			162	33,51	161	33,511			33,5	
33,6																			165	33,60	33,6	
33,7															161	33,72	160	33,72			33,7	
33,8													80	33,860					164	33,80	33,8	
33,9	55	33,949	74	33,92			53	33,992							160	33,93	159	33,932			33,9	
34,0																			163	34,01	34,0	
34,1					53	34,143									159	34,14	158	34,147			34,1	
34,2									44	34,22			79	34,289					162	34,22	34,2	
34,3			73	34,39											158	34,36	157	34,364			34,3	
34,4																			161	34,43	34,4	
34,5	54	34,578													157	34,58	156	34,585			34,5	
34,6							52	34,646											160	34,65	34,6	
34,7													78	34,728							34,7	
34,8			72	34,87	52	34,8					26	34,83			156	34,80	155	34,808	159	34,87	34,8	
34,9																					34,9	
35,0									43	35,01					155	35,02	154	35,034	158	35,09	35,0	
	1	2	3	4	5	6	7	8	9	10	11	12	13	14	15	16	17	18	19	20		

Höhe der Grabkammer bis zum Gewölbeansatz		Stichhöhe Gewölbe inkl. Bandtiefe		Gesamtlänge Vor- und Grabk. inkl. Trennwand		Vorkammerbreite auf Sockelniveau		Vorkammerlänge auf Sockelniveau		Vorkammerbreite über Sockelniveau		Vorkammerlänge über Sockelniveau		Vorkammerhöhe bis zum Gewölbeansatz		Gesamthöhe der Vork. inkl. Bandtiefe		Fuß
	204,4		167,4		684,1		204,6		339,7		207,8		343,3		248,5		415,9	Fuß
				390	28,07			194	28,02			196	28,02	142	28,00	237	28,08	28,0
116	28,19	95	28,19					193	28,16	118	28,18	195	28,17	141	28,20	236	28,20	28,1
				388	28,21	116	28,22											28,2
				386	28,36			192	28,31			194	28,31			235	28,32	28,3
115	28,44	94	28,49			115	28,47	191	28,46	117	28,42	193	28,46	140	28,40	234	28,44	28,4
				384	28,50											233	28,56	28,5
114	28,69			382	28,65			190	28,61	116	28,66	192	28,61	139	28,60	232	28,68	28,6
						114	28,72	189	28,76			191	28,76					28,7
		93	28,80	380	28,80									138	28,81	231	28,81	28,8
113	28,94			378	28,96	113	28,97	188	28,91	115	28,91	190	28,91			230	28,93	28,9
								187	29,07			189	29,06	137	29,02	229	29,06	29,0
		92	29,11	376	29,11					114	29,16					228	29,19	29,1
112	29,20			374	29,27	112	29,23	186	29,22			188	29,22	136	29,24			29,2
								185	29,38			187	29,37			227	29,31	29,3
111	29,46	91	29,43	372	29,42	111	29,49			113	29,42			135	29,45	226	29,44	29,4
				370	29,58			184	29,54			186	29,53			225	29,58	29,5
										112	29,69	185	29,69	134	29,67			29,6
110	29,73	90	29,76	368	29,74	110	29,76	183	29,70							224	29,71	29,7
								182	29,86			184	29,85	133	29,89	223	29,84	29,8
				366	29,91					111	29,95					222	29,97	29,9
109	30,00	89	30,09	364	30,07	109	30,03	181	30,03			183	30,02					30,0
								180	30,20			182	30,18	132	30,12	221	30,11	30,1
108	30,28			362	30,24					110	30,23					220	30,25	30,2
						108	30,31	179	30,36			181	30,35	131	30,35	219	30,39	30,3
		88	30,44	360	30,40													30,4
107	30,56			358	30,57	107	30,59	178	30,53	109	30,50	180	30,52	130	30,58	218	30,52	30,5
												179	30,69			217	30,67	30,6
		87	30,79	356	30,75			177	30,71	108	30,79							30,7
106	30,85					106	30,88	176	30,88			178	30,86	129	30,82	216	30,81	30,8
				354	30,92											215	30,95	30,9
				352	31,10			175	31,06	107	31,07	177	31,03	128	31,06	214	31,10	31,0
105	31,15	86	31,14			105	31,18											31,1
				350	31,27			174	31,24			176	31,21			213	31,24	31,2
										106	31,37	175	31,39	127	31,31	212	31,39	31,3
104	31,45			348	31,45	104	31,48	173	31,42									31,4
		85	31,51									174	31,57	126	31,56	211	31,54	31,5
				346	31,63			172	31,60	105	31,66					210	31,69	31,6
103	31,75					103	31,78	171	31,78			173	31,75					31,7
		84	31,89	344	31,82									125	31,81	209	31,84	31,8
								170	31,97	104	31,97	172	31,93			208	31,99	31,9
102	32,06			342	32,00	102	32,09							124	32,06			32,0
				340	32,19			169	32,16			171	32,12			207	32,15	32,1
		83	32,27	339	32,29					103	32,28							32,2
101	32,38			338	32,38			168	32,35			170	32,31	123	32,33	206	32,30	32,3
				337	32,48	101	32,41									205	32,46	32,4
				336	32,58			167	32,55	102	32,60	169	32,50	122	32,59			32,5
		82	32,66	335	32,67							168	32,70			204	32,62	32,6
100	32,70			334	32,77	100	32,74	166	32,74							203	32,78	32,7
				333	32,87							167	32,89	121	32,86			32,8
				332	32,97			165	32,94	101	32,92					202	32,94	32,9
99	33,03	81	33,07	331	33,07	99	33,07					166	33,09					33,0
				330	33,17			164	33,14					120	33,13	201	33,11	33,1
				329	33,27					100	33,25	165	33,29			200	33,27	33,2
98	33,37			328	33,37			163	33,34									33,3
		80	33,48	327	33,47	98	33,40					164	33,49	119	33,41	199	33,44	33,4
				326	33,58			162	33,55	99	33,58							33,5
				325	33,68							163	33,70	118	33,69	198	33,61	33,6
97	33,72			324	33,78	97	33,75	161	33,76							197	33,78	33,7
				323	33,89													33,8
		79	33,90	322	33,99			160	33,97	98	33,93	162	33,91	117	33,98	196	33,95	33,9
96	34,07			321	34,10													34,0
						96	34,10	159	34,18			161	34,12			195	34,13	34,1
				320	34,21					97	34,28			116	34,28			34,2
		78	34,34	319	34,31							160	34,33			194	34,30	34,3
95	34,43			318	34,42	95	34,46	158	34,40							193	34,48	34,4
				317	34,53							159	34,55	115	34,57			34,5
				316	34,64			157	34,62	96	34,63					192	34,66	34,6
94	34,79	77	34,78	315	34,75							158	34,76					34,7
				314	34,86	94	34,83	156	34,84					114	34,88	191	34,84	34,8
				313	34,97					95	35,00	157	34,99					34,9
				312	35,08			155	35,07							190	35,02	35,0

Tab. 17: Fußmaße A

Bauteil	Maße		vom Gebäudemodul abgeleiteter Fuß zu 30,1653cm (1M=3'')				aus metrolog. Tabelle ermittelter Fuß zu 30,14cm				Attischer Fuß des Monumentes zu 29,694 cm					
	Naturm. gemittelt	rekonstruiert	Idealmaß	Daktyloi	Fuß (16'')	Fuß (16'')	Idealmaß	Daktyloi	Fuß (16'')	Fuß (16'')	Idealmaß	Daktyloi	Daktyloi	Fuß (16'')	Fuß (16'')	
zugeordneter Wert				1,8853	30,16533	30,16533		1,8838	30,14	30,14		1,85588	1,8559	29,694	29,694	
Sockelgeschloß																
Seitenlänge Euthynteric VK	2983,8		2984,48	1582,64	1583	98,9375	98 15/16	1583,86	1583,97	1584	99	2984,25	1607,76	1608	100,5	100 1/2
Seitenlänge I.Krepisstufe VK	2969,4		2969,4	1575	1575	98,4375	98 7/16	2968,79	1576,32	1576	98,5	2969,4	1600	1600	100	100
Seitenlänge I.Krepisstufe Unterschnittung	2964,2		2963,74	1572,24	1572	98,25	98 1/4	2965,02	1573,56	1574	98,375	2963,83	1597,2	1597	99,8125	99 13/16
Sockelwand an VK Anlaufprofil		2685,8	2686,6	1424,58	1425	89,0625	89 1/16	2686,23	1425,77	1426	89,125	2685,45	1447,19	1447	90,4375	90 7/16
Sockelwand über dem Anlaufprofil		2674,4	2675,29	1418,5	1419	88,6875	88 11/16	2674,93	1419,72	1420	88,75	2674,32	1441,05	1441	90,0625	90 1/16
„Sockelteilmodul“	16,968		16,968	9	9	0,5625	9/16	16,9538	9,01	9	0,5625	16,7029	9,14286	9	0,5625	9/16
Achismaß Triglyphen	113,1		113,12	59,9894	60	3,75	3 3/4	113,025	60,04	60	3,75	113,208	60,9416	61	3,8125	3 13/16
Triglyphenbreite	44,5		45,248	23,6033	24	1,5	1 1/2	45,21	23,62	24	1,5	44,541	23,9779	24	1,5	1 1/2
Metopenbreite	68,65		67,872	36,4127	36	2,25	2 1/4	67,815	36,44	36	2,25	68,6674	36,9906	37	2,3125	2 5/16
Obergeschloß																
Abstand Säulenachse - VK 1. Krepisstufe		297,5	297,883	157,797	158	9,875	9 7/8	297,633	157,93	158	9,875	296,94	160,302	160	10	10
Abstand Säulenachse - Wand (UK Kassettenl.)		297,6	297,883	157,85	158	9,875	9 7/8	297,633	157,98	158	9,875	296,94	160,356	160	10	10
Hofwandseitenlänge außen über Anlaufprofil		1763,8	1764,67	935,537	936	58,5	58 1/2	1763,19	936,32	936	58,5	1763,08	950,387	950	59,375	59 3/8
Hofwandseitenlänge außen VK Anlaufprofil		1772,8	1772,213	940,311	940	58,75	58 3/4	1772,61	941,10	941	58,8125	1772,36	955,237	955	59,6875	59 11/16
Hofwandseitenlänge außen VK verlorener Wandsokkel		1781,6	1781,64	944,979	945	59,0625	59 1/16	1782,03	945,77	946	59,125	1781,64	959,978	960	60	60
Hoflänge W-O		1463,4	1463,02	776,202	776	48,5	48 1/2	1463,67	776,85	777	48,5625	1464,29	788,523	789	49,3125	49 5/16
Hoflänge N-S		1380,4	1380,06	732,178	732	45,75	45 3/4	1380,79	732,79	733	45,8125	1380,77	743,8	744	46,5	46 1/2
Seitenlänge zu Stylobat-VK		2522,9	2522,58	1338,17	1338	83,625	83 5/8	2522,34	1339,30	1339	83,6875	2522,13	1359,41	1359	84,9375	84 15/16
Seitenlänge zu Säulenplinthen-VK		2516,3	2516,92	1334,67	1335	83,4375	83 7/16	2516,69	1335,79	1336	83,5	2516,57	1355,86	1356	84,75	84 3/4
Kolonnenachsabstand (Stylobath.)		2369,75	2369,86	1256,94	1257	78,5625	78 9/16	2369,76	1258,00	1258	78,625	2369,95	1276,89	1277	79,8125	79 13/16
Kolonnenachsabstand (Gebälkh.)		2364,1	2364,21	1253,94	1254	78,375	78 3/8	2364,11	1255,00	1255	78,4375	2364,38	1273,85	1274	79,625	79 5/8
Kolonnenachsabstand (ideal 21x Triglyphenachsmaß)		2375,1	2375,52	1259,78	1260	78,75	78 3/4	2375,41	1260,84	1261	78,8125	2375,52	1279,77	1280	80	80
Standardjoch (Stylobath.)		337,2	337,475	178,854	179	11,1875	11 3/16	337,191	179,00	179	11,1875	337,769	181,693	182	11,375	11 3/8
Mitteljoch (Stylobath.+Gebälkh.)		346,5	346,901	183,787	184	11,5	11 1/2	346,61	183,94	184	11,5	347,049	186,704	187	11,6875	11 11/16
Standardjoch (Gebälkh.)		336,4	335,589	178,43	178	11,125	11 1/8	337,191	178,58	179	11,1875	335,913	181,262	181	11,3125	11 5/16
Ideales Joch d. Seite (3x Triglyphenachsmaß)		339,30	339,36	179,968	180	11,25	11 1/4	339,075	180,12	180	11,25	339,625	182,825	183	11,4375	11 7/16
Unterer Säulendurchmesser	94,1		94,2667	49,9116	50	3,125	3 1/8	94,1875	49,95	50	3,125	94,6496	50,7038	51	3,1875	3 3/16
Unterer Säulendurchmesser am Anlauf	101,5		101,808	53,8366	54	3,375	3 3/8	101,723	53,88	54	3,375	102,073	54,6912	55	3,4375	3 7/16
Interkolumnium Standardjoch		243,1	243,208	128,943	129	8,0625	8 1/16	243,004	129,05	129	8,0625	243,12	130,989	131	8,1875	8 3/16
Interkolumnium Mitteljoch		252,4	252,635	133,876	134	8,375	8 3/8	252,423	133,99	134	8,375	252,399	136,001	136	8,5	8 1/2
Interkolumnium Idealjoch		245,26	245,093	130,088	130	8,125	8 1/8	244,888	130,20	130	8,125	244,976	132,153	132	8,25	8 1/4
Säulenplinthenbreite		146,6	147,056	77,7581	78	4,875	4 7/8	146,933	77,82	78	4,875	146,614	78,9924	79	4,9375	4 15/16
Abstand der Säulenplinthen (Standardj.)		190,6	190,419	101,096	101	6,3125	6 5/16	190,259	101,18	101	6,3125	191,155	102,701	103	6,4375	6 7/16
Abstand der Säulenplinthen (Mittelj.)		199,9	199,845	106,029	106	6,625	6 5/8	199,678	106,12	106	6,625	200,435	107,712	108	6,75	6 3/4
Abstand der Säulenplinthen (Idealj.)		192,70	192,304	102,21	102	6,375	6 3/8	192,143	102,30	102	6,375	193,011	103,832	104	6,5	6 1/2
Achismaß Anthemienfries	56,6		56,56	30,0212	30	1,875	1 7/8	56,5125	30,05	30	1,875	55,6763	30,4977	30	1,875	1 7/8
Hofwandstärke	150,2		150,827	79,6676	80	5	5	150,7	79,73	80	5	150,326	80,9322	81	5,0625	5 1/16

Tab. 17: Fußmaße B

Bauteil	Maße		vom Gebäudemodul abgeleiteter Fuß zu 30,1653 cm (IM=3'')					aus metrolog. Tabelle ermittelter Fuß zu 30,14 cm					Artischer Fuß des Monumentes zu 29,694 cm					
	Naturn. gemittelt	rekonstruiert	Idealmaß	Daktyloi	Fuß (16'')	Fuß (16'')	Idealmaß	Daktyloi	Fuß (16'')	Fuß (16'')	Idealmaß	Daktyloi	Fuß (16'')	Fuß (16'')	Idealmaß	Daktyloi	Fuß (16'')	Fuß (16'')
zugeordneter Wert				1,8853	30,16533	30,16533		1,8838	30,14	30,14		1,8559	29,694	29,694		1,8559	29,694	29,694
Höhenmaße																		
Krepis Sockelgeschob	116,7		116,891	62	3,875	3 7/8	116,793	61,95	62	3,875	3 7/8	116,92	63	3,9375	63	3,9375	3 15/16	3 15/16
Wandflächen	681,1		680,605	361	22,5625	22 9/16	681,918	361,57	362	22,625	22 5/8	681,1061	367	22,9375	367	22,9375	22 15/16	22 15/16
dorisches Gebälk	156,9		156,483	83	5,1875	5 3/16	156,351	83,29	83	5,1875	5 3/16	157,749	85	5,3125	85	5,3125	5 5/16	5 5/16
Sockelgeschobhöhe (Einzelmaßsumme)	954,7		953,979	506	31,625	31 5/8	955,061	506,81	507	31,6875	31 11/16	953,92	514	32,125	514	32,125	32 1/8	32 1/8
Sockelgeschobhöhe (über <i>in situ</i> -Bestand)	956		955,864	507	31,6875	31 11/16	955,061	507,50	507	31,6875	31 11/16	955,776	515	32,1875	515	32,1875	32 3/16	32 3/16
Sockelgeschobhöhe (über <i>in situ</i> -Bestand) inkl. Euthynt.	983		982,259	521	32,5625	32 9/16	983,318	521,83	522	32,625	32 5/8	983,614	530	33,125	530	33,125	33 1/8	33 1/8
Stufenunterbau Obergeschob	112,6		113,12	60	3,75	3 3/4	113,025	59,77	60	3,75	3 3/4	113,208	61	3,8125	61	3,8125	3 13/16	3 13/16
Säulenbasis	62,3		62,216	33	2,0625	2 1/16	62,1638	33,07	33	2,0625	2 1/16	63,0998	34	2,125	34	2,125	2 1/8	2 1/8
Säulenschaft	751,6	751,6	750,363	398	24,875	24 7/8	751,616	398,99	399	24,9375	24 15/16	751,629	405	25,3125	405	25,3125	25 5/16	25 5/16
Säulenkapitell	111,7		111,235	59	3,6875	3 11/16	111,141	59,30	59	3,6875	3 11/16	111,353	60	3,75	60	3,75	3 3/4	3 3/4
Säulenhöhe	925,6	925,6	925,699	491	30,6875	30 11/16	924,921	491,36	491	30,6875	30 11/16	927,938	500	31,25	500	31,25	31 1/4	31 1/4
Korinthisches Gebälk	169,3		169,68	90	5,625	5 5/8	169,538	89,87	90	5,625	5 5/8	168,885	91	5,6875	91	5,6875	5 11/16	5 11/16
Dachskulptursockel	35,5		35,8213	19	1,1875	1 3/16	35,7913	18,85	19	1,1875	1 3/16	35,2616	19	1,1875	19	1,1875	1 3/16	1 3/16
Gesamthöhe OG (bis OK Gesims)	1207,4		1206,61	640	40	40	1207,48	640,96	641	40,0625	40 1/16	1208,17	651	40,6875	651	40,6875	40 11/16	40 11/16
Gesamthöhe OG (bis OK Dachsk. sockel)	1242,9		1242,43	659	41,1875	41 3/16	1243,28	659,80	660	41,25	41 1/4	1243,44	670	41,875	670	41,875	41 7/8	41 7/8
Gesamthöhe Gebäude bis OK Dachsk. sockel	2199,4		2200,18	1167	72,9375	72 15/16	2200,22	1167,56	1168	73	73	2199,21	1185	74,0625	1185	74,0625	74 1/16	74 1/16
Gesamthöhe Gebäude bis OK Gesims	2163,9		2164,36	1148	71,75	71 3/4	2164,43	1148,72	1149	71,8125	71 13/16	2163,95	1166	72,875	1166	72,875	72 7/8	72 7/8
Gesamth. Geb. bis OK Dachsk. sockel inkl. Euthynt.	2226,4		2226,58	1181	73,8125	73 13/16	2226,59	1181,90	1182	73,875	73 7/8	2227,05	1200	75	1200	75	75	75
Grabkammer																		
Breite der Grabkammer	342,4		341,245	181	11,3125	11 5/16	342,843	181,77	182	11,375	11 3/8	341,481	184	11,5	184	11,5	11 1/2	11 1/2
Länge der Grabkammer	425,4		424,2	225	14,0625	14 1/16	425,728	225,83	226	14,125	14 1/8	424,995	229	14,3125	229	14,3125	14 5/16	14 5/16
Länge des Grabkammergewölbes	414,8		414,773	220	13,75	13 3/4	414,425	220,20	220	13,75	13 3/4	415,716	224	14	224	14	14	14
Quaderachsmaß der Gewölbefelder gemittelt	102,6		101,808	54	3,375	3 3/8	101,723	54,47	54	3,375	3 3/8	102,073	55	3,4375	55	3,4375	3 7/16	3 7/16
Quaderachsmaß der Gewölbefelder (Mittelfelder)	102		101,808	54	3,375	3 3/8	101,723	54,15	54	3,375	3 3/8	102,073	55	3,4375	55	3,4375	3 7/16	3 7/16
Höhe der Grabkammer bis zum Gewölbeansatz	204,4		203,616	108	6,75	6 3/4	205,3289	108,51	109	6,8125	6 13/16	204,146	110	6,875	110	6,875	6 7/8	6 7/8
Stichhöhe Gewölbe inkl. Bandtiefe	167,4		167,795	89	5,5625	5 9/16	167,654	88,87	89	5,5625	5 9/16	167,029	90	5,625	90	5,625	5 5/8	5 5/8
Gesamthöhe der Grabk. inkl. Bandtiefe	371,8		371,411	197	12,3125	12 5/16	371,099	197,37	197	12,3125	12 5/16	371,175	200	12,5	200	12,5	12 1/2	12 1/2
Gesamtlänge Vor- und Grabk. inkl. Bandtiefe	684,1		684,376	363	22,6875	22 11/16	683,801	363,16	363	22,6875	22 11/16	684,818	369	23,0625	369	23,0625	23 1/16	23 1/16
Vorkammerbreite auf Sockelniveau	204,6		203,616	108	6,75	6 3/4	205,329	108,61	109	6,8125	6 13/16	204,146	110	6,875	110	6,875	6 7/8	6 7/8
Vorkammerlänge auf Sockelniveau	339,7		339,36	180	11,25	11 1/4	339,075	180,33	180	11,25	11 1/4	339,625	183	11,4375	183	11,4375	11 7/16	11 7/16
Vorkammerbreite über Sockelniveau	207,8		207,387	110	6,875	6 7/8	207,213	110,31	110	6,875	6 7/8	207,858	112	7	112	7	7	7
Vorkammerlänge über Sockelniveau	343,3		343,131	182	11,375	11 3/8	342,843	182,24	182	11,375	11 3/8	343,337	185	11,5625	185	11,5625	11 9/16	11 9/16
Vorkammerhöhe bis zum Gewölbeansatz	248,5		248,864	132	8,25	8 1/4	248,655	131,92	132	8,25	8 1/4	248,687	134	8,375	134	8,375	8 3/8	8 3/8
Gesamthöhe der Vork. inkl. Bandtiefe	415,9		414,773	220	13,75	13 3/4	416,309	220,78	221	13,8125	13 13/16	415,716	224	14	224	14	14	14

